

МИНИСТЕРСТВО ГЕОЛОГИИ СССР

МИНИСТЕРСТВО ГЕОЛОГИИ РСФСР

ДАЛЬНЕВОСТОЧНОЕ ПРОИЗВОДСТВЕННОЕ  
ГЕОЛОГИЧЕСКОЕ ОБЪЕДИНЕНИЕ

Уч. № 0114

ГОСУДАРСТВЕННАЯ  
ГЕОЛОГИЧЕСКАЯ  
КАРТА СССР

МАСШТАБА 1:200 000

СЕРИЯ УДСКАЯ

Лист №-53-XXI

Объяснительная записка

Составители: Д.С.Зайцев, Ю.А.Мамонтов  
Редактор В.И.Сухов

Утверждено Научно-редакционным советом ВСЕГЕИ  
7 декабря 1972 г., протокол № 28

## СОДЕРЖАНИЕ

Стр.

Введение . . . . .	5
Теологическая изученность . . . . .	7
Стратиграфия . . . . .	10
Интузивные образования . . . . .	43
Тектоника . . . . .	55
Геоморфология . . . . .	65
Полезные ископаемые . . . . .	68
Позднемиевые воды . . . . .	81
Оценка перспектив района . . . . .	82
Литература . . . . .	87
Приложения . . . . .	92

## ВВЕДЕНИЕ

По административному делению территории листа №-53-ХХI относится к Тутуро-Чумканскому району Хабаровского края, Селемджинскому району Амурской области и ограничена координатами  $53^{\circ}20' - 54^{\circ}00'$ , с.ш. и  $134^{\circ}00' - 135^{\circ}00'$ , в.д. от Гринвича.

Описываемая территория находится на стыке хребтов Джаги (Селемджинский), Ян-Альинь, Тильский и Боко, образующих крупный горный узел в ее центральной части. Хребет Джаги, разделяющий реки Селемджинского и Ульного бассейнов, вытянут в северо-восточном направлении. На юго-западе хребет и его отроги представляют собой сильно расщепленное среднегорье с абсолютными отметками 1300-1500 м и относительными превыышениями 250-500 м. В направлении к северо-востоку рельеф хребта становится тольцом высогорным со следами древнего горно-долинного оледенения (карры, морены, торовые долины). Абсолютные отметки вершин здесь равны 1700-2180 м. Хребет Тильский является естественным продолжением на северо-восток хр.Джаги. Рельеф хребта высокогорный резко расщепленный, альпиногорный. Он имеет скалистый, часто пилообразный профиль, склоны испещрены многочисленными каррами (цирками) с отвесными стенками. Абсолютные высоты колеблются от 1900 до 2384 м, относительные превышения составляют 500-1000 м. Хребет Боко, сложий водоразделом рек Мункан и Тором, несет своим очертаниям хр.Гальский. Для него также характерны узкие скалистые гребни, изъединные карманы, ниже которых начинаются "лиши" осиных каменных глыб. Абсолютные высоты хребта лежат 1750-2200 м, относительные превышения колеблются от 350 до 700 м. Хребет Ян-Альинь начиняется от истоков р.Саги и прослеживается в северо-восточном направлении до верховьев р.Корзинка. Он характеризуется стесненным очертанием водораздельного гребня и значительным количеством глубоких седловин, разделяющих

хребет на ряд обособленных горных массивов. Вершины гор конусо-видные и гребенчатые, реки куполовидные и столовообразные. Абсо-лютные отметки их 1500–1900 м, относительные превышения 200–500 м. В северо-западной и южной частях территории листа развит средногорный расщепленный кругосклонный рельеф с абсолютными вы- сотами 900–1400 м и относительными превышениями 200–500 м.

Основными водными артериями являются реки Селиткан, Тонум, Наны, Тором и Мунакан. Это глинистые горные реки с частыми перекатами, притяжими и стремительным течением (до 2,5–3 м/сек). В верховых все реки имеют троговые, иногда каньонообразные доли-ны. Ширина русел рек 30–70 м, в верховых – 5–10 м. Глубина рек колеблется и зависит от количества выпадающих атмосферных осад-ков от 0,2–0,3 до 3–5 м.

Район относится к территории с муссонным климатом умерен-них широт. Зима здесь сурова и продолжительна, лето короткое, умеренно теплое и дождливое. Максимальная температура достигает +39°С, минимальная – 57°С. Среднегодовая температура составляет –8,2°С. Продолжительность зимы 6–6,5 месяцев. В высокогорной час-ти территории снежный покров образуется в сентябре, в октябре на реках происходит ледостав. Вскрываются реки в начале мая. В ма-не – августе выпадает более половины среднегодового количества осадков.

Растительность района относится к Охотской флористической провинции и представлена лиственницей, елью, пихтой и зародышем бересклета, в высокогорье – можжевельниками. В райо-не обитают медведь, лось, слань, лосяца, рысь, барсук, соболь, горностай и заяц. Ближайший населенный пункт – пос. Экимчан (адми-нистративный центр Селемджинского района) – находится в 70–75 км от западной границы листа.

В северо-западной части, где развит средногорный рельеф, хорошо обнажены врезанные участки долин рек Тонум, Эльга и их более крупных притоков. В пределах высокогорья часто встречаются сплошные скальные гребни, окаймленные широкими, но часто они недоступны для наблюдения. Хорошо обнажены в высокогорье также верховья рек, южных каньонообразные долины. Хуже обнажен-ность в бассейне р. Селиткан, где коренные выходы встречаются только в приливах по крутым рекам и в верховых рек и ручьев. Преобладающая часть склонов и водоразделов покрыта элювально-ледниковыми осадками.

## ГЕОЛОГИЧЕСКАЯ ИЗУЧЕННОСТЬ

Общие сведения о геологическом строении территории бассей-на р. Уда имеются в трудах А.Ф.Мицендорфа (1861), Н.Г.Метлицко-го (1893) и К.И.Богдановича (1905). В дальнейшем изучение сопре-дельных с территорией листа II–53–ХI районов связано с разви-тием в Удско-Селемджинском междууречье золотодобывающей промыш-ленности. Непосредственно рассматриваемая территория не посещалась геологами до конца 40-х годов.

Первые обобщения по стратиграфии,магматизму и полезным ископаемым части территории листа произвели после геологической съемки масштаба 1:1 000 000 в 1949 г. Л.И.Красный /22/ и В.А.Яр-молов /43/. Авторы составили стратиграфические схемы палеозой-ских и мезозойских отложений, установили перспективность сре-диозойских отложений на железо, марганец и фосфориты. Кроме того, В.А.Ярмолов рекомендовал для поиска месторождений моли-дена Тонум-Торомским участок, который в последствии получил от-рицательную оценку /12/.

В 1953 г. А.Ф.Майборода /23/ проинвел геологическую съем-ку масштаба 1:200 000<sup>1</sup> в юго-восточной части территории листа, а В.Ф.Козора /21/ в 1954 г. – в юго-западной. Принципиально но-вых данных по стратиграфии,магматизму и металлогению района или не получено.

В 1961 г. И.И.Сей /29/ для бассейнов рек Эльга и Ир, не-посредственно на территории листа составила структурные разре-зы и предложила стратиграфическую схему верхнеборских и нижне-ловых отложений.

В 1958–1960 гг. район был покрыт аэромагнитной съемкой масштаба 1:200 000 /34/, а в 1962–1963 гг., в связи с поисками железных руд, масштаба 1:50 000 /15/.

С начала 60-х годов в бассейне р. Уда велись планомерное геологическое картирование масштаба 1:200 000 геологами ДВГУ и 2-го ГГУ /2,18,33/. В загоночно-литых образованиях Удско-Селемджинского междууречья были найдены многочисленные остатки археосмат, указывающие на никонеобиргийский возраст этих отложе-

<sup>1</sup>/ По решению НГС ДВГУ составленная карта принята соот-ветствующей масштабу 1:500 000.

ни, а также обнаружены многочисленные проявления железа-марганица и фосфоритов, которые послужили основанием для развертывания в Ульско-Селемджинском месторечье крупномасштабной геологической съемки, поисковых и тематических работ. При геологической съемке масштаба 1:50 000 /32, 40, 41, 42/ были уточнены и значительно сужены площасти распространения нижнекембрийских образований, выделены первые, средне- и верхнегранитные отложения, охарактеризованные палеонтологическими остатками.

В 1967-1969 гг. на снимках с востока листа №-53-ХII была проведена геологическая съемка масштаба 1:200 000 С.И.Гороховым и В.Б.Каруловым /18/, которая для среднепалеозойских отложений Западного Приобья разработана относительно детальная стратиграфическая схема.

В 1967-1970 гг. дальневосточное территориальное геологическое управление проводило на территории листа №-53-ХII комплексную геологическую съемку масштаба 1:200 000 и редакционно-вязочные маршруты в юго-западной его части. Полученные материалы /19, 20, 25, 26/ легли в основу составленных карт и настоящей объяснительной записки к ним. Учтены также результаты геофизических исследований и дешифрования аэрофотоснимков масштабов 1:25 000, геологических съемок масштаба 1:200 000 и 1:50 000, проведенных на определенных территориях /18, 22, 24, 32, 40, 41/ и непосредственно на площасти листа /21, 23, 29/.

Дешифроваемость района в целом плохая, в отдельных случаях удовлетворительная и даже хорошая. По результатам дешифрования аэрофотоснимков установлены в общих чертах площасти разрывов, палеозойских и верхнерусско-нижнемеловых отложений, оконтурины некоторые интрузивные массивы, площасти распространения вулканических образований, а среди последних - субвуликанические лигатуры; в верхнерусских отложениях выделены горизонты светлоохвашенных песчаников, что позволило установить внутреннюю структуру и с большей достоверностью провести границы отдельных толщ; точно установлена граница между верхнерусскими и нижнемеловыми отложениями. Отделившиеся четвертичные аллювиальные и ледниковые образования и разрывные нарушения.

По значениям напряженности магнитного поля территории листа разделяется на две части: северо-западную и юго-восточную. В северо-западной части площасти разности палеозойских образований свойственно спокойное магнитное поле, на фоне которого выделяются линейные, реже изометрические аномалии северо-восточного направления различной протяженности и интенсивности. Большинство из них связано с железорудными проявлениями. На юго-востоке, в



Рис.1. Карта аномального магнитного поля  
(изолинии  $\Delta T$ ). Масштаб 1:500 000

Изолинии  $\Delta T$ , в м: 1 - положительные, 2 - отрицательные; 3 - нулевые, 4 - точки экстремумов  $\Delta T$  и их значения, м $\text{Э}$

пределах Торомского прогиба, наблюдалось значительное, резко дифференцированное магнитное поле, обусловленное изменениями состава и строения магматических образований (рис. I).

Геологическая карта листа № 53-ХII составлена с учетом

данных крупномасштабных съемок и не увязывается с картами сме-  
щенных с запада и севера листов, подготовленными к изданию ранее. До

восточной границе территории листа, при совпадении геологических

транзитов, имеются расхождения в трактовке возраста отдельных геоло-

гических единиц, имеющиеся на территории листа № 53-ХII киммерийско-ни-  
жнекембрийские, по нашему мнению, отложения относены к верхнейрскому

некомплексу, хотя остатки исключаемой фауны, собранные в этих об-  
разованиях, приведены в работе И.И. Бондарчуком.

Анализические работы, результаты которых приведены в за-  
писке, выполнены в Центральной лаборатории Комплексно-геоматиче-

ской экспедиции ДГТУ: химические – Г.Г. Павлюченко, спектрально-  
спектральные – И.Б. Мамонтовой и Л.Л. Казачихи-

и А.И. Перминой, палинологические – И.Б. Мамонтовой и Л.Л. Казачихи-  
ной, определение абсолютного возраста пород – Т.К. Новельчук.

Фауна из отложений верхней и нижней юры и нижнего мела определена  
Е.П. Бруницикой и Л.Д. Третьяковой, меловая фауна – М.М. Колман,  
фауна из отложений нижнего камбрия – Г.В. Балаковой, фауна –  
В.Н. Виггаловым.

## СТРАТИГРАФИЯ

Стратиграфические обозначения территории листа № 53-ХII  
представлены вулканогенно-кремнистыми породами нижнего камбрия  
и существенно терригеними толщами нижнего, нижнего – среднего,  
среднего и среднего – верхнего девона, песчано-алевролитовыми  
отложениями пермской и нижней юры, верхнерскими и нижнекембрийскими  
осадочными и позднекембрийскими вулканогенными образованиями, чет-  
вертичными элювиально-делювиальными, аллювиальными и леднико-  
вым отложениями.

## ПАЛЕОЗОЙ

### КИМРИЙСКАЯ СИСТЕМА

#### Нижний отрез

Ульяновская свита ( $\sigma_1$ ,  $\sigma_2$ ) широкая (5–  
10 км) полосой прослеживается от нижнего течения р. Токум до

р. Ир., уходя на северо-востоке и юго-западе за пределы территории  
листя. В бассейне р. Лагал, отложения ее выходят в узком (1–3 км)

тектоническом блоке, протягивающемся на 24 км от р. Лев. Иликан  
до р. Лев. Маган. С окружавшим более молодыми угленес-  
шими свитами имеет тектонические контакты и лишь в верховье р. Ир  
перекрывается верхнерскими отложениями. Основной фон разреза

свиты (80–90% ее объема) составляют различно окраинные ямы,  
кремнисто-глинистые сланцы, лабазы, масивовые порфириты и их  
туфы. Среди них в виде линз, прослоев и пластов залегают песча-  
нико-алевролиты, известняки, микрокварциты, седиментационные

брекчи, жалезные, марганцевые руды и фосфориты. Благодаря раз-  
нообразному составу, наличию в разрезе органогенных известняков  
и фосфоритов, ультрамаревская свита резко отличается от однотипных  
толщ. Разрез ее на всю видимую мощность составлен по рекам Токум  
и Эльга, где в коренных выходах и горных выработках наблюдаются:

1. Лабазы, масивовые порфириты с прослоями	
2. Ямы зеленого-серые и серые с прослоями	130 м
3. Кремнисто-глинистые сланцы, алевролиты и линзы (15 м)	
4. Туфы масивовых порфиритов с обломками (0,1– 0,15 м) ямы известняков . . . . .	285 *
5. Пересыпь из мелкозернистых песчаников и алевролиты . . . . .	85 *
6. Ямы желто-красные . . . . .	180 *
7. Переход в наследники . . . . .	250 *
	200 *

8. Сланцы кремнисто-глинистые вишнево-красные с прослойками диабазовых порфиритов и яшм <sup>x</sup>	200 м
9. Яшмы темные, вишнево-красные с прослойками (0,1-2 м) и пластами (до 12 м) кремнисто-глинистых сланцев, туфов диабазов и мелковернистых песчаников	290 "
10. Туфы диабазов с обломками яшм и известняков	70 "
II. Переслаивающиеся тонкие яшмы и диабазовые порфириты	60 "
12. Диабазовые порфириты и их туфы с редкими пластами (до 10 м) малковзернистых песчаников и темных яшм	130 "
13. Яшмы зеленовато-серые с прослойками кремнисто-глинистых сланцев	30 "
Рядиман мощность разреза 1900 м.	
Подобный состав и строение свиты сохраняет на площади распространения всей юго-восточной полосы от р.Тонум до р.Ир, хотя мощность пластов, характер переслаивания, полнота литологического набора пород и другие детали разреза часто фациально меняются. Так, на отдельных участках в бассейнах рек Галам-Макит, Эльга, Тонум-Макит и в северо-западной полосе свита сложена в основном яшмами и кремнисто-глинистыми сланцами. Наиболее характерный кремнистый разрез свиты описан в северо-западной полосе по р.Лаги, где в коренных выходах обнаружены:	
1. Яшмы зеленовато-серые, темно-серые с прослойками (0,01-0,4 м) зеленовато-серых кремнисто-глинистых сланцев	350 м
2. Яшмы преимущественно красноватые с прослойками (0,1-0,4 м) вишнево-красных кремнисто-глинистых сланцев	430 "
3. Яшмы серые с прослойками кремнисто-глинистых сланцев	200 "
4. Переслаивающиеся (через 10-20 м) сероватые яшмы и кремнисто-глинистые сланцы, содержащие прослойки диабазов и гематит-магнетитовых руд	450 "
5. Яшмы зеленовато-серые и темно-серые с прослойками (0,01-0,1 м) кремнисто-глинистых сланцев	320 "
6. Диабазы, диабазовые порфириты и их туфы	160 "
Мощность разреза 1910 м.	

<sup>x</sup>/ К западу и востоку от разреза к этой пачке приложены пластины линзы железных руд.

Гематит-магнетитовые руды, встречающиеся по разрезу, образуют залежи мощностью 10-46 м и протяженностью до 1,5 км. Они концентрируются в рудном горизонте, прослеживающемся в юго-западном направлении от р.Лаги более чем на 14 км при мощности 200-300 м. В разрезе свиты юго-восточной полосы многочисленные железорудные пластины приурочены к мощной (более 200 м) пачке красноватых кремнисто-глинистых сланцев и яшм, залегающих в основании верхней части свиты. Мощность их колеблется от 1 до 8 м, протяженность 0,5-0,8 км, редко (р.Верх.Лаги) 1-2 км. По всему разрезу свиты с красноватыми, часто окварцизованными, линзами ассоциируют редкорозитовые и редкорозит-родонитовые руды, образующие, видимо, маломощные быстро выклинивающиеся тела. Основные эфузивы присутствуют обычно по всему разрезу юго-восточной полосы, но в наибольшем количестве (35-40% разреза) присущи верхней его части. Известники встречаются нередко только в нижней части свиты в виде изометрических гал размером до 0,5-1,5 м<sup>3</sup> или протяженных (200-300 м) линз мощностью от 1 до 40 м. Располагаются они в одной полосе и на одном стратиграфическом уровне с Ир-Нилийским /41/ и Галамским /32/ рифтогенным сооружением типа блоктеров и блокстров. Возможно, часть их имеет также рифтогенную природу. С известниками и микрокварцитами обычно ассоциируют фосфориты, приуроченные чаще всего к верхней части свиты. Мощность пласта по р.Верх.Лаги достигает 90 м, а по руч.Трекеemu ширина выхода фосфоритов на ливну поверхности составляет 40 м. Протяженность пластов колеблется от 100-150 м до 2-4 км /42/. В бассейне руч.Горелого /38/ микрокварциты с телами фосфоритов слагают в средней части свиты три сближенных до 200-300 м горизонта мощностью от 50 до 200 м и протяженностью до 9 км.

Значительная часть микрокварцитов, вмещающих фосфориты, образовалась в результате метасоматического замещения карбоната известняков кремнеземом. Об этом свидетельствуют наблюдаемые в микрокварцитах реликты карбонатных пород, взаимопереходы от олигоокварцизованных известняков до микрокварцитов.

Мощность ультрадонской свиты не менее 2000 м.

В известниках по р.Эльга, в верхней части свиты обнаружены археоптилы плохой сохранности, определенные Г.В.Белиевой как *Ajasciuthina*, что позволяет возраст указанных отложений считать раннекембрийским. В.И.Вятковым в этих известниках определены *Vetricularites concretus* Z.Zhur., *Vermiculites irregularis* Beltt., *Nubecularites parvus* Z. Zhur. Микропролабматика из

басейна р. Ир-Макат, ручьев Третьего и Горелого представлена (определения П.Г.Поспелова) *Ambigolamellatus* sp., *Osagia punctata* Posp., O. cf. *lotburydioriformis* Kraen., O. cf. *conctata* Korol., *Botominella* ? sp., *Volvattella* sp., *Nubesularites* sp., *Stromatactus* sp. По мнению В.И.Бычалова и П.Г.Поспелова, слои с указанными остатками можно отнести к концу - нижнему кембрию Археодианы, найденные в средней части свиты на сопредельной к западу территории /З/, характерны, по заключению Г.В.Бельевой для верхней части ленокого яруса.

ДЕВОНСКАЯ СИСТЕМА

На территории листа девонские отложения развиты в двух структурно-фаунистических зонах: Улько-Шантарской, в которой представлены все отчеты системы, и Тутурской, где развиты средний и верхний отделья. В стратиграфической колонке геологической карты показан разрез Улько-Шантарской зоны как наиболее полный; разрез Тутурской зоны приведен в тексте объяснительной записки (рис.2).

## **Ульяновско-Щигурская структурно-фашистская зона Нижний отдел**

Сре́дня́я то́лща ( $D_1$ ) обнаруживается южной (4 км), ограниченной разломами, полосой, прослеживающейся в северо-восточном направлении от верховьев р. Лев. Ильин до истоков р. Кракилак. Сложен она серыми и темно-серыми мелкозернистыми песчаниками с прослоями и линзами алевролитов, глинистых, кремнисто-глинистых сланцев, лим., известняков порфиритов, известняков и микрокварцитов.

выходах и горных выработках обнаружатся:

песчаниковые с прослойками (6 м) алевролитов . . . . .	40 м
2. Алевролиты темно-серые и зеленовато-серые с пачкой (30 м) серых песчаников в средней части . . . . .	90 "

Рис.2. Стратиграфическая колонка девонских отложений Тугурской структурно-фациальной зоны

Д Е В О Н С К А Я			СИСТЕМА
СРЕДНИЙ	ВЕРХНИЙ	ОТДЕЛ	
$D_2 \text{ mm}$	$D_3 \text{ kg}$	$D_4 \text{ кг}$	ИНДЕКС
2500 - 2700	1500	3000	МОЩНОСТЬ в м
Святая Мария Виуренская. Глебовники, алеба- ры с прослойками глины и хим., дискалов, иж- тиров, зразевитов, известняков и глинистых брекчий.	Лихагорьинская свита. Песчаники, тuffовые, с прослоями кремнистых пород, флюидов, кон- денсаторов, сферулитов, шашечников	Кореневская свита. Алеба- ры, песчаники с прослоями кремнистых пород, флюидов, кон- денсаторов, сферулитов, шашечников	

Х. В качестве средней она принята на основе сопоставления с томом, выделенным С.И.Гороховым на листе №-53-XVI.

3. Песчаники темно-серые и зеленовато-серые полимиктовые с пачкой (12 м) алевролитов . . . . .	80 м
4. Алевролиты темно-серые с двумя пластами (7 и 10 м) темно-серых песчаников . . . . .	70 *
5. Яймы зеленые, голубовато-зеленые, серые . . . . .	40 *
6. Песчаники темно-серые полимиктовые с прослойками алевролитов и глинистых сланцев . . . . .	290 *
7. Яймы зеленые и темно-серые с прослойями песчаников (10 м) и кремнисто-глинистых сланцев . . . . .	40 *
8. Песчаники темно-серые мелкозернистые с прослойками (10 м) темно-серых алевролитов в верхней части . . . . .	50 *
Разрез верхней части толщи, составленный по горным выработкам в междууречье Лагап - Кракмак имеет следующее строение /42/:	
1. Переслаивающиеся (через 0,01-0,5 м) серые песчаники, алевролиты, глинистые и кремнистые сланцы . . . . .	20 м
2. Песчаники зеленовато-серые известковистые с прослойями алевролитов и глинистых сланцев, содержащих обуглившиеся растительные остатки . . . . .	150 *
3. Диабазовые породы темно-серые . . . . .	20 *
4. Песчаники зеленовато-серые с прослойями глинистых и кремнисто-глинистых сланцев, алевролитов, в средней части - с горизонтом яиц . . . . .	210 *
Общая мощность южной части разреза толщи 1100 м.	
По простиранию состав толщи выдержан. Характерные для толщи темно-серые песчаники повсюду составляют 65-75% ее объема. Маломощные прослои (5-10 м) и линзы известняков и микрокварцитов, имеющие слабо фосфатогенные, встречаются в нижней части толщи по р.Лев.Илкан /42/.	
В отложениях толщи Ю.И.Шербиною /42/ обнаружены растительные остатки плохой сохранности, определение Н.М.Петросян как тонкие стебли типа <i>Hastimella</i> и <i>Arytiopteras</i> и отпечаток, называемый колосок <i>Buccheria</i> sp., которые встречаются в нижнем девоне и низах среднего девона. К северо-востоку, в бассейне р.Неми, в отложениях, соответствующих рассматриваемой толще, Н.М.Петросян определены <i>Diploporus</i> cf. <i>spiniformis</i> Goerpp., <i>Bogazergia</i> sp. - формы, характерные для южного яруса /41/.	
Верхняя толща ( $D_1^3$ ) прослеживается узкой полосой (1,5-2,5 км) от р.Кракмак до р.Лев.Илкан, уходя за пределы территории листа. С подстилающей толщей (средней) песчани-	

ков она имеет тектонический контакт и согласно (?) перекрывается толщей зеленых песчаников нижнего-среднего девона. Сложена толща сероцветными, реже красными яймами, кремнисто-глинистыми сланцами с прослойями песчаников, глинистых сланцев, единичными линзами диабазов и железных руд.

В междууречье Кракмак - Лагап разрез ее следующий /42/:

I. Кремнисто-глинистые сланцы выше-красные с прослойями (1-2 м) песчаников и яиц . . . . .	150 м
2. Яймы зеленовато-серые массивные . . . . .	20 *
3. Кремнисто-глинистые сланцы с пачками (до 10 м) тонкого переслаивания песчаников, глинистых сланцев и яиц . . . . .	250 *
4. Яймы красные и кремнисто-глинистые сланцы с единичными пачками (до 10 м) переслаивания песчаников и глинистых сланцев . . . . .	280 *

Мощность разреза 700 м.  
Фациальные изменения толщи выражены в замещении яиц кремнисто-глинистыми сланцами, а в междууречье Лагап - Лев.Илкан - в увеличении количества территориальных пород. Редко встречаются линзы диабазов. На правобережье р.Лагап и по р.Верх.Илкан среди яиц установлены белые тематитовые руды и горизонты омарганицловых яиц. Маломощная слабо фосфатоносная линза седimentационных фрагментов залегает среди кремнисто-глинистых сланцев на левобережье р.Кракмак /42/. Общая мощность толщи 800 м.

Органических остатков в отложениях толщи не найдено. Северо-восточнее, в бассейне р.Ир. Г.В.Рогановым /28/ в отложениях, составленных с описываемыми, собрана испепеленная фура кеминского и кобленецкого ярусов.

#### Нижний - средний отдел

Толща зеленых, зеленовато-серых глинистых сланцев сечения ( $D_1^1-2$ ), распространенная в северо-западной части площади листа, залегает согласно (?) на кремнистой (верхней) толще нижнего девона. Следовательно она почти всюду зелеными, зеленовато-серыми, реже серыми мелкозернистыми песчаниками с редкими прослойками и линзами (1-5 м) алевролитов кремнисто-глинистых сланцев и яиц. Лишь на правобережье р.Кракмак среди песчаников установлены сравнительно мощные (20-50 м) пласти сероцветных яиц и выше них кремнисто-

глинистых сланцев, тяготеющих, видимо, к нижам разреза. Кроме того, в ряде мест встречаются седиментационные брекчи, привнесенные грубоэзернистые песчаники, образующие, по-видимому, линзы и сви-детельствующие о локальных размывах внутри толщи. Мощность толщи оценивается в 500–700 м. Органических остатков в породах толщи не обнаружено. К востоку от рассматриваемой территории /32/ и в бассейне р. Нами сходная толща терригенных пород содержит отпечатки растений нижнего и среднего девона /41/.

#### Средний отрезок

**Нижняя толща ( $D_2^1$ )** обнажается в тектоническом блоке у западной границы площади листа, на правобережье р.Иронтца. Сложенна она в основном седиментационными брекчиями, алевролитами и песчаниками с редкими прослойками яшмы. Наиболее полный разрез толщи, составленный Д.Ф.Доминым /32/, по горным выработкам и коренным выходам по р.Галам, в 2,5 км к западу от границы территории листа, следующий:

1. Алевролиты с включениями обломков яшмы и песчаников . . . . .	40 м
2. Седиментационные брекции песчанчатые и глиноватые . . . . .	95 "
3. Песчаники мелкоэзернистые с прослойками алевролитов . . . . .	60 "
4. Седиментационные брекции песчанчатые . . . . .	90 "
5. Алевролиты темно-серые с пачкой (20 м) яшмы и кремнисто-глинистых сланцев в средней части и яшмой (20 м) в верхах . . . . .	100 "
6. Алевролиты серые с пачкой переклаивания (через 5–10 см) мелкоэзернистых песчаников и алевролитов . . . . .	90 "
7. Седиментационные брекции глиноватые . . . . .	40 "
8. Алевролиты темно-серые с обломками яшмы и песчаников . . . . .	275 "
9. Седиментационные брекции с пачкой (40 м) серых яшм в верхней части . . . . .	160 "
10. Алевролиты темно-серые с обломками яшмы . . . . .	60 "
11. Яшмы серые с прослоями (до 0,1 м) алевролитов . . . . .	40 "
12. Алевролиты темно-серые массивные . . . . .	50 "

Мощность разреза 1100 м.

Свообразными и наиболее распространенными (до 60% разреза) породами толщи являются алевролиты с обломками пород и седиментационные брекчики. Они содержат несортированные, в основном крупные (1–3 м), обломки одних и тех же подстилающих пород (яш-

мы, песчаники, известняки, кремнисто-глинистые сланцы, алевролиты, диабазы), характеризуя повышенной фосфатоносностью (0,73–1,67% Р2О5) и являются, видимо, облачно-оползневыми образованиями прибрежных зон.

Органические остатки в толще не обнаружены. Она согласно перекрывается отложениями с фауной среднего девона и является базальной для залегающих выше средне- и верхнелевонских отложений. Предполагается, что толща с размывом залегает непосредственно на нижнекембрийских образованиях.

**Верхняя толща ( $D_2^2$ )** распространена в бассейне р.Иронтца. Согласное залегание ее на нижней толще ( $D_2^1$ ) наблюдалось в 2,5 км западнее района, по р.Галам /32/. Представлена толща серыми и темно-серыми различной зернистости песчаниками и алевролитами, состоящими 90–94% ее объема. Резко подчиненное значение имеют седиментационные брекции, яшмы, кремнисто-глинистые сланцы, диабазы, известняки и железные руды.

Разрез толщи, составленный по горным выработкам и коренным выходам в I км западнее границы территории листа, по р.Галам /32/, следующий:

1. Песчаники мелко- и среднезернистые серые с прослойками алевролитов . . . . .	60 м
2. Алевролиты темно-серые . . . . .	50 "
3. Песчаники мелко- и среднезернистые темно-серые с прослойками алевролитов и линзами седиментационных брекций . . . . .	430 "
4. Алевролиты темно-серые с пластами (20 м) среднезернистых песчаников в средней части . . . . .	60 "
5. Песчаники мелко- и среднезернистые серые и темно-серые с прослойками алевролитов . . . . .	70 "
6. Алевролиты темно-серые . . . . .	50 "
7. Залегающая выше рудоносная пачка имеет следующее строение:	
I. Яшмы с линзовидными пластами (5–7 м) магнетитовых руд . . . . .	40 "
2. Песчаники среднезернистые и мелкоэзернистые серые с прослойками (5–15 м) яшмы и алевролитов . . . . .	325 "
3. Алевролиты темно-серые с пластами серых песчаников . . . . .	100 "
4. Песчаники мелкоэзернистые с прослойками алевролитов . . . . .	30 "
5. Алевролиты темно-серые с прослойками песчаников и линзами серых яшм с магнетит-гематитовыми рудами . . . . .	45 "

"Наружная" часть толщи имеет следующий разрез:

1. Песчаники серые и темно-серые средне- и мелко-зернистые с пластами (5-10 м) алевролитов . . . . .	110 м
2. Алевролиты темно-серые с пластами среднезернистых песчаников в средней части . . . . .	80 "
3. Песчаники серые, средне- и мелкозернистые с редкими пластами (2-20 м) серых яшм и алевролитов . . . . .	500 "
4. Яшмы серые, зеленовато-серые, редко кирпично-красные . . . . .	60 "
5. Туры лимбазов с редкими пластами (до 2 м) серых яшм . . . . .	90 "
6. Яшмы и кремнисто-глинистые сланцы с пластами (10 м) туров лимбазов в средней части . . . . .	60 "
7. Песчаники разнозернистые, темно-серые с пачкой (20 м) переслаивания алевролитов и мелкозернистых песчаников . . . . .	120 "
8. Переслаивающиеся (0,5-1 м) алевролиты и песчаники . . . . .	50 "
9. Пачка грубого чередования (через 20-50 м) мелко-и среднезернистых серых песчаников и алевролитов . . . . .	240 "
10. Песчаники средне- и мелкозернистые, темно-серые, с прослоями алевролитов, пачками (5-7 м) переслаивания (0,05-0,1 м) песчаников и алевролитов . . . . .	630 "
11. Алевролиты с прослоями (0,1-0,2 м) песчаников . . . . .	70 "
12. Песчаники серые с пластом (5 м) красных яшм . . . . .	100 "

Мощность толщи по разрезу 3400 м.

Непосредственно на территории листа, в сасседине р.Иргизда распространены также преимущественно серые, зеленовато-серые и темно-серые песчаники, меньше — алевролиты, яшмы и кремнисто-глинистые сланцы. Рудоносная пачка, выделявшаяся по р.Галам, даже в условиях плохой обнаженности отчетливо фиксируется по наличию в ее разрезе кремнистых пород. Изучена она на левобережье р.Иргиз, где проводились полисково-разведочные работы на железо /39/.

Примерная мощность пачки 500 м. Нижняя ее часть (120-150 м) сложена яшмами, кремнисто-глинистыми сланцами и магнетитовыми рудами, находящимися в сложном переслаивании. Суммарная мощность железных руд составляет здесь 30 м. К западу по простиранию пачки преобладающими в разрезе становятся песчаники, уменьшаются количество кремнистых пород, а мощность пластов железных руд увеличивается до 90 м. Выше залегают зеленовато-серые и темно-серые, мало- и среднезернистые песчаники с тонкими прослоями глинистых и кремнисто-глинистых сланцев. Верхняя часть рудоносной пачки мощностью около 160 м по составу близка к нижней же-

лезные руды предполагаются здесь только по данным магнитометрии.

В бассейне верхнего течения р.Галам-Макин в тектоническом блоке распространены серые, мелко- и среднезернистые песчаники и алевролиты, содержащие кремнисто-территенную пачку с железными рудами, сопоставимую с железорудной пачкой по рекам Иргизда, Галам.

Условно к среднему девону отнесены средне- и мелкозернистые песчаники с прослоями алевролитов, гравелитов, кремнисто-глинистых сланцев и известняков небольших (3-9 м<sup>2</sup>) тектонических блоков левоберегья р.Эльга, по руч.Горелому, в местечке Мал.Ильинки. На югу с углеродизированными расщепительными осадками (р.Эльга, руч.Горелый), по р.Неми, севернее границ территории листа, в этих отложениях обнаружена /41/ фауна, напоминающая, по зонированию Т.Р.Шишкной, *Pentagonoscyllium tigrinum* Yelt. — вид, издавным определен *Spiriferites* sp., сходный с *Spiriferites tenuela* Gurich. И широко распространенный в эйфеле. Кризиолит из верхней части толщи, по заключению Т.Р.Шишкной, напоминает *Cyprisspirifilites* sp. И является девонским, возможно, среднедевонским.

Растительные остатки, собранные волами мест сбора fauna /32/, представлены *Asterocalamites* sp. и *Parocalamites* sp. Первая, по мнению Н.М.Петросяна, характеризует верхнюю девонскую — нижнюю карбоновую, а вторая напоминает реобиостные стебли членисто-ствольчатых из верхнего карбона, первых и нижнего триаса.

Причина возникшего противоречия заключается, видимо, в том, что растительные остатки, имеющие плохую сохранность, лишь подобны, но не тождествены карбоновым и пермским формам.

#### СРЕДНИЙ — ВЕРХНИЙ ОТДЕЛ

Толща песчаников, алевролитов, яшм и кремнисто-глинистых сланцев (Дев /2+3/) обнаруживается в виде синклинальной структуры по р.Иргизда. Песчаники и алевролиты, составляющие 70-75% ее объема, часто находятся в тонком переслаивании. В нижней и верхней частях разреза присутствуют горизонты кремнистых пород, среди которых встречаются редкие маломощные линзы лимбазов, их туров, известняков и железных руд.

По р.Галам, где в коренных выхонах и горных выработках виделся наиболее полный разрез толщи /32/, нижней ее граница проходит по подошве горизонта (250-300 м) красноватых кремнистых пород, согласно залегающего на отложениях среднего девона. Здесь наблюдается (сверху вниз):

1. Лимны красные и серые с прослойками кремнисто-глинистых сланцев, гематитовых рул (0,2-5 м) и туфов

диабазов . . . . . 270 м

2. Алевролиты с прослойками песчаников . . . . . 20 "

3. Песчаники среднезернистые, серые, с пластом (25 м)

алевролитов в верхней части . . . . . 220 "

4. Диабазы и их туфы . . . . . 100 "

5. Песчаники среднезернистые, серые, с частями прослоек (0,1-0,2 м) алевролитов, содержащих растительный детрит . . . . . 410 "

6. Пересялаивающиеся (через 5-20 см) мелкозернистые

песчаники и темно-серые алевролиты . . . . . 250 "

Мощность разреза 1270 м.

Верхняя часть толщи здесь срезана разломом. На северо-западном крыле структуры в верхах разреза залегает горизонт (110 м) зеленовато-серых ям с линзами диабазов. Общая мощность толщи 1500-1600 м. В нижней части разреза толщи, по р.Галам, собраны остатки криноидей /32/, напоминающих, по мнению Т.Р.Шишкиной, *Syrteocrinusites* (?) или *Gasterocrinus*. И указывающих на девонский возраст имеющихся отложений. Средне-верхнедевонским возрастом толща принимается условно.

#### Тугурская структурно-фаунистическая зона

##### Средний отдел

**С э н т а м и с а в и ч у т р е н е г о** ( $D_3^{f_2}$ ) установлен в верховье р.Лев Куньмунь и на левобережье р.Мункан на юго-востоке 10 км и в тектонических блоках по р.Салткан. Сложена она песчаниками, тuffопесчаниками, алевролитами с прослойками и линзами кремнистых пород, диабазов, гравелитов, известняков. На листе N-53-XII 1/18 свита разделена на две половины. На рассматриваемой территории такое разделение невозможно в связи с ограниченным ее распространением и плохой обнаженностью.

В бассейне р.Лев Куньмунь нижняя часть свиты (нижняя подсвита, по С.И.Бирюзову) представлена полимиктовыми темно-серы-

ми мелкозернистыми песчаниками и зелено-вато-серыми туфопесчаниками с прослойками алевролитов, линзами (5-10 м) диабазов и серых ям. Ниже, по р.Мункан, обнажены темно-серые алевролиты, переслаивающиеся с полимиктовыми песчаниками и содержащие в верхней части разреза линзы диабазов (1-3 м) и известняков (до 5 м).

С.И.Бирюзов /18/, выделяющий эту часть разреза в верхнюю подсвиту, в хорошо обнаженном разрезе по р.Теватин (лист N-53-XII) отмечает ритмично пересялаивающиеся песчаники, алевролиты и пачки массивных песчаников, прослойев и линз туфов, кремнистых пород, гравелитов и известняков. Алевролиты содержат обломочные включения других пород, а пачки их ритмичного пересяления с песчаниками передко переходят в глибовые, видимо, оползневые брекции. В бассейне р.Салткан в тектонических блоках преимущественно развиты и песчаники и алевролиты, часто пересялаивающиеся между собой. Среди них встречаются линзы (50-100 м) серых и зелено-красных ям, диабазов и их туфов. Выделяемая мощность сняты 2500-2700 м (см.рис.2).

Макрофаунистические остатки, собранные в нижней и средней частях свиты мыса Внутреннего на листе N-53-XII, свидетельствуют скорее всего о среднедевонском (Эйфельском) возрасте этой части разреза /18/. Животный возраст верхней части свиты основывается на находках ископаемых кораллов в той же свите в районе мыса Внутреннего /2/.

##### Верхний отдел

**Л и н г о л ь м с к а я с в и т а** ( $D_3^{f_3}$ ) развита в узкой (2-3 км) полосе у восточной границы территории листа, по р.Мункан. С.И.Бирюзов /18/ указывает на согласное залегание ее на свите мыса Внутреннего. Представлена она массивными среднекрупнозернистыми песчаниками, неравномерно чередующимися с мелкозернистыми разностями. Среди песчаников встречаются прослои и линзы (1,5-3 м) алевролитов, осадочных брекций, серых ям и диабазов. Последние составляют не более 5-10% объема свиты. Установлено к линтолильской свите отнесены мелко- и среднезернистые зелено-вато-серые песчаники с прослойками алевролитов и монокол (100-150 м) пачкой диабазов и их туфов, обнажающиеся в тектоническом блоке по р.Салткан. На листе N-53-XII /18/ аналогичные отложения распространены в средней части свиты. Мощность снятых 1500 м.

На сметной с востока территории из песчаников и алевролитов съяты выделен комплекс спор, характерный, по мнению

А.Д.Архангельского, для южного яруса и верхнего девона

/18/. Находки верхнедевонской флоры в этой съите известны вос-

точнее, в районе места Поворотного /2/.

**К о р е л ь с к а я с в я т а** ( $D_{3/4}$ ) разыта по р.Сородо, у восточной границы площади листа, и в тектоническом блоке на левобережье р.Коврика. Согласное залегание ее на линольмской съите наступалось на съите с востока территории листа, по рекам Кунгур и Чулакан /18/. Там она четко делится на три подсвиты. На рассматриваемой территории такое разделение невозможно в связи с ограниченностью площади ее распространения и плохой оснащенности. Следована она алевролитами и песчаниками с прослойками и линзами кремнистых пород, диабазов, известняков, конгломератов, гравелитов. По р.Сородо в нижней части съите развиты алевролиты с будиенсющими прослойками (0,5-1,5 м) мелкозернистых полимитовых песчаников, линзами (1-2 м) диабазов и кремнистых пород. В аллювию правого притока р.Мунikan, размышающего отложения этой части разреза, найден обломок магнетитовой руды. Средняя часть съите сложена мелкозернистыми полимитовыми песчаниками с прослойками (1-3 м) алевролитов, диабазов и кремнистых пород и пачками ритмичного переклаивания песчаников и алевролитов. В верхних слоях съите установлены алевролиты с прослойками (10-20 см) и пластами (5-10 м) диабазов, их глыбов, полимитовых мелкозернистых песчаников и кремнистых пород. На водоразделе рек Янтарь и Коврика в тектоническом блоке горными выработками вскрытысь, видимо, верхней средней и низин верхней частей съите:

1. Песчаники темно-серые, мелкозернистые, полимитовые . . . . .	200 м
2. Кремнистые породы светло-серые и зеленовато-серые . . . . .	70 "
3. Песчаники темно-серые, мелкозернистые, полимитовые с прослойками (1-5 м) алевролитов и кремнистых пород . . . . .	250 "
4. Песчаники зеленовато-серые, мелко-, среднезернистые, полимитовые с редкими прослойками алевролитов . . . . .	350 "
Мощность разреза	850 м.

К западу от призаборного разреза в песчаниках довольно часто встречаются прослои (до 10 м) гравелитов и конгломератов, а к р.г.Янтарь, среди них находилась линза (10-12 м) известняков. Общая мощность съите ориентировочно равна 3000 м.

Позднедевонская ископаемая флора обнаружена в песчаниках корельской съите только на Тутурском полуострове и линии побережья Тутурского залива /2/.

Необходимо отметить, что имея склонные черты (наличие в разрезах кремнистых и вулканогенных пород) девонские толщи в целом отличаются от киммерийских существенно терригенным составом. Песчаники и алевролиты слагают 75-85% их разреза, в то время как на кремнистые породы и вулканиты приходится лишь 15-20%. Отмечено значительное отличие в составе обломочного материала кембрийских и девонских полимитовых песчаников. В последних обломки пород, составляющие 20-30% их объема, представлены в основном продуктами размыва подстилающих нижнекембрийских образований.

Бедность палеозойских отложений органическими остатками, плохая сохранность последних определяют условность возрастов выделенных стратиграфических подразделений. Кроме того, по сих пор не выполнены твердые критерии отличия литологически близких разновозрастных продуктивных толщ палеозоя (улугянская съите нижне-тюмень морфология, условия залегания и природа карбонатных тел, залегающих среди отложений ультинской съите). Все это определяет необходимость постановки в палеозойских образованиях Улугянского междуцеряя специальных литоген-стратиграфических и геохимических исследований.

#### ПЕРМСКАЯ СИСТЕМА

**Т о л щ а п о л и м и к т о в ы х п е с ч а н и к о в , а л е в р о л и т о в , г л и н и с т и х и к р е м н и - с т о - т л и н и с т и х с л а н ц е в (Р)** установлена в узком (2-4 км) тектоническом блоке, вытянутом в северо-восточном направлении от р.Лев.Ильин до р.Мытакан. Представлена она преимущественно мелкозернистыми песчаниками и алевролитами с прослойками и линзами (от 0,3 до 10-15 м) глинистых и кремнистоглинистых сланцев, яшм, гравелитов, седиментационных брекций. Схематический разрез толщи составлен по р.Верх.Лагай:

1. Песчаники темно-серые мелкозернистые, переслаивающиеся (через 1-5 м) с алевролитами; прослой (0,3 м) кремнисто-глинистых сланцев . . . . .	80 м
2. Алевролиты темно-серые с пластами (15-20 м) мелкозернистых темно-серых песчаников и прослой	

ЮРСКАЯ СИСТЕМ

Нижняя толща ( $j_1^1$ ), представленная мелкозернистыми полимиктовыми песчаниками с прослойями алевролитов и среднезернистых кварц-полевошпатовых песчаников, линзами гравелитов и сидеритационных брекчий, развита в юго-восточной части района, в бассейне руч. Горного. На территории листа № 53-ХIII она с угловым несогласием залегает на палеозойских образованиях /18/.

ним коренным выходам, слегкающий:	
1. Песчаники мелкозернистые, темно-серые, с про-	
слойми среднезернистых серых песчаников . . . . .	200 м
2. Песчаники мелкозернистые, темно-серые с редки-	
ми прослойками (10-15 см) черных алевролитов . . . . .	610 *

3. Целстники медно-зеленистые, темно-серые, трещиноватые	600 "
4. Песчаники темно-серые с линзами седиментационных брекчий, вверху — с редкими прослоями (до 1-1,5 м) алевро- ролитов	330 "

рассланцованные, с прослойками (до 10 см) алевролитов . . 170 "

Мощность горизонта 2000 м.

К юго-востоку по простиранию толши состав ее не меняется. Вблизи восточной границы территории листа среди песчаников чаще наблюдаются прослои алевролитов. Встречаются линзы гравелитов.

Верхняя толпа ( $\frac{5}{7}$ ?) нарезывает разрез узко-  
но неправильных образований, образуя полосу шириной 6-7 км по-  
восточного направления от р. Ниж. Янтарек до руч. Горного. Представ-  
лена она мелкозернистым песчаником, алевролитами, пачками их  
ритмичного переслаивания, с прослоями среднезернистых песчан-  
ков и седиментационных брекчий. Граница между нижней и верхней  
толщами согласная, проводится по появлению мощных пачек алевро-  
литов или пачек ритмичного переслаивания алевролитов с песчан-  
ками.

**Схематичний розріз тощо по правому притоку р.Боннак, що від-  
тавлений по кореням вихолем, слідуєши:**

I. Алевролиты темно-серые, рассланцованые, с прослойями (0,5-1 м) мелкозернистых темно-серых песчаников . . . . .	100 м
2. Шестигранники мелкозернистые, темно-серые, полимиктовые . . . . .	200 "
3. Ритмично переслаивающиеся (через 1-3 см) мелко-зернистые песчаники и алевролиты . . . . .	200 "
4. Алевролиты черные с прослойками мелкозернистых песчаников мощностью 30-50 см . . . . .	80 "
5. Переслаивающиеся мелкозернистые темно-серые песчаники и алевролиты (10-15 см) . . . . .	180 "
6. Ритмично переслаивающиеся через 3-5 см алевролиты и темно-серые мелкозернистые песчаники . . . . .	120 "
7. Алевролиты черные с редкими будничированными прослойями (20-30 см) мелкозернистых темно-серых песчаников . . . . .	330 "
8. Переслаивающиеся (через 5-10 см) черные алевролиты и мелкозернистые темно-серые песчаники . . . . .	80 "
9. Песчаники мелкозернистые темно-серые с редкими прослойами (до 10 см) алевролитов, в средней части с пачкой (50 м) переслаивания песчаников и алевролитов . . . . .	380 "
10. Алевролиты черные с редкими прослойями (до 1 м) мелкозернистых песчаников . . . . .	80 "
I. Песчаники мелкозернистые, темно-серые с редкими прослойями (5-10 см) алевролитов и пачкой алевролитов (30 м) в средней части . . . . .	690 "
I. Алевролиты черные с будничированными прослойями (5-10 см) мелкозернистых темно-серых песчаников . . . . .	180 "
Общая мощность разреза 2620 м.	

К юго-востоку от разреза, по р. Боннак, основной фон (до 70%) нижней части толщи также составляет алевролиты. Кроме того, здесь появляется значительное количество мелко- и среднезернистых светло-серых кварц-полевошпатовых песчаников. Верхняя часть толщи, в отличие от приведенного разреза, здесь почти полностью состоит из мелкозернистых темно-серых песчаников. Прослой алевролитов (0,5-1 м) встречается очень редко. В бассейне руч. Горного топя сложена в основном мелкозернистыми песчаниками, в которых наблюдаются линзы и линзовидные прослойки седиментационных брекций и гравелитов (1-5 м). В нижней части разреза сравнительно много алевролитов. Общая мощность толщи не менее 3000 м.

На территории листа в рассматриваемых отложениях органических остатков не найдено. К югу, в бассейне р. Кумусун, в аллю-

вий рек, размывающих отложения, которые согласно залегают на породах верхней толщи, В.И.Анохиним /ГЗ/ найдены остатки белемитов, крионидей и отпечаток аммонита. По мнению Е.П.Брунидской, отложения, имеющие эту фауну, можно предположительно отнести к средней юре. Так как описываемые толщи залегают стратиграфически ниже отложений с фауной средней юры (?), возраст их принимается условно раннериремским.

### В е р х н и й о т п е л

#### Калловейский и оксфордский ярусы

Отложения калловейского и оксфордского ярусов (J<sub>3</sub>-L<sub>1</sub>+O<sub>1</sub>) прослеживаются узкой (2-4 км) полосой с юго-запада на северо-восток от р. Иргиза до р. Лапкалак. Представлены они в основном мелко- и тонкозернистыми песчаниками с прослойками и линзами среднезернистых песчаников, конгломератов и ракушняков. Ниже описываемых отложений в большинстве отсутствуют, так как с подстигающими палеозойскими породами они соприкасаются по системе различных нарушений. Лишь в бассейнах рек Иргиза, Ир и на правобережье р. Тонум установлены базальные конгломераты, залегающие с угловым несогласием на девонских отложениях. В бассейне р. Ир базальные слои сложены разнотипными конгломератами, гравелитами и грубозернистыми песчаниками мощностью от 10-15 до 40 м. По простирации они часто фациально замещаются мелко- и среднезернистыми плохо сортированными песчаниками. Галька и обломки в конгломератах и гравелитах представлены кремнистыми и кремнисто-глинистыми городилами, микрокварцитами и гранитоидами.

Разрез толщи, с последним отбором фауны, составлен по коренным и горным выработкам по р. Миня, где наблюдаются:

1. Песчаники средне- и крупнозернистые, зелено-вато-серые с прослойками алевролитов, мелкозернистых темно-серых песчаников и остатками Номодона cf. tzanogradskii (Vor.), Lima sp. indet., Ditrivula sp. indet. 30 м

2. Песчаники мелкозернистые, темно-серые, зелено-вато-серые с прослойями (1-6 см) алевролитов и пачками переслаивания песчаников и алевролитов с Lima borealis Pöhl., Psathyrothecis (?) sp. indet., Octoma sp., Номодон cf. tzanogradskii (Vor.), Modiolus cf. straigeskia-pius (Orb.) . . . . . 172 "

3. Песчаники мелко- и тонкозернистые, темно-серые с прослойками алевролитов и среднезернистых песчаников <i>Quenstedtia</i> sp. indet., <i>Meleagrinella</i> sp., <i>Homoeca</i> cf. <i>tzaregradskii</i> (Vor.) . . . . .	52 м
4. Пересяданчесь мелкозернистые, светло-серые песчаники (0,6–1,5 м), среднезернистые, светло-серые песчаники (до 0,6 м) и темно-серые алевролиты с охтомой sp. . . . .	60 "
Общая мощность разреза толща 314 м.	
Примерно такой же состав и строение имеет толща северо-восточнее, в бассейне р. Нами. Судя в основном по левому, здесь в разрезе лишь несколько больше средне-, крупнозернистых песчаников. К юго-западу, в бассейне р. Эльга, разности преимущественно малкозернистые песчаники с прослойками и пачками алевролитов и мелко-, тонкозернистых песчаников. В средней части разреза встречен горизонт светло-серых средне-, крупнозернистых песчаников, которые по р. Мина наблюдаются в нижней части видимого разреза и для которых характерно наличие линз и прослоев ракушника. Общая мощность келловей-оксфордских отложений составляет 300–540 м.	
На описываемой территории в отложениях толщи, помимо фауны, приведенной в разрезе, многочисленные остатки ее собраны в сас- сийне р. Эльга, в верховье р. Галам-Макит, по рекам Токи-Макит и Ир. В средней части разреза найдены <i>Lima borealis</i> Pčel., <i>Homoeca</i> sp. indet., <i>Modiolus bolodokensis</i> (Vor.), <i>Pleuroyma</i> sp., <i>Rseudotrapezium</i> sp., <i>Meleagrinella umalensis</i> (Krimb.), <i>Tancredia</i> ex gr. <i>donaziformis</i> Lytett, а в верхней — <i>Modiolus bolodokensis</i> (Vor.), <i>Homoeca</i> aff. <i>zirruscaensis</i> (Vor.), <i>Nucula</i> sp., <i>Partschiceras</i> sp. indet., <i>tzaregradskii</i> (Vor.), <i>Entolium</i> cf. <i>demissum</i> (Phill.). Этот комплекс фауны, по замы- щению Е. П. Бруникоф, обнарен в нижних слоях верхнейрских отло- жений и с некоторой полой условности датирует их в пределах кель- ловейского и оксфордского ярусов.	

#### Оксфордский и кембрийский ярусы

Отложения оксфордского и кембрийского ярусов ( $\Sigma_{\text{окс-ям}}$ ) согласно залегают на келловей-оксфордских и прослеживаются полу- сой (2–6 см) от р. Токи до р. Нами, уходя за пределы территории листа. Представлена они мелко- и тонкозернистыми песчаниками с прослойями и линзами алевролитов, средне-, крупнозернистых песчаников, гравелитов, континентальных. За нижнюю границу отложений

принимается подошва горизонта средне- и крупнозернистых песчаников с прослойками и линзами мелкогальванических конгломератов.

В разрезе по р. Мина, который приводится здесь в обобщенном виде, в коренных выходах и горных выработках наблюдаются:

##### 1. Песчаники средне- и крупнозернистые с прослой-

ми ракушняка, конгломератов, растворительным метритом и обломками алевролитов. Остатки *Rhynchonella* sp.,

*Meleagrinella* sp. indet., *Arctotis* cf. *intermedia* Bodyl.,

*Lima borealis* Pčel., *Camptonectes* sp. indet., *Modiolus* sp. indet., *Serpula* sp., *Pseudomelanita* cf. striatil

(Lah.), *Ampullioripa* sp. indet. . . . .

II Om

2. Песчаники мелко- и тонкозернистые темно-серые с прослойями (до 15 м) серых среднезернистых песчани- ков с *Camptonectes annulatus* (Sow.) . . . . .

35"

3. Песчаники средне- и крупнозернистые светло-се- рые с пачкой (7 м) мелкозернистых, темно-серых песчани- ков, содержащих *Etoilium* cf. *deissimum* (Phill.). . . . .

70"

4. Песчаники темно-серые мелкозернистые с *Meleagrinella* sp. indet., *Aucella* cf. *mosquensis* Buch,

*Uralella* (?) sp. indet. . . . .

20"

5. Песчаники мелко-, тонкозернистые, темно-серые "мусорные" с прослойями (0,3–2 м) средне- и крупнозер-

нистых песчаников, реже алевролитов с *Aucella pallati* Pavl. (?), *A. mosquensis* Buch., *A. streamonovi* Pavl.,

*Chlamys* sp., *Modiolus* sp. indet., *Camptonectes lens* (Sow.), *Parallelodon keyserlingii* (Orb.), *Homoeca poly-*

*morpha* (Orb.), *Ditrypula* sp. indet., *Meleagrinella* sp. indet., *Aucella* sp. indet. . . . .

150"

6. Песчаники средне- и крупнозернистые светло-

серые и зелено-вато-серые, переходящие в гравелиты и

конгломераты, с *Meleagrinella* sp. indet., *Aucella*

sp. indet., *Jasognomon* (?) sp. indet., *Ostrea* sp. indet. . . . .

40"

7. Песчаники мелко- и тонкозернистые с прослойями

среднезернистых серых песчаников и ракушняка из остат-

ков *Aucella sellasi* Pavl., *A. cf. fischeriana* Orb.,

*Inoceramus* sp., *Camptonectes schetuchense* Chud. и др. . . . .

Общая мощность разреза 685 м.

К юго-западу от р. Мина, в бассейне р. Эльга, состав толщи остается таким же. Некоторое отличие заключается в том, что среди мелкозернистых "мусорных" песчаников средней части разре- за нет прослоев среднезернистых серых песчаников. Одна мощ-

НОСТЬ ОКСФОРД-КИМЕРИЙСКИХ ОТЛОЖЕНИЙ ДОСТИГАЕТ 900 М.

Остатки ископаемой фауны, собранной по рекам Эльга и Неми,

(Vor.), *Homona polymorpha* (Orb.), *Amberleya cf. jasikofiana* (Orb.), *Partschiceras schistuchense* Chud., *Aucella mosquensis* Buch., *Aucella cf. rugosa* Flisch., *Aucella abbreviata* Pavl., *Aucella stantoni* Pavl. и пр. По замечанию Е.П.Брудницкой и Л.Д.Третьяковой, этот комплекс фрагм содержит большое количество келловей-оксфордских форм, но появление ауделя позволяет повысить возраст остатков и отнести их к келловейскому и оксфордскому ярусам.

Кимерийский и титонский ярусы

Отложения кимерийского и титонского ярусов ( $J_{km-t}$ ) залегают согласно на оксфорд-кимерийских. Ширина их выхода в бассейне р. Эльты составляет 3-5 км, уменьшаясь по простиранию к северо-востоку до 1 км. Представлены они мелко- и тонкозернистыми темно-серыми песчаниками, алевролитами с прослойями средизеернистых светло-серых и зеленовато-серых песчаников. За нижнюю границу этих отложений принимается положение горизонта средизеернистых светло-серых песчаников, который четко фиксируется в бассейне р. Мяна. К юго-западу, в бассейне р. Эльты, граница проводится условно по основанию пачки мелкозернистых темно-серых песчаников, выше которой в разрезе исполненная фауна представлена в основном ауделлиями.

**В разрезе по р.Мини, составленном по коренным выходам и горным выработкам, тольца имеет следующее строение:**

3. пещанки средне- и крупнозернистые светло-серые о прослоями алевролитов (до 1 м) и мелкозернистых пестниковых с *Aurella Fischeriana* Orb., *Jnoscerasmus* sp. . . 30 "



Общая мощность разреза по р.Мине 550 м. По простиранию к юго-западу мощность киммеридж-титонских отложений увеличивается. По р.Иль-Макит разрез начинается пачкой тонкого переслаивания (2-5 см) алевролитов, мелко-, тонкозернистых песчаников и серым-, мелкозернистых озерных песчаников. Выше залегают темно-серые алевролиты с редкими прослойками серых среднезернистых песчаников. В средней части фиксируется мощная пачка мелко-, тонкозернистых темных песчаников, ограниченная снизу и сверху горизонтами серого-, крупнозернистых светло-серых песчаников. Заканчивается разрез пачкой переслаивания мелко-, тонкозернистых темных серых песчаников и алевролитов. Мощность отложений по этому пересечению достигает 1200 м. Аналогичный разрез изучен по р.Среднемысльга.

Таким образом, размер обломочного материала киммеридж-титонских осадков к северо-востоку увеличивается, а мощность их со-

таким образом, размер оломочного материала кимерид-титоно-  
ских осадков к северо-востоку увеличивается, а мощность их со-  
храняется более чем в два раза.

Кроме фауны, приведенной в разрезе по р.Мыс, в этих отло-  
жениях собраны остатки: *Ancella cf. fischeriana* Orb., *A. cf.  
dilatata* Pavl., *A. cf. orbicularis* Hyatt., *A. spasskensis* Pavl.,  
*A. russensis* Pavl., *A. cf. tenuicollis* Pavl., *A. cf. rugosa* Fisch.  
и др. (определения Е.Б.Брунницкой и Л.Д.Третьяковой), характе-  
ризующие верхи кимеридского и титонский ярусы.

## МЕЛОВАЯ СИСТЕМА

### Нижний отдел

Нижнеловы отложения слагают северо-западное крыло и центральную часть Торомского прогиба. Нижняя граница мела проходит по основанию мощной пачки серых крупнозернистых песчаников с растительными остатками, залегающей со стратиграфическим несогласием на камериоле-титонской толще.

#### Валанжинский ярус

Толща крепко- и среднеэрозионных песчаников ( $K_1^v$ ) обнажается в приводораздельной части рек Тонум-Эльга и в междууречье Ир-Ними, Ними-Лашкалах. Сложенна она крупно- и среднезернистыми кварц-полевошпатовыми песчаниками с прослойками и линзами алевролитов, седиментационных брекций и континераторов. Обобщенный разрез толщи, составленный по коренным выходам и горным выработкам, следующий:

1. Песчаники средне- и крупнозернистые серые с прослойми (10-30 см) алевролитов и пачкой (5 м) седиментационных брекций . . . . .	55 м
2. Песчаники среднезернистые светло-серые с прослойми (0,5-1,5 м) темно-серых алевролитов . . . . .	40 "
3. Пересядающиеся (0,1-0,4 м) темно-серые алевролиты и мелко-, среднезернистые зеленовато-серые пещаники . . . . .	55 "
4. Песчаники мелко- и среднезернистые светло-серые с прослойками (до 0,5 м) алевролитов . . . . .	30 "
5. Песчаники крупно- и грубозернистые (до гравелитов) светло-серые с редкими прослойками (до 10 см) алевролитов . . . . .	40 "
Общая мощность разреза 220 м.	

К юго-западу, в бассейне р. Эльга, разрез толщи по составу и строению близок к описанному. В средней части толщи в алевролитах здесь обнаружен *Solenites ussulensis* E. Lebed. Мощность толщи здесь равна 380 м. В нижнем течении р. Бол. Тонум в

нижней и верхней частях разреза толщи появляются прослой и линзы мелкогранularных конгломератов. Общая мощность толщи около 400 м.

Толща крепко-, средне- и мелко-зернистых песчаников и алевролитов ( $K_1^v$ ) залегает согласно на нижележащей. За нижнюю границу отложений принимается подошва пачки переслаивания темно-серых алевролитов с мелко-, тонкозернистыми песчаниками.

Остальная часть толщи представлена в основном серыми кварц-полевошпатовыми песчаниками разной зернистости с прослойками и линзами в верхней части гравелитов, конгломератов и конгломерато-брекций.

Строение толщи иллюстрирует разрез, составленный по горным выработкам по р. Миня:

1. Переслаивающиеся (через 10-20 м) черные плитчатые алевролиты и мелко-, тонкозернистые песчаники . . . . .	55 м
2. Алевролиты темно-серые тонкоплитчатые с прослойями (до 1,5 м) среднезернистых песчаников и седиментационных брекций . . . . .	35 "
3. Пересядающиеся (через 2-4 м) мелко-, средне- и крупнозернистые серые песчаники, содержащие прослой алевролитов с <i>Equisites</i> sp. cf. E. gusoviae Sanch.	
4. Песчаники крупно- и среднезернистые светло-серые с прослойями (5-10 см) мелкозернистых темно-серых песчаников, гравелитов и конгломерато-брекций . . . . .	130 "
5. Конгломерато-брекции серые с прослойами (2-4 м) средне-, крупнозернистых песчаников и темно-серых алевролитов . . . . .	20 "
6. Песчаники крупно- и среднезернистые светло-серые с углефицированными растительными остатками, прослойми (5-6 м) континераторов, гравелитов и тонкозернистых песчаников . . . . .	220 "

Примерно такой же состав и строение толща сохраняет и в других местах. Лишь к северо-востоку от приведенного разреза, в бассейне левых притоков р. Ними, в разрезе уменьшается количество грубобломочных пород (гравелитов, конгломератов), более широко распространены средне-, мелкозернистые песчаники. Пачка алевролитов и мелко-, тонкозернистых песчаников основания толщи хорошо выделяется по простиранию на территории листа и за его пределами /28,5/. Общая мощность толщи 700 м.

В описанных толщах, помимо растительных остатков, приведенных в разрезах, найдены папоротники *Solenites ussulensis* sp. cf. arctica

(Prym.) Sawyl.	По мнению М.М. Колман, определенныерастительные остатки принадлежат нижнему мелу (раннему неокому). Остатки Aucella fischeriana Orb. присутствующие в низах второй толщи, не противоречат этому заключению. Рассматриваемые толщи хорошо со-поставляются с бериасской-клинуреской и валанжин-готеривской (Чуманьской) свитами верховьев р. Тель /5/. На склоне к востоку листе в основании разреза нижнего мела виделась одна толща валанжинского яруса, возраст которой обосновывается собранной фацией /18/. Учитывая сказанное, мы обе толщи с известной долей условности относим к валанжинскому ярусу.
Т о л щ а к о н т и н е н т а л ь н ы х к о н г л о-	м е р а т о в и п е с ч а н и к о в (с $K_4$ ) распространена в верховых рек Тонум, Ними и в меандре Чии-Лакалак и Тодо-Урак - Больш. Тонум. На валанжинских отложениях она залегает с разрывом. Нижняя граница толщи проводится по пологие пачки конгломератов, выше которой в разрезе преобладают грубообломочные породы (контроллеры, гравелиты, грубозернистые песчаники). Мелко-, тонкозернистые песчаники встречаются в виде прослоев преимущественно в верхней части разреза. На ято-постое образование толщи несогласно перекрыты верхнемеловыми вулканическими и програнитовыми Тонум-Онганской интрузии. В разрезе по р. Тонум в горных выработках наблюдается следующее чередование пород:
1. Контроллеры мелкогалечные с прослоями гравели-	
тов и крупнозернистых песчаников. Галька диаметром 5-6 см представлена яйцами, гранитолами, песчаниками, алевроли-тами, редко микркварцитами, известняками, кварцем . . . . .	60мм
2. Песчаники крупнозернистые серые с пачками пере- сланий тонко- и среднезернистых песчаников, алевроли- тов, гравелитов и контроллеров. В тонкозернистых песча- никах - остатки Podozamites cf. angustifolia Heeg, <i>Rhoenicosporis</i> sp. . . . .	30"
3. Контроллеры мелкогалечные . . . . .	30"
4. Песчаники крупнозернистые светло-серые с прослои- ми мелко-, тонкозернистых песчаников и алевролитов . . . . .	50"
5. Контроллеры мелкогалечные с прослоями (до 5 м) средне-, крупнозернистых песчаников . . . . .	60"
6. Песчаники крупно-, грубозернистые до гравелитов (до 1 м) . . . . .	100"
7. Переслаивающиеся крупнозернистые серые песчаники, гравелиты и мелкогалечные контроллеры . . . . .	210"

Верхний отдел

Т о л ш а а н п е з и т о в , а н д е з и т о - л а ц -  
т о в и к и т у ф о в ( $\text{AFC}_2$ ) развита в бассейнах рек Ирри-  
ла, Тодуярек, вдоль р.Салиткан и на небольших участках в вер-  
ховых рек Саги, Тонум, Мал.Бургала и др.  
  
Комплект между толщей андезитов и их туров и толщей конти-  
нентальных континентальных конгломератов и песчаников непосредственно не наблю-  
дался. Предполагается, что эта толща несогласно залегает на ниже-  
меловых терригенных отложениях и согласно перекрывает вулкани-  
ческими умеренно-кислого состава. Сложена толща в основном андези-  
тами и их турами, реже встречаются андезито-дациты, дациты, туры  
андезито-дацитового состава. В общем по разрезу наблюдается пре-  
обладание туров в нижах толщи, а лав – в верхней ее части. Пре-  
обладание пирокластов отмечается в бассейнах рек Тоду-Урек,  
Иррила, а лав – в бассейне р.Салиткан и в верховых рек Тонум,  
Тором.

8. Конгломераты с прослонами (1-4 м) гравелитов и юн-  
ло-, и мелкозернистых песчаников и алевролитов с *Rhytophyll-*  
*lum ex gr. nodenskioleidii* (Haer.) *Nath.* . . . . . 150 м  
9. Песчаники крупнозернистые светло-серые с прослонами  
мелкогалечных конгломератов (1 м) и алевролитов . . . 160 \*  
Общая мощность разреза 850 м.  
В меандруче Ир - Нын, как и в приведенном разрезе, наблю-  
дается грубое пересланение конгломератов, гравелитов и крупно-  
зернистых песчаников, а в бассейне р. Бол. Тонум тонка, преимуществен-  
но сложена мелко- и среднегалечными конгломератами. Конгломе-  
раты часто переходят в гравелиты, а последние — в грубо- и ку-  
половинные песчаники и наоборот. Общая мощность толщи около  
300 м. Собранные растительные остатки из отложений толщи имеют  
широкий возрастной диапазон. Вероятно, она является аналогом  
тыльской свиты, содержащей остатки растений альбского яруса /5/.

- ## В е р х н и й о т п е л
- т о л ш а а н д е з и т о в , а н д е з и т о - л а ц и-  
т о в и к и т у ф о в ( $ак_2$ ) развита в бассейнах рек Иррил-  
да, Тодорык, вдоль р.Семикан и на небольших участках в вер-  
ховых рек Саги, Тонум, Мал.Бургала и др.
- Контакт между толщей андезитов и их туфов и толщей конти-  
нентальных конгломератов и песчаников непосредственно не наблю-  
дался. Предполагается, что эта толща несогласно залегает на нижне-  
меловых терригенных отложениях и согласно перекрывает вулкан-  
тами умеренно-кислого состава. Сложена толща в основном андези-  
тами и их туфами, реже встречаются андезито-дациты, дациты, туфы  
андезито-дацитового состава. В общем по разрезу наблюдается пре-  
обладание туфов в низах толщи, а лав — в верхней ее части. Пре-  
обладание пирокластов отмечается в бассейнах рек Тодо-Урак,  
Иргита, а лав — в бассейне р.Семикан и в верховых рек Тонум,  
Тором.
- Наиболее полный разрез толщи по сплошным коренным выходам  
составлен по р.Семикан:

Толща андезитов, андезит-ольвейтов и хитуфов ( $AK_2$ ) развита в бассейнах рек Ирри-да, Тоду-Урак, вдоль р.Салиткан и на небольших участках в верховьях рек Саги, Тонум, Мал.Бургала и др.

Контакт между гнейсами андезитов и их туфов и толщей конгломератов и песчаников непосредственно не наблюдался. Предполагается, что эта толща несогласно залегает на нижнемеловых терригенных отложениях и согласно перекрывает вулканически умеренно-кислого состава. Сложена толща в основном андезитами и их туфами, реже встречаются андезито-дациты, дациты, туфы андезито-дацитового состава. В общем по разрезу наблюдается преобладание туфов в низах толщи, а лав – в верхней ее части. Преобладание пирокластов отмечается в бассейнах рек Тодо-Урак, Иргита, а лав – в бассейне р.Салиткан и в верховьях рек Тонум, Тором.

Наиболее полный разрез толщи по сплошным коренным выходам составлен по р.Салиткан:

- |  |       |
|--|-------|
| I. АНДЕЗИТ ТЕМНО-СЕРЫЕ МЕЛКОЗАГЛАЛЕНИКОВЫЕ . . . . .   | 90 м  |
| 2. Переходящие андезитовые тумы псевдогнейков, гравийных, псаммитовых и алевритовых с потоком андезитов (20 м) в средней части . . . . . | 100 м |

3. Андезиты темно-серые . . . . .	40 м
4. Туры гравийные андезитового состава . . . . .	95 "
5. Переслаивающиеся псамитовые, алевральные, реже псевдофитовые туры андезитового состава . . . . .	90 "
6. Андезиты темно-серые мелковыраженные с прослойками (10 м) алевро-псамитовых туров андезитового состава в верхней части . . . . .	180 "
7. Переслаивающиеся псамитовые и алевритовые, редко гравийные и пелитовые туры андезитового состава . . . . .	80 "
8. Туры псевдофитовые андезито-дацитового состава . . . . .	15 "
9. Андезиты серые мелкогранитные . . . . .	10 "
10. Туры псевдофитовые и алевритовые с редкими прослойками псевдофитово-гравийных туров андезито-дацитового состава. 100 "	

Мощность разреза 840 м.

В верховье р. Каменистой нижняя часть толщи сложена грубобломочными турами андезитового и андезито-дацитового состава, средняя — лавами андезитов, а верхняя — переслаивающимися лавами андезитов и мелкобломочными турами андезито-дацитового состава. Обилие пирокластов и значительная мощность вулканогенных отложений в бассейнах рек Скалистая и Каменистая смылаесьствует о близости очагов извержения в описанных разрезах. Такой центр зорушшии (некк) был установлен по р. Каменистой. В береговых обрывах р. Инагатда нижняя часть разреза сложена андезитами мощностью 500 м, а верхняя — разнообразными пирокластами, содеряющими образования лахаровых потоков. Вулканомиктовые конгломераты и туфы с *Sequoia fastigata*. Мощность толщи изменяется от 500 до 900 м.

Андезиты — темно-серые, черные и зеленовато-серые породы с микролитовой, пилотактической и интерсертальной структурами основной массы; по составу амфибол-пироксеновые и амфиболовые. Вкрапленники (15–20%, реже 60% объема породы) представлены пироклазом, пироксеном, амфиболом, биотитом. Основная масса состоит из микролитов пироклаза и стекла. Аксессории представлены цирконом, апатитом, сференом, магнетитом; вторичные — хлоритом, карбонатом, альбитом, серидитом. В турах обломочный материал представлен андезитами, итнимбритами, алевролитами, плагиоклазами, цемент пепловым.

Приведенная выше форма испытываемой формы характерна для позднего мела; абсолютный возраст андезитов по всем определениям оказался равным 84,89 и 90 млн лет, что также подтверждает позднемеловой возраст толщи.

**Т о л щ а и т н и м б р и т о в и т у ф о в л и-**  
парито-дацитового состава ( $\text{E}_{\text{K}_2}$ ) расположена в бассейнах рек Селиктан, Бол. Тонум и Мунikan, залегая согласно на толще средних эфузивов. Суля по многочисленным разрезам, состоящим по сложным коренным выходам, сложена толща в основном итнимбритами и турами липарито-дацитового, реже дацитового состава. В разрезе по р. Ник. Сэги толща имеет следующее строение:

1. Туры псевдофитовые липарито-дацитового состава . . . . .	140 м
2. Туры гелевые тонкоголоснатые . . . . .	110 "
3. Фольмитнимбриты липарито-дацитового состава . . . . .	150 "
4. Туры псевдофитовые липарито-дацитового состава . . . . .	63 "
5. Фольмитнимбриты липарито-дацитового состава . . . . .	84 "
6. Итнимбриты кристаллокластические липарито-дацитовые . . . . .	120 "

Общая мощность 667 м.

На левобережье р. Мунikan толща представлена исключительно липарито-дацитовыми итнимбритами. В междуречье Лев. Мунikan — Скалистая развиты, главным образом, грубообломочные туры дацитового состава, реже наблюдаются итнимбриты дацитового и липарито-дацитового состава. Мощность толщи непостоянна и колеблется от 850 м в междуречье Мунikan — Скалистая до полного выклинивания к западу и востоку.

Итнимбриты кристалло-, порфири- и гиалокластические — серые и темно-серые породы с итнимбритовой, итнимбрито-пепловой и акмолитовой структурой основной массы. Иногда устанавливаются обломки пемзы-диабаза с характерными линзовидными формами и шамовидными концами. Кристаллокластический материал представлен оплавленными зернами кварца, плагиоклаза, роговой обманки, блютита, обломками андезитов и туров, акссесорные — цирконом, лейкоксном, апатитом. Липарито-дацитовые и дацитовые туры, как и туры андезитов, разделяются на грубо- и мелкобломочные, но отличаются от последних более светлой окраской.

Возраст толщи принимается позднемеловым на основании того, что она подстилается и перекрывается вулканитами с растительными остатками позднего мела.

**Т о л щ а и т н и м б р и т о в и т у ф о в л и-**  
парито-дацитового состава ( $\text{E}_{\text{K}_2}$ ) распространена в междуречье Мунikan — Коярика и в бассейне р. Селиктан, залегая согласно на толще итнимбритов и туров липарито-дацитового состава. Сложена она кристаллокластическим, порфирокластическим итнимбритами, турами, реже гиалокластитами липаритового состава. В толще отчетливо выделяется нижняя туровая часть и верхняя —

итниморитовая. В составе нижней части развиты преимущественно грубообломочные туфы, содержащие прослои пелитовых. Наиболее широки они распространены в междуречье Муникан - Коврика, где прерывистым полукольцом окаймляет вулкано-тектоническую структуру. Итнимориты верхней части толщи слагают обнажение вершины гор и во доразделах. Разрез толщи в междуречье Муникан - Коврика, составленный по коренным выходам следующий:

1. Туфы псевдогипсовые липаритового состава . . . . .	160 м
2. Пересялаивающиеся липаритовые псевдогипсовые и пелитовые туфы . . . . .	80 "
3. Пелитовые (псевдогипсовые, алевритовые, пелитовые) туфы с прослойками грубообломочных (псевдогипсовых, гравийных) туфов . . . . .	450 "
4. Итнимориты кристаллические липаритовые, в основании — простой алеврито-пелитовых туфов с остатками	
<i>Sequoia reichenbachii</i> (Gein.) Nees, <i>Serphalotaxopsis</i> ( <i>Metasequoia</i> ) sp. (?) . . . . .	600 "

Мощность разреза 1290 м.

В разрезе по р.Коврика нижняя часть толщи сложена переслаивающимися псевдогипсовыми, алевритовыми и пелитовыми туфами с обутившимися растительными остатками и отпечатками *Serpalo-taxopsis ex gr. intermedia* Holl. Выше залегают грубообломочные туфы, которые сменяются липаритовыми итниморитами. К юго-западу мощность турбогенной части толщи уменьшается и на правобережье р.Селиктан туфы составляют не более четвертой части общей мощности разреза, а основная масса толщи представлена итниморитами. Общая мощность толщи 1300 м.

Итнимориты липаритового состава — серые и темно-серые массивные породы порфировой структуры. Структура основной массы псевдогипсальная (итниморитовая), иногда сферолитовая. Так же, как и липарито-дацитовые, липаритовые итнимориты разделяются на кристаллокластические, порфирокластические и глиноитнимориты. Туфы липаритовых состоят из осколков итниморитов и туфов липарито-дацитового и дацитового состава, андезитов, вулканического стекла, кварца, калишата и шпатомолибдита, сцепментированных пеплом материалом.

Остатки ископаемой фауны, при殿堂ные выше, по заключению М.М.Комман, встречаются в верхнемеловых отложениях от сеномана до ранни.

#### СРЕДНЕЧЕТВЕРТИЧНЫЕ ОТЛОЖЕНИЯ

##### ЧЕТВЕРТИЧНАЯ СИСТЕМА

Среднечетвертичные отложения нерасчлененные ( $Q_{II}$ ) распространены на 15-20-метровых террасах в долинах рек Селиктан, Иргонда, Токум и Ними. Они представлены глиной, песком, галькой и валунами и имеют мощность 3-3,5 м. В них обнаружена пыльца ольхи, ольховника, эвзотического вида сосны (*Rhusia sp.1*) и испорченных вида дерев (*Betula sp.1*, *Betula sp.2*), встречающихся, по заключению Л.Л.Казачиной, в спектрах отложений не моложе среднечетвертичных.

#### Верхняя часть

Верхняя часть среднечетвертичных отложений ( $Q_{II}^2$ ) имеет легкое прояснение. Развиты они в средней и нижней частях долин правых притоков рек Селиктан, Муникан и по левым притокам р.Горы, где образуют морены в линиях долин мощностью до 5-10 м. Представлены они галечниками, валунами и щебнем с прибрежным дресном, гравием, суплинка и супесью. Остатки морены и отдельные эвзотические валуны размером 0,5-1 м в поперечнике были встречены также на левобережье р.Селиктан. Валуны представлены обломоками гранитами, южной стороны которых расположены в 20-25 км севернее, и являются остатками отложений наиболее древнего полупокровного оледенения, аналогичного Алланскому/9/. Палеонтологический спектр отложений, по мнению Л.Л.Казачиной, характеризует растительность не моложе среднечетвертичного периода.

#### Нижняя часть

Верхнечетвертичные отложения Нижняя часть верхнечетвертичных отложений ( $Q_{III}$ ) представлена аллювиальными галечниками, гравием, щебнем, валунами, суплинками и супесями на террасах высотой 8-10 м в долинах рек Селиктан, Токум, Иргонда и др. Состав отложений изменился. На дра-

Берега р. Селиктан преобладают валуно-гравийно-галечниковые образования с примесью песка, гальки и суглинка, а по р. Токум — сортированные галечники и пески с валунами в нижней части. Мощность отложений колеблется от 2 до 8 м. Комплекс пыльцы различных видов берес и широколистенных пород (орех, лещина, ильма, дуб, липа) позволил Л.Л. Казачкиной считать, что рассматриваемые отложения образовались, вероятно, в период погребения позднечетвертичного времени.

#### Верхняя часть

Верхняя часть верхнечетвертичных отложений (Q<sub>III</sub>) имеет аллювиальное и ледниковое происхождение. Аллювиальные отложения слагают террасу высотой 4–6 м. По составу они аналогичны образованиям 8–10-метровой террасы и также финально изменчивы. В долинах рек Селиктан и Лагап преобладают галечники, гравий и валуны с песчаником заполнителем. По р. Токум доминирует разнозернистые пески с проходами суглинка и глины. На террасе р. Ними преобладает валунный материал размером от 10–20 см до 1 м, что, видимо, связано с первичном широко развитых выше по долине среднечетвертичных ледниковых отложений. Мощность отложений колеблется от 3 до 6 м. В спирально-пильцевом комплексе преобладает пыльца хвойной (ель, союни), меньше бересовой растительности, что, по мнению И.Б. Мамонтовой, позволяет считать рассматриваемые отложения верхнечетвертичными, сформированными в период походления. С этим периодом связано горно-долинное и каровое оледенение и образование ледниковых отложений. Развиты они в верховых рек, берущих начало со склонов хребтов Ям-Алинь и Тыльский, и представлены валунами, щебнем, галькой и глыбами с неизвестной примесью щебня и гравия. Мощность отложений боковых морен достигает 60–80 м, рече 100–120 м, конечных – 20–30 м, долинных – 10–15 м. Комплекс пыльцы характеризует растительность хвойно-бересового леса периода погодания позднечетвертичного времени (заключение Л.Л. Казачкиной и И.Б. Мамонтовой).

#### Современные отложения

Современные отложения (Q<sub>IV</sub>) представлены пойменным и руслоным аллювием, широко распространенным в долинах рек и ручьев. Высокая пойма (2–3,5 м) сложена чередующимися слоями га-

лечников, валунов, песков, супесей и суглинков. Образования низкой поймы, косовой и русловой аллювиев представлены галечниками и валунами, часто перекрытыми маломощным слоем песка. Мощность их достигает 7,5 м. Палинологический спектр из отложений поймы характеризует растительность, похожую на современную.

#### Н е р а с ч л е н е н н ы е ч е т в е р т и ч н ы е о т л о ж е н и я (Q)

Нерасчлененные отложения представлены аллювиально-делювиальными и проливальными образованиями. Первые развиты на водоразделах и склонах гор и состоят из остроугольных глыб, щебня и дресвы с песчано-глинистым заполнителем. Проливальные отложения (конусы выноса в устьях мелких ручьев и распадков) сложены плохо окатанными глыбами, щебнем, дресвой с незначительной примесью песка и суглинка. Мощность отложений колеблется от 5–15 до 40–50 м.

#### ИНТРУЗИВНЫЕ ОБРАЗОВАНИЯ

По возрасту интрузии расположены на раннекембрийские, позднекембрийские и позднекембрийские и позднепалеозойские.

#### РАННЕКОМБРИЙСКИЕ ИНТРУЗИИ

Д а б а з и с у б у л к а н и ч е с к и е ( $Ч_1$ – $Ч_2$ ) образуют пять мегапластовых интрузий протяженностью 1–2 км среди вулканогенных и кремнистых пород Умланской синты в верховье р. Лагап и на правобережье р. Эльга. Наиболее крупная из них в верховье р. Лагап шириной до 600 м сложена диабазами, диабазы — ми порфиритами и представляет собой пластообразное тело среди кремнистых пород, расщепляющееся по простиранию и дающее апофизы во вмещающие породы. На контакте диабазов с вмещающими породами наблюдается узкая (5–10 см) зона закалки и уплотнения. По составу, характеру изменения и структурно-текстурным особенностям диабазы субвуликанических интрузий почти не отличаются от стратифицированных пластов лав. Раннекомбрыйский возраст субвуликанических диабазов определяется тем, что они пространственно и генетически связаны с вулканогенными образованиями нижнего кембра.

## ПОЗДНЕПАЛЕОЗОЙСКИЕ (?) ИНТРУЗИИ

Граниты лейкократовые ( $Urz_3$ ) образуют небольшой ( $10 \text{ км}^2$ ) массив в верховье р. Кама-Колт, вытянутый в северо-восточном направлении вдоль разлома, разделяющего никонекский и верхнелюрские отложения. Бывшие никонекские породы вдоль контакта ороговикованы, часто цальцированы гранитным материалом, окварцеваны, пиритизированы. Зона контакто-воздилененных пород на севере имеет ширину 300–600 м, а на юге и юго-западе – 1–1,5 км, что, вероятно, свидетельствует о полном погружении интрузивного тела в данном направлении. Полтвеждаются это и наличием мелких выходов рассматриваемых гранитов в 1,5 км к югу от массива  $X$ . Строение интрузива однородное; редко среди лейкократовых гранитов отмечается альбигравие и биотитовые разности.

Граниты лейкократовые — массивные, розовато-серые и светло-серые, среднезернистые породы с гранитовой или катакастической структурой. Составят они (в %) из калиевого полевого шпата — 60–70, кварца — 25–30, олигоклаза № 10–30 — до 5 и редких чешуек биотита. Аксессории представлены сфеном, апатитом, магнетитом; вторичные — серпентином, албитом, биотитом. Химические анализы гранитов приведены в табл. I (обр. 245).

Лейкократовые граниты прорывают нижнекембрийские образований, но не оказывают kontaktового воздействия на верхнепрарские отложения. В бассейне р. Салтыкан аналогичные граниты имеют абсолютный возраст 220 млн. лет, прорывают нижне-среднедевонские отложения и встречаются в гальке юрских конгломератов /31/. По этим данным возраст лейкократовых гранитов принимается условно

ПОДДЕМЕЛЬСКИЕ ИНВАЗИИ

А и л е з и т и с у б в у л к а н и ч е с к и е (мак) слагают небольшой шток на правобережье р.Верх.Тонги и ряд дальнебородых гелей в верховье р.Каменской, наибольшее из которых

Мелкие выступы гранитов в южных горах

боя, широкена, кварца. Андезиты суювильянские по своим структурно-текстурным особенностям почти не отличаются от покоренных разностей.

Позднемеловой возраст сформулирован андезитов обосновывается тем, что они генетически связаны с покровными андезитами, возраст которых установлен по остаткам ископаемой флоры.

вие дюоритов не подтверждено и не подтверждено пока что ни один из породных типов (включая  $K_2$ ?). Несколько субъективных массивов кварцевых дюоритов и кварцевых дюоритовых породных типов закартировано в бассейнах

**рек Тобол-Урах и Тонум.** По площади распространения здесь преобладают кварцевые диоритовые порфириты, которые, учитывая неизменный эрозионный срез, представляют, видимо, краевую fazию неокрепших диоритовых массивов. Ближайшие породы представлены верхнедунскими отложениями и вулканическими среднего состава, сильно перогипсованными.

На левобережье р. Тонум массивы площа́ди  $10 \text{ км}^2$  в центральной части сложен крупнозернистыми кварцевыми диоритами, переходящими ближе к контакту в среднезернистые, а в зоне эндоконтакта — в кавернозные диоритовые порфириты. Ширина выхода последних  $100\text{--}200\text{м}.$

прослежено по простиранию на 2-2,5 км при мощности 50-100 м. Кроме того, к обнажениям отнесены андезитовые автобреекии и агломератовые трубы, выполняющие вулканические жерновины. Наконец, более детально изученная жерловина в верховье р. Каменистой имеет размеры 450×250 м и вытянута в северо-восточном направлении. В ее юго-западной части развиты автомагматические брекции, а в северо-восточной — агломератовые трубы, пересеченные симметричными дайками кругоподковой интрузивной kontakt. На левобережье р. Инерагда жерловина палеовулкана, сложенная андезитами и дегидратоми автобреекиями, прорвана кругоподковым галом кварцевых

Таблица I

## Химический состав

математических пород

№ образца

Возраст, индекс

Порода

состав в вес. %

№ образца	Возраст, индекс	Порода	Содержание				
			SiO <sub>2</sub>	TiO <sub>2</sub>	Al <sub>2</sub> O <sub>3</sub>	Fe <sub>2</sub> O <sub>3</sub>	
I	2	3	4	5	6	7	
			8	9	10	11	12
					13	14	15
					16	17	18
							19

246	γPz <sub>3</sub>	Гранит лейкократовый	75,37	0,19	12,37	0,19		2,02	0,06	0,18	0,51	3,84	4,80	-	0,02	0,49	0,24	100,28	-
1466-2	δK <sub>2</sub>	Диорит (габбро-диорит)	41,84	0,52	4,47	2,80		-0,05	0,20	33,51	3,05	0,58	0,24	-	0,14	1,97	0,22	99,59	0,04
2475	γK <sub>2</sub>	Оливинит диоритовский	42,13	0,55	4,18	2,96		-0,09	0,18	33,46	2,87	0,56	0,25	0,15	0,03	2,19	0,11	99,71	0,02
3063	γK <sub>2</sub>	Гранодиорит-биотит-рого- вобоманковый	66,08	0,56	15,81	1,81		2,16	0,07	1,73	3,77	4,20	2,31	-	0,19	0,31	0,27	99,27	-
3079	γK <sub>2</sub>	То же	65,47	0,60	16,12	1,79		2,35	0,06	2,06	4,21	4,40	2,39	-	0,21	0,39	0,17	100,22	-
4218	γK <sub>2</sub>	"	67,03	0,55	16,16	0,42		3,14	0,07	1,17	3,77	3,46	3,44	0,01	0,09	0,65	0,08	100,09	-
4217т	γK <sub>2</sub>	"	64,72	0,55	15,02	0,09		6,78	0,13	1,44	3,80	3,26	2,80	0,01	0,14	1,66	0,08	100,48	-
Л-125	μλK <sub>2</sub>	Литпакт из экструдированного култала	77,56	0,19	12,26	0,82		0,61	0,04	0,32	0,93	2,10	4,22	-	0,03	0,61	-	99,69	-
4822	μλK <sub>2</sub>	То же	72,55	0,21	12,90	0,35		3,84	0,07	0,41	1,20	3,68	4,00	0,02	0,08	1,03	0,06	100,40	-
4265	μλK <sub>2</sub>	"	72,57	0,21	12,31	-		4,74	0,07	0,46	1,16	3,42	3,96	0,10	0,09	1,24	0,15	100,48	-
4066а	γ'K <sub>2</sub>	Гранит роговообманковый	72,0	0,25	13,29	0,18		3,76	0,07	0,23	1,49	3,80	4,00	-	0,08	1,20	0,10	100,45	-
Л-124	γ'K <sub>2</sub>	То же	73,36	0,20	14,04	0,77		0,93	0,05	0,37	1,45	4,00	4,10	0,01	0,01	0,37	-	99,66	-
Л-123	γ'K <sub>2</sub>	"	73,17	0,23	13,95	0,92		0,88	0,05	0,37	1,42	4,00	4,10	0,02	0,06	0,51	-	99,68	-

Продолжение табл. I

№ образ- па	Числовые							а.с.	Q			
	a	c	b	s	a'	c'	r'					
20	21	22	23	24	25	26	27	28	29	30	31	32
246	I4,8	0,6	2,4	82,2	-	I,8	86,0	I2,2	54,9	0,2	6,5	26,7
I466-2	I,3	I,8	57,6	39,3	-	2,2	I7,2	80,6	78,6	0,9	3,4	0,7
2475	I,3	I,6	57,6	39,5	2,I	I7,4	80,5	77,3	I,0	3,6	0,8	-25,9
3063	I2,6	4,3	6,8	76,3	4,3	53,2	42,5	73,4	0,6	22,4	2,9	22,9
3079	I3,I	4,3	8,1	74,5	II,1	46,5	24,4	73,6	0,68	18,6	3,1	I8,7
4218	I2,5	4,5	5,6	77,4	2,4	62,2	35,4	60,4	0,6	42,6	2,8	25,I
4217г	II,4	4,4	9,4	74,8	2,9	7I,4	25,7	63,6	0,6	0,7	2,5	22,4
J-125	I0,6	I,I	4,9	83,4	65,4	25,3	9,3	43,0	0,2	12,4	4,7	45,4
4822	I3,5	I,4	4,7	80,4	8,0	78,3	I3,7	58,9	0,2	6,8	9,5	32,5
4265	I2,8	I,4	5,7	80,I	8,4	77,6	I4,0	57,0	0,2	-	9,0	33,2
4066а	I3,8	I,8	4,0	80,4	9I,7	8,3	59,2	0,2	3,3	8,I	29,4	
J-124	I4,5	I,7	2,5	8I,3	I3,5	62,2	24,3	59,6	0,2	64,9	8,5	3I,9
J-123	I4,4	I,7	2,5	8I,4	7,9	65,8	26,3	59,6	0,2	3I,5	8,5	32,0

Кроме описанных, в междуречье Миня — Немы и в нижнем течении р. Уксия закартированы небольшие массивы кварцевых диоритов и кварцевых диоритовых порфиритов общей площадью 15 км<sup>2</sup>. С интрузиями кварцевых диоритов связаны линзы диоритовых и кварцевых диоритовых порфиритов, широко распространенные среди верхнедиоритовых и вулканитов среднего состава.

Габбро и габбро-диориты образуют небольшой (10 км<sup>2</sup>) массив в верховье р. Лаган, вытянутый в северо-восточном направлении. Вмещающие интрузии вулканическо-кремнистые породы нижнего кембрия претерпели kontaktовый метаморфизм в зоне шириной 500–700 м. В центральной части массива наблюдаются ксенолиты имендующих пород, выделяющиеся о небольшом его эрозионном срезе. Строение массива неоднородное. Габбро и габбро-диориты перемежаются между собой, являясь фациальными разностями. Близким массивам установлено несколько линз габбро-диоритов. Наиболее удаленная из которых в верховье р. Митакан имеет мощность 150 м и протяженность северо-2 км.

Кварцевые диориты — серые и темно-серые массивные среднекрупнозернистые породы призматической зернистости или гипидоморфной зернистости структуры. Состав они (в %) из шпатомикэза — 50–70, зеленой роговой обманки — 20–30, калиевого полевого шапата — единичные зерна, кварца — 10–12, биотита — 1–7 и иногда редких зерен пироксена. Аксессории представлены апатитом, сфеноидом, рулем. Кварцевые диориты имеют отчетливую порфировую структуру с аллотриоморфной зернистостью, либо призматическая зернистость основной массой. По составу они идентичны кварцевым диоритам.

Габбро — массивные среднезернистые темно-зеленые породы габбровой, габбро-оббитовой структуры. Они сложены (в %) шпатомикэзом 60–70, моноклинным пироксеном — 10–20, роговой обманкой — 15–20. Аксессорные минералы представлены сференом, апатитом, рулем. В габбро-диоритах существует диорит (до 10%). Комплекс аксессорных такой же, как и в габбро. Химический состав диоритов и габбро отражен в табл. I (обр. I.466-2, 2475).

Возраст кварцевых диоритов принимается позднемеловым: они прорывают позднемеловые осадочные породы и верхнемеловые андезиты, а сами прорваны биотит-роговообманковыми гранитами и биотит-роговообманковыми гранодиоритами с абсолютным возрастом соответственно 56–58 и 74–84 млн. лет.

Гранодиориты биотит-роговообманковые ( $\text{U}_{\text{K}_2}$ ) образуют несколько массивов и восточного состава липариты имеют интрузивные контакты, а юга и вост-

чаются в виде ксенолитов среди порфировидных гранитов. В бассейне р. Коврика установлено северо-западное окончание (площадь 15 км<sup>2</sup>) крупного массива гранодиоритов (Огунского), который проявляет верхнедевонские и нижнекорские (?) отложения. Последние ороговыводятся в орёле шириной от 300–400 до 1500–2000 м. Массив сложен среднезернистыми гранодиоритами, которые в эндоконтакте постепенно сменяются гранодиорит-порфиритами, образующими полосу шириной не более 100 м. Неоднократно солнечных тел гранодиоритов закартировано в бассейнах рек Тонум и Топ-Урак. Они представляют собой, по-видимому, аникальные части вскрывающегося эрозией единого массива, вытянутого в северо-восточном направлении от верховьев р. Эльты до р. Иргида. Вмещающие породы (верхнедевонские отложения, вулканиты среднего состава, кварцевые диориты) вдоль восточного контакта интрузии оро-выводятся в орёле шириной 2,5–3 км, вдоль северо-западного до 500–600 м. В центральной части выходов размыты среднезернистые гранодиориты, переходящие в эндоконтактах в мелкозернистые. В верховых рек Немя и Лашкалах установлены ксенолиты гранодиоритов размером 2–3 км<sup>2</sup> среди порфировидных биотит-роговообманковых гранитов.

Гранодиориты — серые массивные среднекрупнозернистые породы, состоят (в %) из андезина — 40–60, калиевого полевого шапата — 5–20, кварца — 20–25, роговой обманки и биотита; аксессории: апатит, сферен, циркон. Химический состав гранодиоритов приведен в табл. I (обр. 3063, 3079, 4217-г, 4218).

Возрастное положение гранодиоритов определяется тем, что они прорывают позднемеловые осадочные отложения, верхнемеловые вулканиты и, в свою очередь, разрушают позднемеловыми биотит-роговообманковыми порфировидными гранитами. Абсолютный возраст гранодиоритов из верховьев р. Лашкалах и массива по р. Коврика-Немя равен 75–84 млн. лет и подтверждает позднемеловое время их формирования.

Липариты субвуликанические ( $\text{U}_{\text{K}_2}$ ) образуют крутые тела в верховых рек Тором, Мал. и Прев-Бурага, Лашкалах и более мелкие тела в верховых рек Инарагда и Солола, длиной до 1 км. Согласно с гранитами кручу гнейсистую структуру северо-восточного направления в центральной части Торомского горного прогиба. Другое липаритообразное тело липаритов площадью более 100 км<sup>2</sup> установлено у восточной границы рассматриваемой территории. На юге и западе с имеющимися гнейсами и гнейсогранитами клю-  
51

тоге от девонских отложений они отделены разломами. Строение лакколита, по-видимому, простое. Центральная часть его сложена наиболее раскристаллизованными липаритами, содержащими до 80–85% вкрапленников с правильными кристаллографическими очертаниями. В краевой части лакколита липариты характеризуются меньшей степенью раскристаллизации основной массы. Вкрапленники составляют лишь 20–30% породы и представлены исключительно кварцем. Характерной особенностью субвуликанических липаритов является также столбчато-призматическая отдельность, перпендикулярная контактам субвуликанического тела. Аналогичное строение имеет лакколит, расположенный в бассейнах рек Тором и Лапшак. К северу от него, в бассейне р.Лев.Лапшак, сохранились лишь фрагменты крупного лакколита, уничтоженного интузий гранитов. Кроме того, субвуликанические липариты встречаются в верховых рек Инаригия и Саги, где они прорваны порфировидными гранитами и сохранились в виде небольших разрозненных останцов. Возможно, что крупные тела субвуликанических липаритов имеют сложное строение и состоят из нескольких более мелких интрузии. К субвуликаническим относены также липариты экструдиных куполов на правобережье р.Сылткан и по р.Бол.Тонум. По своим структурно-текстурным особенностям они не отличаются от субвуликанических разностей. Экструдиный купол на правобережье р.Бол.Тонум размером 2,5x1,6 км сложен однообразными в равной степени раскристаллизованными липаритами. Контакты их с вышележащими вулканитами интузиев, падают к центру купола под углом 50°.

В верховье р.Каменистой в экструдиющем куполе размером 1,6x1,1 км андоконтактовая часть сложена мелковкрашенниками липаритами, имеющими ширину выхода от 20–30 до 100–200 м и постепенно переходящими в средневкрашенниковые и крупновкрашенниковые липариты центральной части купола. Контакт липаритов с вышележащими липаритами липарито-дацитового состава интузиевый неровный, с многочисленными апофизами. Экструдиный купол (3,5x1,5 км) довольно сложно сложен и закартирован на левом берегу р.Инарагда. Сложен он преимущественно флюидальными липаритами, прорванными трещинами телами автомагматических брекчий. Последние представляют собой породы, состоящие из 70–80% изостроупотных обломков пород фундамента и вулканитов, сцепленных липаритовой лавой. Шарины трещин, выполненных аносиритами, простираются 8–10 м. Породы купола интенсивно окваркованы, кальцитизированы и прититированы. Несколько липаритовых куполов установлено в междууречье Сололы – Инарагда. Большинство из них имеет простое, однородное строение; в некоторых в андоконтактах.

также наблюдается полоса мантийных бреекий шириной до 5–10 м. Субвуликанические липариты и липариты экструдиющих куполов массивные светло-серые породы порфироидной структуры. Вкрапленники (30–85% объема породы) представлены (в %): кварцем – 30–80, калишпатом – 10–30, платиклазом – 10–60, биотитом – 5–10. Структура основной массы фельзитовая, реже аллитроморфозернистая и микропойкилитовая. Аксессории представлены орбитом, цирконом, магнетитом. Химический состав липаритов приведен в табл. I (обр. № 125, 4265, 4822). Формирование вулканитических липаритов предполагается в позднем мету на основании того, что они прорывают покровные верхнемеловые эфузивы липаритового состава и, в свою очередь, рутируются позднемеловыми гранитами. Абсолютный возраст липаритов равен 82,5 млн. лет.

**Б М О Т И Т – Р О Г О В О О Б О Б И К О В И Е, О И О Т И-**  
то ви е п о р ф и р о в и д н ы е г р а н и т ы и р о-  
т о в о о б м а н к о в и е с р е п и н е з е р н и с т и е  
г р а н и т ы (Г2) сомкнуто с гранодиоритами образуют крупную трещинную Тонум-Огненскую интузию шириной 6–12 км, которая прослеживается от верховьев р.Инарагда до р.Онган на расстоянии 65 км. Обнажается она среди нижнемеловых осадочных и верхнемеловых вулканитов пород в приводораздельной части хребта Селемджинский и Тылский, фиксируя, очевидно, смешанный несолько к юго-востоку от осевой линии Торомского протиба мощный развал фундамента, неоднократно используемый матом при формовании позднемелового интузиально-вулканического комплекса. Эрозионный срез интузии незначительный, о чем свидетельствуют большое количество выходов мелких тел вблизи основного массива. Прорванные структуры гранитов, значительные по площади остатки крови, сложенные вулканитами. Судя по конфигурации контактов интузии и ширине орболов контактного изменения, она наклонена, по-видимому, на юго-восток. Аэромагнитная аномалия в верховье р.Онган, пространственно совпадающая с выходами порфироидных гранитов, постепенно затухает к юго-востоку, что указывает на полное погружение интузии под субвуликанические липариты, которые практически намагниченны. К северо-западу же наблюдается резкое скачкообразное уменьшение интенсивностимагнитного поля, свидетельствующее о крутом залегании северо-западного контакта интузии. Большая часть выхода сложена однородными порфироидными гранитами. Лишь вблизи контакта с вмещающими породами количество и размер порфироидных выделений резко возрастают, а "основная" масса их становится более мелкозернистой.

Кроме трещинной Тонум-Онганскои интрузии, биотит-ротово-обманковые и биотитовые граниты образуют несколько мелких массивов, расположенных в основном у западной границы площади листа. Два наиболее крупных из них, общей площадью 20 км<sup>2</sup>, в Междуречье Иргита - Тонум разделены лишь узкой (1-1,5 км) полосой ороговикованных нижнекембрийских пород и являются, видимо, выходами одногого интрузивного тела. Сложенны они биотитовыми гранитами, перехолющими в краевой части в плагиограниты. Массивы втянуты в меридиональном направлении, окружены широким (1,5-2 км) ореолом контактово-измененных пород и резко дикорандиты по отношению к складчатым структурам вмещающих пород. С биотит-ротовообманковыми гранитами связан комплекс лайковых пород, представленных гранит-порфирями, биотитовыми и амплиевидными гранитами.

Ротовообманковые среднезернистые граниты образуют массив в Междуречье Муникан - Каменистая площадью около 25 км<sup>2</sup>. Вмещающие породы (липарито-диатитовые итникобриты и туфы) в зоне экзоконтакта интенсивно биотитизированы и окварцированы. Вдоль ржного контакта ширина контактово-метаморфизованных и гипотермально-измененных пород типа вторичных кварцитов достигает 5000 м. У северо-западного контакта, большей частью тектонического, зона контактово-измененных пород не превышает 200 м. Массив сложен среднезернистыми гранитами, в эндоконтактовой части - порфиро-измененными. Две небольших (менее 1 км<sup>2</sup>) масивы и лайковобразное тело ротовообманковых гранитов установлены на правобережье р. Селиктан. С ротовообманковыми гранитами связан олово-полиметаллическая минерализация, проявления которой описаны в главе "Полезные ископаемые".

Биотитовые и биотит-ротовообманковые граниты - светло-серые, розовато-серые, средне- и яркоузернистые породы порфировидного сложения. Структура их гипидиоморфозернистая, гранитовая. Состоят граниты (в %) из камлевого полевого шпата - 30-50, плагиоклаза - 15-30, кварца - 20-25, биотита - 5-10, ротовой обманки - 5-10. Аксессории - апатит, орбит, циркон, сфен, магнетит.

Ротовообманковые граниты - розовато-светло-серые среднезернистые породы. Структура их гранитовая порфировая с микропегматитовой и сферолитовой структурами основной массы. Состоит они (в %) из кварца - 25-35, камлшата - 40-50, плагиоклаза - 10-15, ротовой обманки - 6-10, биотита - 2-3. Аксессории представлены орбитом, апатитом, сфеном, зилитом, цирконом. Химический состав гранитов приведен в табл. I (ообр. 4066а, Л-124, Л-123).

Кроме трещинной Тонум-Онганскои интрузии, биотит-ротово-обманковые и биотитовые граниты не установлены из-за их пространственной разобщенности. Условие формирования их относится к одной фазе, хотя между ними имеются различия в минералогическом составе, структуре и металлогенической специализации.

Биотит-ротовообманковые и ротовообманковые граниты прорывают позднемеловые вулканиты, абсолютный возраст их 68-72,5 млн. лет что соответствует позднему мелу.

## ТЕКТОНИКА

Территория листа №-53-ХII характеризуется складчато-блоковой структурой длительного и сложного развития. Согласно последней "Схеме структурного районирования Хабаровского края и Амурской области" под ред. В.В. Оникимовского (1969) северо-западная часть площади относится к Дигдинскому горст-антклиниорию, восточная - к Тугурскому грабен-антиклиниорию, юго-восточная - к Амгинскому синклиниорию, центральная и юго-западная - к Торомскому наложенному противу и Селиктанской вулканической зоне. На территории листа развиты раннепалеозойские, среднепалеозойские, позднепалеозойские, раннерифейские, позднерифейско-раннемеловые складчато-блочные структуры и позднемеловые вулкано-тектонические постройки Селиктанской вулканической зоны (рис. 3).

Раннепалеозойские структуры и сло-женны вулкано-кремнисто-терригенными образованиями ультрадан-ской смыти. С окружающими породами они в основном имеют тектонические контакты и лишь в бассейне р. Эльга и по р. Тонум перекрыты верхнедевонскими отложениями. Эти структуры представлены рядом линейных складок северо-восточного направления, прорваных позднепалеозойскими (?) и позднемеловыми интрузиями и осложненных разрывными нарушениями. Линейные складки образуют Тонум-Иркутский антиклиналь, прослеженную более чем на 50 км от р. Тонум до северной границы территории листа /26, 41, 42/. Ширина антиклинали 12-15 км, края ее срезаны крутыми разрывными нарушениями. На северо-западном крыле структуры, в приосевой ее части, в грабене обнажаются первые и частично нижне-среднедевонские отложения. Близи границы с Торомским противом, на юго-восточном крыле Тонум-Иркутской антиклинали, в небольших олоках выходят среднедевонские и среднедевонские ображения. Центральная часть антиклинали сложена вулканогенно-кремнистыми, кремнистыми и терригенно-карбонат-

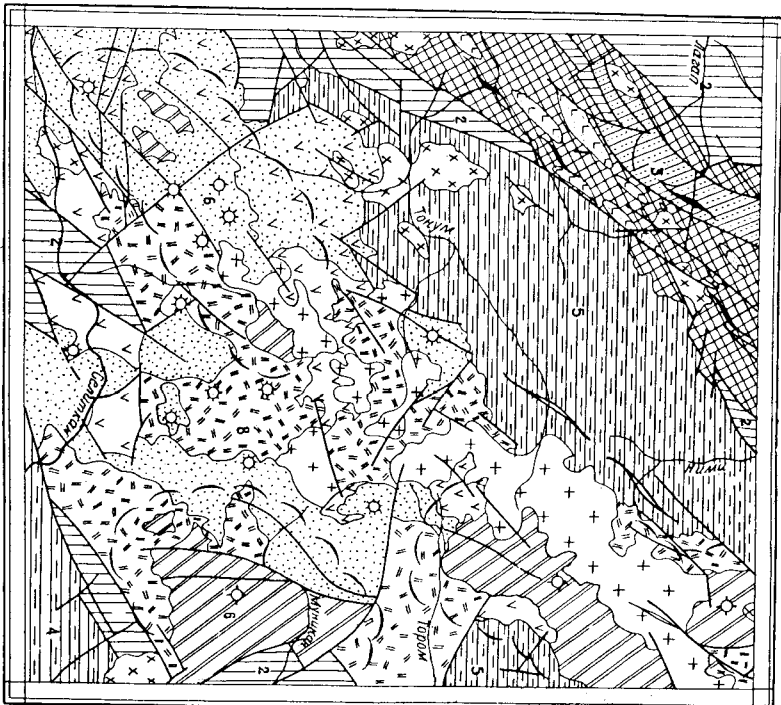


Рис. 3. Геолого-структурная схема.

Масштаб 1:500 000

Палеозойские структуры: 1 - раннепалеозойские, 2 - средне-палеозойские, 3 - позднепалеозойские. Мезозойские структуры: 4 - раннекорские, 5 - позднекорские-ранненемеловые, 6-13 - позднемеловые вулкано-тектонические структуры и фации Селиванской вулканической зоны; 6 - структуры проседания (кальдеры), 7 - эфузивная фация; 7 - андезиты, 8 - лимониты, 9 - туфы: а) среднего состава, б) кислого состава; 10-11 - жерловая и субвулканическая фации; 10 - липариты субвулканические и экструзивных куполов, 11 - вулканические аппараты; 12-13 - гипабиссальная толща; 12 - кварцевые диориты и гранодиориты, 13 - граниты Токум-Онганская третичной интрузии. Прочие знаки: 14 - основные разрывные нарушения; 15 - оси основных антиклиналей; 16 - оси основных синклиналей; 17 - эфузивы основного состава в нижнекорских образований; 18 - органогенные постройки раннего кембрия.

ними фосфатноносными породами ультгданской смыти. Простижение структуры северо-восточное ( $50-55^{\circ}$ ), углы падения слоев на юго-запад  $50-80^{\circ}$ . Линейность ее подчеркивается параллельным расположением горизонтов железных руд и вулканитов, прослеживающихся, по данным аэромагнитной съемки, от 2-3 до 10-15 км, а также за-лекой фосфоритов, известняков и микровариатитов, протяженностью до 2-4 км /42/. Тонку-Ирская антиклиналь осложнена складками второго и более высоких порядков. Такие складки шириной от 50-100 до 500-1500 м установлены на обоих крыльях структуры; осо-бенно часто они в профильной части антиклинали по рекам Верх. Лагап, Ир-Макит, по ручьям Второй и Третий. Часто непосредственно в обнажениях наблюдаются мелкие складки шириной от 0,5-1 до 10-105 м. Осевые линии их обычно совпадают с направлением более крупных складок, хотя иногда они имеют и другую ориентировку, особенно в пачках кремнистых пород, для которых характерны слож-ные листармоничные складки (веерообразные, остроугольные, изо-климатные и т. д.), флексурные перегородки, а иногда и плоскогратость. Широко развиты также бушиналь-структуры.

Среднепалеозойские структуры, расположенные в бассейнах рек Лагап, Иликан и Иргита, сложены керченскими терригенными отложениями. Предполагается, что в пре-делах площасти листа они образуют юго-восточное крыло крупной Лагапской синклиналии, которая в прошлом она сопряжена с Тонум-Ирской антиклиналью. Косвенно это подтверждается наличием сред-

нелевонских пород с расщепленным петротом в тектонических бло-ках среди раннепалеозойских структур и к юго-востоку от них. Ширина закартированной части Лагапской синклиналии около 10 км, падение пород  $50-70^{\circ}$ . Крыло структуры осложнено складками вто-рого и более высоких порядков и серияй различных нарушений. На правобережье р. Лагап наблюдались две нарушенные разрывами нор-мальные синклинальные складки шириной около 4 км, осложняющие

структурную первую порядка. Во всех толщах в пределах Лагап-ской синклинали установлена серия складок шириной от 100-200 до 500-600 м, а в пачках тонкого переслаивания песчаников с глини-стами и кремнисто-глинистыми сланцами фиксируются более мелкие ( $1-10$  м) антиклинальные и синклинальные складки (симметричные, наклонные и т. д.). Простижение складок северо-восточное, не отличается от простижения раннепалеозойских структур.

Среднепалеозойские отложения в бассейне р. Иргита, судя по многочисленным замерам элементов залегания и материалам по сопредельной территории /32/, образуют окончание крупной син-

клинальной складки северо-восточного простирания шириной 8–10 км. Крылья ее сложены средне-девонскими отложениями, а мульда средней – верхнедевонскими. Складка осложнена разрывами северо-восточного и широтного направлений. В разрезе по р. Галам установлено спокойное залегание пород на крыльях девонской структуры с углом падения 60–70° /32/. Ближе к центру синклинала углы падения пород увеличиваются до 80–85°. В ядре ее фиксируются мелкие антиклинальные и синклинальные складки шириной 300–500 м с крутыми (до 90°) углами падения крыльев. В целом складчатость здесь менее интенсивная, чем в среднепалеозойских отложениях бассейна р. Лагап.

Среднепалеозойские структуры Тугурской структурно-фацальной зоны распространены на незначительной площади у восточной границы площасти листа и в блоках по рекам Кордига и Селикан. Они представляют здесь юго-западное окончание среднепалеозойских структур, протягивающихся в восток-северо-восточном направлении через всю территорию соседнего с востока листа /18/. На расстоянии 10 км от территории эти структуры вблизи границы листа обрезаются серией различных нарушений, по которым они граничат с позднемеловыми вулканиками. Элементы залегания указывают на выдержанное восток-северо-восточное, близкое к широтному, простирание (70–80°) и преобладающее падение пород на юго-восток. Структуры осложнены складками второго порядка шириной 300–400 м с углами падения 60–70° и более мелкими узкими (2–10 м) складками. Широко развиты также буднико-структурные и разрывная тектоника.

Позднее палеозойские структуры сложены пермскими образованиями, обнавлившимися в узком (2–4 км) грабене среди инженеморийских отложений. Они имеют близкое скамбрийскими и девонскими структурами простирание (30–40°), одинаковый характер складчатости и прослеживаются от р. Лев. Иликан до р. Ир на расстоянии 24 км, образуя фрагмент сложной антиклинальной складки, у которой полностью срезано юго-восточное крыло и частично юго-западное /25/. Структура осложнена серией складок второго порядка шириной 100–500 м. Складки прямые, обычно симметричные, с падением крыльев 60–70°. Они, в свою очередь, часто осложнены различными по форме складками более высоких порядков шириной 25–50 м.

Раннероссийские структуры в юго-восточной части территории листа представлены северо-восточным крылом крупной синклинальной складки, мульда которой закартирована на сопредельном с юга листе /13/. Крыло этой структуры сложено линей-

ными сопряженными антиклинальными и синклинальными складками шириной 200–500 м и складками более высоких порядков, наблюдаемыми непосредственно в обнажениях. Ширина последних изменяется от 0,5–1 до 10–30 м. По форме они симметричные, асимметричные, остроугольные, реже ступичные. В пачках существенно глинистых пород часто наблюдаются узкие изоклинальные, иногда запрокинутые к северо-востоку складки. Углы падения их крыльев крутые (60–85°). Широко развиты также буднико-структурные.

Позднероссийские и раннемеловые

структуры представлены северо-западным крылом Тонум-Торомской синклинали, прослеживающимся в северо-восточном направлении из бассейна р. Ирнита до р. Дикала. В бассейнах рек Мал. и Больш. Бургала установлен фрагмент противоположного юго-восточного крыла (центральная и юго-восточная части структуры перекрыты верхнемеловыми вулканиками). Длина синклинали в пределах территории листа около 60 км, ширина, с учетом перекрытой части, почти 40 км. Структура осложнена разрывными нарушениями, ограничивающими ее с запада и северо-запада; юго-восточнее осевой линии синклиналь нарушена крутным расколом, залеченным трещиной Тонум-Донганской интрузии гранитоидов. В поперечном сечении синклиналь имеет вид слабо вогнутой мульды с относительно крутым (15–20°) падением слоев на сортах и почти горизонтальным залеганием в центральной ее части. На аэрофотоснимках видно как горизонты светло-коричневых песчаников в верхнедевонских отложениях и слой нижнемеловых пород моноклинально падают на юго-восток у борта структуры под углом 15–20°, реже 25–30°, выпадая к центру ее до 10–5°. В обнажениях также наблюдается моноклинальное падение пород.

Позднемеловое вулкано-тектоническое строение сложено эфузивами северо-восточного окончания Селиканской вулканической зоны. С более древними образованиями они в большинстве случаев имеют тектонические контакты и образуют несколько довольно сложных вулкано-тектонических построек.

В междууречье Мунгак – Кордига расположены вулкано-тектоническая депрессия размером 22×10 км, вытянутая в северо-восточном, близком к меридиональному, направлению. К центральной ее части приурочено лакколитообразное тело субвулканических лифтов. Во внутренней части последнего флюидальность лифиров имеет падение к юго-юго-востоку под углом 50–70°. При удалении от центра структуры в северо-западном направлении на 4–5 км углы падения флюидальности постепенно выполняются до 30–20°

и в периферийской части ее липариты согласно залегают с имеющимися липаритовыми покровами фациами, наклоненными к востоку и юго-востоку под углом 10–20°. Окрайная часть структуры в верховых рек Муникан и Сэти, осложнена положительной интрузивно-вулканической структурой, к ядру которой приурочена гранитная интрузия. В междуречье Коуджа – Муникан депрессия осложнена многообразными разрывами, по которым происходило ступенчатое обрушение отдельных блоков вулканитов в центральной части кальдеры.

В северо-восточной части территории листа установлены фрагменты двух вулкано-тектонических структур, уничтоженных большей частью гранитной интрузией. Сохранившаяся центральная часть первой из них, удлиненная в северо-восточном направлении, сложена субвуликаническими липаритами, редкие замеры флюидальности в которых указывают на лаккотитообразную форму слагаемого ими субвулканического тела. Периферическая часть рассматриваемой структуры к востоку и югу сложена андезитами и гипабиморфами кислого состава и рассечена многочисленными разрывами северо-восточного и северо-западного направлений. Фрагмент другой вулкано-тектонической структуры, видимо, аналогичной вышеописанной, расположеннее. Внутреннее строение ее осталось невыясненным.

Повольно южная вулкано-тектоническая депрессия шириной 16–20 км на правобережье р. Селиткан находится на юго-западном продолжении трещинной интрузии гранитов и сложена в основном липаритовыми туфами, реже гипабиморфами. Слоистость в туфах и псевдообнаженность в их нимбах на бортах депрессии ориентированы поперечу друг другу под углом 10–20°. Непосредственное продолжение раскола, выполненного к северо-востоку гранитами, здесь контролируется четырьмя антиузовыми куполами и лавами телами субвуликанических липаритов. Северо-западная часть структуры сложена андезитами и их туфами с относительно выдержаным падением на юго-восток, к центру вулкано-тектонической депрессии. Периферическая часть к юго-западу от центра структуры сложена туфами, липарито-липаратовыми гипабиморфами и андезитами с падением на северо-запад под углом 10–15°. Вулкано-тектоническая структура осложнена разрывами нарушенными северо-восточного и широтного направлений, по которым происходило ступенчатое проседание отдельных блоков.

Среди разрывных нарушений, осложняющих складчатые структуры, выделяются северо-восточные и северо-западные, реже широтные и субширотные. Северо-восточные разрывы, согласно с ранне- и среднепалеозойскими складчатыми структурами, яв-

ляются наиболее протяженными и, вероятно, наиболее крупными по амплитуде вертикальных перемещений. В последующие эпохи они неоднократно обновлялись, в результате чего ими оказались затронуты все образования, включая позднемеловые вулканиты и граниты. Особенно интенсивными были движения по этим нарушениям в последнемеловое время вплоть северо-западной пограничной зоны Томского прогиба. Здесь устанавливается сложная система крутых сопряженных разрывов и серии сопряженных трещин, протягивающихся от р. Иргиза до р. Нимы и рассеченных нарушениями северо-западного направления.

Юго-восточная пограничная зона Томского прогиба и Селиктанской вулканической зоны фиксируется также системой крупных, почти параллельных разрывов с серией сопряженных оперяющих трещин, протягивающихся от восточной рамки листа по р. Селиткан. Далее к западу почти параллельно южной рамке листа они проходят на соседней с ней территории /13/. Эти разрывы, разделяющие вулканогенные образования, девонские и нижненерские (?) осадочные отложения,ющей частью хорошо дифференцируются на аэрофотоснимках, контролируются зонами гидротермально-измененных, обтекиранных, миллинизованных и рассланцованных пород, а также вдоль юго-восточной границы протягаются антиутяты в северо-восточном направлении телами малых интрузий гранит-порфиров и липаритов. Ширина зон измененных пород колеблется от 100–300 до 700–1200 м. Судя по сланцеватости в миллинизованных и рассланцованных породах, плоскости смещителей разломов падают на северо-запад (320–350°) под углом 80°.

Разрывные нарушения северо-восточного направления среди верхнедорских, нижнекемальных осадочных отложений и верхнекемальных вулканитов, в отличие от разрывов по бортам Томского прогиба, при значительной протяженности (15–20 км) контролируются обычно маломощными зонами измененных пород и характеризуются небольшими амплитудами вертикального перемещения, не превышающими, видимо, первую сотню метров.

Глубинный раскол в центральной части Томского прогиба, контролировавший в позднемеловое время молодую вулканическую интрузию, контролируемую лягушкообразной формой, прослеживается от р. Окташ до р. Селиктан по сопряженным движением более чем на 50 км. Отражением разрывов и оперяющих трещин, в кровле Тоту-Онганской интрузии, контролирующихся зонами гидротермально-измененных гранитов и эфузивов. Граниты в пределах зон окварцований, обожжены, серни-

тизированы, местами превращены в трещины, содержат кианит, пирита, магнетита, молибдена.

На левобережье р.Мунikan находятся три сопряженных разлома, расходящиеся веерообразно к юго-западу и югу в виде дугобразных линий протяженностью 25–30 км. Контролируются они трешиноватыми, просленными и гидротермально-измененными породами, часть с итепсивным окварцеванием и пригипсацией.

Разные нарушения северо-западного и близлежащего направлений в пределах развития палеозойских отложений в северо-западной части территории листа обычно невелики по протяженности (5–10 км) фиксируются маломощными зонами дробления и являются постскладчатыми сбросами с амплитудой вертикального перемещения от первых сотен метров до 1–1,5 км. Исключение составляет крупное облизиширотное нарушение, прослеженное на 23 км из бассейна р.Ир по р.Лагай до западной границы территории листа. Другая группа крупных северо-западных разрывных нарушений установлена в центральной и юго-западной частях территории листа среди вулканитов и у восточной границы, где разломы разделяют позднемеловые субвуликанические липариты и породы палеозойского фундамента. Это, видимо, сбросы, как и все нарушения северо-западного направления. Контролируются они зонами дробления, трешиноватости и минерализации в осадочных породах палеозоя и интенсивным тектоническим изменением вулканитов.

В северо-западной части рассматриваемой площади в раннем кембрии существовал геосинклинальный режим. Осадконакопление

происходило в эвгесинклинальных условиях, в обстановке интенсивного подводного вулканизма, что обусловило формирование вулканогенно-кремнистых и кремнисто-терригенных формаций с железами, марганцевыми рудами и фосфоритами. Тектонический режим в раннекембрийскую эпоху был чрезвычайно сложен и своеобразен, о чем свидетельствует резкое изменение фаций на незначительных расстояниях. Периоды относительного тектонического покоя, в которых формировались кремнисто-терригенные толщи, сменялись периодами интенсивной вулканической деятельности и дифференцированных колебательных движений, в обстановке которых происходило образование мощных вулканогенно-кремнистых толщ. Глубина кембрийского моря, видимо, была незначительной, что подтверждается находками в известняках ультрапалеозойской археодиат и водорослей, обитавших на глубине не более 100 м. Замыкание геосинклинали прошло, вероятно, в конце раннего – начале среднего кембрия. В это же время, видимо, были созданы раннекембрий-

ские складчатые структуры.

Отложения среднего кембрия на правобережье р.Ула пока достоверно не установлены. К западу от рассматриваемой территории известен фаунистически характеризованный верхний кембрий Шевлинский перикратонный прогиб, представленный карбонатной формацией. Верхнекембрийская фауна найдена и в пределах эвгесинклинальной зоны в бассейнах рек Ними и Галам /32/. Отложения ордовика, установленные в Шевлинской и Улуско-Шантарской зонах, представлены молассовой формацией и залягают в эвгесинклинальном прогибе предположительно неотносительно на нижнем кембре. Несмотря на то что верхнекембрийский и ордовикский морские бассейны существовали и на рассматриваемой территории, а соответствующие осадки были перекрыты более молодыми образованиями и частично денудированы. Сигурийские отложения в Улуско-Шантарской зоне не установлены.

На следующий этапе развития, вероятно, от раннего девона до раннего карбона, область раннекембрийского эвгесинклинального прогиба была вновь вовлечена в интенсивное прогибание. Девонская геосинклиналь разделась полосой поясовий на Улуско-Шантарскую и Тигирскую геосинклинальные зоны и унаследовала от раннекембрийской структурный план и режим тектонических движений /18, 4/. Последние обусловили формирование отложений, очень близких в фациальном отношении с нижнекембрийскими. Замыкание девонской геосинклиналии предполагается в раннекаменноугольное время, когда рассматриваемая территория испытала интенсивную складчатость.

Средне- и верхнекаменноугольные отложения в восточной части правобережья р.Ула не установлены. Период седиментационной паузы, видимо, характеризовался значительными вертикальными перемещениями, что привело к резкому тектоническому расчленению территории в предшерманское время. В первом же времени осадконакопление происходило в прогибе, наложенном на консолидированное нижнепалеозойское основание, в условиях мелкого моря и в обстановке фрагментарных движений переменного знака. Позднепалеозойская складчатость, смявшая породы первых в сложные складки, была очень интенсивной и, вероятно, знаменовала собой наступление ортогенетического этапа развития рассматриваемой территории.

После значительного перерыва в осадконакоплении на большей части площади в позднероское время сформировался Торомский наложенный прогиб, заложение которого началось в позднегриасовое

шли листа приходится на оксфорд-камериджское время. Наличие в верхнеуральских толщах соместно с морской пеленоидовой фауной остатков флоры указывает на близость береговой линии при формировании осадков. В конце при происходит появление и незначительный перерыв в осадконакоплении, что подтверждается присутствием грубобломочных пород в основании нижней меловых отложений, формирование которых произошло после повторной морской трансгрессии в условиях мелководного морского бассейна. В послевалантийское время морской режим осадконакопления окончательно сменяется континентальным и в горизонте накапливаются грубообломочные осадки переполненные растительными остатками.

В барреме-апте, видимо, наступил перерыв в осадконакоплении, когда возобновилось в альбе с формированием континентальных конгломератов и гравелитов, содержащих остатки покрытосеменных растений /5/. В раннерекское время почти одновременно с образованием Тюменского прогиба к югу и юго-востоку от территории листа формировались Ульбанская прогиба, заполненный мощными существенно терригенными, иногда флишиевыми отложениями, смешанными в конце при в линейные складки геосинклинального типа. Краевая часть этого прогиба заходит на юго-восток рассматриваемого района. Между Тюменским и Ульбanskим прогибами расположены Боконский выступ палеозойского фундамента, являвшийся областью сноса в оба прогиба /18/.

Конец раннего – начало позднего мела знаменуется общим поднятием территории, боковыми движениями, содровникавшимися мощной математической деятельностью, которая продолжалась в течение всей позднемеловой эпохи. Начальные стадии ее проявились в виде андезитового вулканизма, при котором преобладали центральные извержения. Заканчивается андезитовый вулканизм образованием экструзивных куполов и становлением интрузий диорит-трапидоритового ряда, представляющих собой, видимо, закристаллизованные блоки поверхности математические камеры.

В сезон – датское время андезитовый вулканизм сменяется липаритовым, который проявился в виде извержений на поверхность раскаленной газовысыпьюшкой пирокластики больших объемов, образовавшей покровы кимберлитов и туфов. Завершается липаритовый вулканизм внедрением субвулканических интрузий липаритов. В заключительный этап математической деятельности произошло становление трещинной Тюмень-Октябрьской интрузии породы гранитов, выстилающей вдоль крупного раскола северо-восточного простирания.

После душие появления рассматриваемой территории в течение палеогена, неогена и четвертичного времени привели к формированию современного рельефа.

## ГЕОМОРФОЛОГИЯ

В основу геоморфологического расчленения территории листа положено выделение генетически однородных поверхностей.

Денудационно-эрэзионные кругосклонные поверхности развиты на большей части территории в пределах высокогорья и, частично, среднегорья на абсолютных отметках 1600–2300 м. В пределах хребта Селемджинского, Тыльского и Ного рассматривающие поверхности характеризуются значительной крутизной ( $25\text{--}40^\circ$ ), выпуклой или прямой формой склонов, покрытых незакрепленными осипями со скользкими остатками и расщепленных многочисленными долинами ручьев и распадков. Форма полины  $\text{V}$ -образная со следами молодого вреза. Продольный профиль ручьев невыработанный, крутой, часто ступенчатый. В устьях крутых распадков находятся конусы выноса из плохо сортированного глыбово-щебенистого материала. Переход денудационно-эрэзионных поверхностей к поверхностям иного генезиса замечен по перегибам в рельфе. Форма вершин гор конусовидная и гребенчатая, реже куполовидная. По мере удаления от осевых частей хребтов в пределы среднегорья крутизна денудации-эрэзионных поверхностей уменьшается до  $15\text{--}25^\circ$ . Форма склонов вогнутая, реже прямая. Поверхности их почти повсеместно заровнаны и заросли, а скользкие остатки и крупногабаритные осипи встречаются редко. Интенсивность эрозионного расчленения склонов незначительная.

Денудационно-акаационные поверхности приурочены к осью частям хребтов Ям-Алинь, Тыльского и Селемджинского и сформированы на склонах каров (цирков) и тrottов, созданных горно-подлинным и полуподлинным оледенением. Выделяются цирки двух типов: старые и молодые. Днища первых расположены на высоте 1100–1300 м на восточных склонах и 1400–1700 м на западных. Они отличаются от более молодых каров мякими стяжками очертаниями с плавными перегибами троекей и вогнутыми стенками. Днища цирков ровные, поросшие луговой растительностью. Часто водотоки в процессе ретрессионной эрозии пропиливают задние стены цирковых каров и они имеют вид разобщенных лугообразных сетьнотов. Более молодые кары развиты преимущественно на склонах северной экпозиции, представлены собой обширные эмайтейаги шириной

0,5-2 км с резкими очертаниями. Стенки их — вертикальные обрывы высотой 200-600 м с крупногабаритными осыпями в нижней части. Днища грядов расположены на абсолютных высотах 1500-1700 м и заполнены крупногабаритным материалом, образуя холмы, бугры и валы юртовой морены. Впадины внутри каров часто заняты озёрами.

Иногда в истоках рек можно наблюдать крупные ширмы, в стенах которых врезаны кары меньших размеров, висящие над ними на высотах в десятки или сотни метров. В вогораздельной части хребтов стенки каров иногда сближены, образуя узкие пилообразные гребни и типичные карлины. Долины водотоков вниз от цирков имеют форму тротов на протяжении от 12-16 до 30-38 км. Днища тротов пологого вогнуты, профильный профиль ступенчатый. Наблюдаются местами плечи тротов, сараньи лбы, рители и морены.

Денудационные поверхности сохранились в пределах высокогорья и среднегорья, встречаясь в виде разобщенных площадок на абсолютных высотах от 1000-1400 до 1600-1900 м. Ширина площадок 0,1-2,6 км, длина до 5,2 км. Профильный профиль слабо волнистый с уклоном (1-6°) в сторону рек. Поверхности площадок покрыты крупногабаритными эоловыми развалами с редкими денудационными останцами; на плоских слабо заболоченных участках иногда встречаются бугры пучения и полигональные структуры грунтов. Переход к поверхности иного генезиса обычно четкий.

Субгоризонтальные поверхности речного происхождения раз-

виты в долинах рек Тонум, Неми, Ир, Тором, Селикан, Муникан и их крупных притоков. Они представлены площадками террас и современной почвой рек и ручьев. Среднечетвертичная поверхность об разована аккумулятивной и пологой террасами высотой 12-20 м в долинах рек Селикан, Тонум, Неми, Ирнгил и др. Ширина террас 0,2-1 км, уступ ее четко выражен. Поверхность террас залесена, местами заболочена, почковато-мелкобутристая. Тыловой шов слабо выражен, уклон поверхности террас в сторону русел рек 5-6°. Позднечетвертичная поверхность распространена в долинах рек Тонум, Тол-Юрк, Селикан, их притоков и представлена аллювиальной террасой высотой 4-10 м, шириной 0,2-1,2 км, уступ ее в большинстве случаев четкий. Поверхность терраса неровная, сухая, реже слабо заболоченная, залесенная. Местами встречаются ложники, старички, протоки или мочажины, западины, поросшие мхом или заполненные водой. Уклон террасы к русслам рек от 1-2° до 3-5°. Тыловой шов выражен ясно. Современная аккумулятивная поверхность представлена высокой и низкой почвойами в долинах рек и ручьев. Высокая почва имеет крутой уступ высотой 1,5-2,5 м с ясно

выраженной бровкой. Поверхность ее сухая волнистая, расчлененная протоками, сухими руслами и поросшая гололово-ивовым или еловым лиственным лесом. Тыловой шов выражен четко. Поверхность низкой почвы неровная, бутристо-гравийная, с большим количеством камней, отмели, островов и проток. Высота ее 0,5-1,5 м.

Среднечетвертичная поверхность ледникового происхождения, развитая по долинам рек Тором, Муникан, Коврижка, их крупных притоков, образована мореной шириной 0,3-2,6 км, удаленной от истоков на 6-38 км. Кроме долин рек, среднечетвертичная морена встречена в междуречьях Тором — Ниж.Бургала, Сородо-Муникан и Прав.Куньмунь — Муникан. В целом рельеф морены волнистый, с бессистемно ориентированными грядами и буграми, разделенными бесточными котловинами, часть из которых заполнена водой. Поверхность морены полузадернована и покрыта кедровыми стелиником или лиственным лесом. Высота морены колеблется от 5-20 до 60-200 м. От молодой морены поверхность отделена чеким крутым уступом. Граница между мореной и коренными склонами троговых долин также четкая. Позднечетвертичная ледниковая поверхность развита в пределах высокогорья и представлена мореной, выполненной днищем каров и троговые участки долин протяженностью от 0,8 до 16 км и шириной от 0,2 до 2,2 км. Поверхность морены неровная, грядово-холмистая, с большим количеством бесточных ям, западин и озеровидных котловин, часто заполненных водой.

Начало формирования рельефа, видимо, относится к плиоцену, когда произошло интенсивное воздымание территории, продолжавшееся до настоящего времени. В раннечетвертичное время, вероятно, была заложена тылосеть, близкая к современной. Наличие в долинах рек пяти уронней террас свидетельствует о том, что, начиная со среднечетвертичной эпохи, этапы наиболее интенсивных поднятий в районе сменялись непродолжительными этапами стабилизации. В среднечетвертичную и верхнечетвертичную эпохи район дважды подвергался оплывению. Первое было полукровного типа, а второе — горно-долинного. В современную эпоху территории также испытывает поднятие, что подтверждается глубоким эрозионным врезом долин, имеющих часто форму каньонов со ступенчатым профильным профилем и наличием висячих долин мелких водотоков.

## ПОЛЕЗНЫЕ ИСКОПАЕМЫЕ

На территории листа №-53-ХI установлены проявления хальца, марганца, титана, цветных и редких металлов, золота, серебра, фосфоритов. Практически не ограничены запасы каменных строительных материалов.

### МЕТАЛЛИЧЕСКИЕ ИСКОПАЕМЫЕ

#### Ч е р н ы е м е т а л ы

##### Железо

В районе расположено Галамское месторождение и более 10 проявлений магнетитовых, магнетит-гематитовых и гематит-магнетитовых руд вулканогенно-осадочного типа, приуроченных к вулканогенно-кремнистым и кремнисто-терригенным образованиям нижнего кембрия и девона.

Г а л а м с к о е месторождение (Ш-1-5) расположено в верховье р.Иркнда, где в 1960 г. аэромагнитной съемкой была выявлена Иркндинская аномальная зона и установлена ее железорудная природа. В 1965 г. в пределах этой зоны Ульской и Геофизической экспедицией ДГГУ /37/ проведены оценочные полоконные работы и аэромагнитная съемка масштаба 1:25 000. В районе месторождения развиты среднелевонские песчаники с линзами и прослоями кремнисто-глинистых сланцев, яшм и залежами железных руд. После дренажа представлена двумя рудными пачками и четырьмя обособленными рудными пластами. Одна из пачек сложена отдельными желеозу碌ыми пластами протяженностью от 10 до 400 м при мощности 5-10 м. Руды вскрытых пластов магнетитовые марганецодержащие мелко- и тонкозернистые массивные, брекчийные, реже полостные. Среднее содержание по рудным телам составляет (в %): железа - 30,8, марганца - 42, марганца - 7,

фосфора - 0,8-1, серы - 0,08, герmania - 10 г/т<sup>х/</sup>. Прогнозные запасы железных руд, подсчитанные по вскрытым и слепым рудным пластам по глубине 300 м, составляют 510 млн.т. Аэромагнитной съемкой масштаба 1:200 000 и 1:50 000 и на земной магнитометрией установлены аномальные магнитные зоны, в пределах которых выявлены Иликан-Лагапская, Ир-Тонумская и Верхне-Лагапская группы проявлений железных руд, приуроченных к об разованием Ультгансской свиты нижнего кембрия.

Группа И л и к а н - Л а г а п с к и х проявлений. Из пяти проявлений магнетит-гематитовых, гематит-магнетитовых и гематитовых руд, обследованных в эту группу, четыре (I-1 - 10, I-4, I-5, 24) приурочены к рудной пачке, залегающей в средней части разреза Ульгансской свиты. Она прослеживается от р.Лев.Иликан до р.Лагап на расстояние более 14 км и отчетливо фиксируется аномальной магнитной зоной северо-восточного простирания, в пределах которой наземной магнитометрией установлен ряд малопротяженных аномалий с интенсивностью магнитного поля от 2000 до 1400 гамм, реже до 3000-5000 гамм. Руды залегают согласно средней линии, кремнисто-глинистых сланцев и известняков, образуя сложные пластины протяженностью от 300 м до 1,5 км и мощностью от 8-10 до 46 м. Руды преимущественно массивные, реже брекчийные и полосчатые мелко- и тонкозернистые, темно-серые по черных с вышеям оттенком, состоят (в %) из магнетита - 50-60, гематита - 1-10, гидроокислов железа - 20-25 и марганца - 10-15, единичных зерен пирита и нерудных - кварца, карбоната и хлорита. Содержание железа растворимого в пластах колеблется от 20,8 до 38,5%, марганца - 1,3-2,8%, фосфора - 0,6-1,3%, серы - 0,01-0,05%. Несколько обособлено от рассмотренных находится проявление левого притока р.Лагап (I-1-4). Здесь среди девиальных склонов супругично-красных и серых яшм нижнего-среднего девона встречаются глыбы массивных магнетит-гематитовых руд, содержащих 36,5% растворимого железа. По простиранию руды не прослежены.

Группа И р - Т о н у м с к и х проявлений (I-1-23, I-2-21, II-1-7) расположается в пределах аномальной зоны, протягивающейся от правого притока р.Тонум у западной границы территории листа до р.Ир на расстояние 30 км при ширине 0,2-2 км. Группа И р - Т о н у м с к и х проявлений (I-1-23, I-2-21, II-1-7) расположается в пределах аномальной зоны, протягивающейся от правого притока р.Тонум у западной границы территории листа до р.Ир на расстояние 30 км при ширине 0,2-2 км.

<sup>х/</sup> Задесь и далее приводятся содержания элементов в бороздах пробах, если не указывается вид опробования.

Тематит-магнетитовые и магнетитовые руды, по-видимому, образуют прерывистый горизонт меняющейся мощности среди вулканогенно-кремнистых образований улитданской свиты /42/. Руды залегают согласно среди яшм и кремнисто-глинистых сланцев, имеют четкие контакты с夾ещающимися породами и падают на юго-запад и северо-запад под углами 65–80°. Мощность рудных пластов колеблется от 6 до 15 м; по простиранию некоторые из них прослежены на земной магнитометрией на 2500 м. Руды темно-серые до черных, плотные, массивные, реже полостные, мелкозернистые, с содержанием растворимого железа 39,9–45,5%.

Группа В е р х е – Л а г а п с к и х проявлений (I-2-17, I-2-14, I-1-17, I-2-10) расположена на водоразделе рек Ир и Лагап, где аэромагнитной съемкой фиксируется аномальная зона северо-восточного простирания протяженностью около 7 км. Наиболее крупное из этой группы – проявление участка Водораздельного (I-2-17). Здесь в экзоконтакте интрузии габбро-диоритов среди вулканических кремнистых пород улитданской свиты на земной магнитометрией выявлена аномалия интенсивностью до 60000 гамм, в пределах которой вскрыт пласт тематит-магнетитовых руд мощностью 36,5 м и протяженностью 300 м. Пласт сложный, с夾ущими прослоями яшм и седиментационных брекчий суммарной мощностью 13,5 м. С夾ещающимися породами руды залегают согласно и падают на юго-восток под углом 65°. В 200 м к юго-востоку от описываемого рудного тела выявлено еще два пласта тематит-магнетитовых руд мощностью II и I м /42/, прослеженные магнитометрией на 500 м. Руды залегают среди яшм, разделены пачкой (12 м) алевролитов и падают на юго-восток под углом 65°. Руды темно-серые мелко- и тонкозернистые массивные, реже полостные. Содержание железа растворимого в них меняется от 18 до 35,28% при среднем содержании марганца – 1,12%, фосфора – 0,85%, серы – 0,17%.

#### Марганец

В районе установлены проявления родохрозитовых и браунитовых руд, а также проявления марганцевой минерализации.

Рудопроявление р. Эльга (П-1-3) расположено в ее правом берегу, против устья р. Ниж. Эльга. В долине террас высотой 3 м среди зеленовато-серых яшм установлен шлагр родохрозитовых руд видимой мощностью 2 м. Руды согласно залегают с夾ещающимися породами, имеют с последними четкий контакт и падают на северо-запад под углом 80°. По простиранию не прослежены. Руды плотные, массивные тонко-

зернистые, от черной до розово-коричневой окраски. Содержание марганца в штуфных пробах – 40,23%.

В бассейнах рек Верх. Лагап, Митакан и Ир в левом восточном водохранилище и браунитовые руды (I-1-6, 7, 8, 9, 11, 13; I-2-5, 9, 25) с содержанием марганца в штуфных пробах 41,8% (I-1-6, 24,82% и 34,6% (I-2-9, 25) /25,42/. Руды приурочены к вулканогенно-кремнистым образованиям улитданской свиты нижнего кембрия.

Кроме того, в яшмах, седиментационных кремнистых брекчиях и кремнисто-глинистых сланцах установлено 15 проявлений марганцевой минерализации (I-1-2, 3, 12; П-1-4, 6, 8; Ш-1-1, 2, 3, 4). Это прослоики линзоочки 0,1–4 см) обраузита и повсеместно по трещинам отдельности – тонкие пленки, налеты и центризы окислов марганца. Содержание марганца в штуфных пробах не превышает 8%. Шлиховым опробованием в пределах развития улитданской свиты выявлены два ореола рассеяния марганца (I-1-5, I-2-22) с содержанием минералов марганца в пробах до 50 знаков.

#### Титан

По правым притокам р. Селиктан шлиховым опробованием установлено изменение марганца до 5 мт на 0,01 м<sup>3</sup> промытой породы /21/.

#### Ц в е т н ы е м е т а л л ы

##### Медь

Проявления меди левых притоков р. Мунikan (Ш-3-6, 9) приурочены к зонам интенсивно катаклизированных, окварцированных рогово-обманковых гранитов мощностью 40–50 м с кварц-амфибол-серпентинами прожилками и вкрашенностью галенита, пирита, халькопирита, сфalerита и кассiterита. Одна из зон (Ш-3-6) прослежена на 1,5 км. Содержание меди в штуфных пробах убогое (до 0,1%) и лишь в одном случае составляет 1%. В верховье р. Лев. Мунikan проявление меди (Ш-3-3) установлено в зоне окварцированных андезитов с вкрашенными прожилками и халькопирита. Мощность зоны 70 м, содержание меди в просах 0,03–0,07%.

### Свинец

Рудообразования свинца в верховье р. Лев. Мунikan (III-3-1, 4) приурочены к зонам окварцованных, серидитизированных и пиритизированных андезитов северо-восточного направления мощностью 70–80 м. Содержание свинца – 0,03–0,05%. В бассейне р. Коврикка-Макит в штучных пробах из зоны проявления андезитов мощностью 0,5 м установлено 0,5% свинца и 0,5% цинка (ГУ-4-1). В верховье вкрашенностью сульфидов мощностью 150 м в штучных пробах установлено 0,05–0,2% свинца и 0,07% цинка (III-3-5). А.Ф.Американцевым /12/ в верховье р. Тонум среди территориальных пород нижнего мела встречены обломки кварца с вкрашенностью тальянита (II-3-4). Шлиховой ореол рассеяния галенита (III-3-10), с содержанием до 10 зерен на пробу, выявлен в верховье р. Мунikan. Кроме того, в верховье р. Лев. Сети в краевой части массива роговообманковых гранитов установлена зона (III-3-11) катаклизированных пород с кварцами-амфиболовыми жилами и вкрашенностью тальянита. Мощность зоны не менее 50 м, по простиранию не прослежена. В штучных пробах из зоны установлено 0,5–1% свинца, 0,1–3% цинка, 0,01–0,02% серебра.

### Цинк

Проявления цинка (III-3-4, III-3-5, II) описаны при характеристике рудообразований свинца.

### Олово

На территории листа установлено три проявления олова и два шлиховых ореола кассiterита. Проявление олова в верховье р. Мунikan (III-3-6) приурочено к зоне интенсивно катаклизированных гипогермально-измененных роговообманковых гранитов шириной 50–70 м северо-западного простирания. В зоне наблюдаются многочисленные кварц-амфиболь-серпентитовые прожилки мощностью от 2–3 до 20–30 см с галенитом, пиритом, халькопиритом, дисперсно рассеянной вкрашенностью кассiterита и сфalerита. В центральной части зоны наблюдается наибольшее количество кварц-амфиболь-серпентитовых про-

жилков с сульфидами, сближенных между собой до 2–3 см. Зона проследена на 1,5 км и вскорята тремя пересечениями канав. Вблизи уреза ручья, где глубина эрозионного вреза наибольшая, содержание олова в бороздовых и штучных пробах колеблется от 0,01–0,07 до 0,1–0,2%, меди – от 0,01–0,07 до 1%, свинца – от 0,01–0,07 до 0,1–0,5%, цинка – от 0,01–0,05 до 0,1–0,5%. По другим пересечениям выше по склону и на водоразделе, то есть с уменьшением глубины эрозионного вреза, содержание олова уменьшается до 0,0003–0,003% и лишь в отдельных пробах достигает 0,01–0,02%. Кроме того, в пробах по первому пересечению установлены молибден (0,001–0,006%), серебро (0,001–0,005%) и золото – (0,01–0,03 г/т в четырех пробах). Для других проявления олова (III-3-5, 9), расположенных также в верховье р. Мунikan, приурочены к зонам катаклизированных окварцованных роговообманковых гранитов, содержащих кварцевые прожилки и вкрашенность сульфидов. Мощность зон изменяется от 10 до 150 м, по простиранию они не прослежены. Содержание олова 0,01–0,03%, меди – 0,01–0,1%, свинца – 0,01–0,1%, цинка – 0,01–0,07%, молибдена – 0,001% и серебра – 0,0005%.

Шлиховой ореол рассеяния кассiterита (ГУ-4-3) установлен в бассейне р. Брикакан в пределах развития биотиг-роговообманковых гранодиоритов. Ореол был выявлен В.А.Ярмолюком /43/, затем подтвержден работами А.Ф.Макбороды и П.Д.Шкляева /23, 35/. Кассiterит солеритится в количестве от единичных знаков до 30 зерен на пробу. По данным С.И.Горохова, коренными источниками кассiterита являются пегматитовые жилья среди гранодиоритов, не представляющие практического интереса. Шлиховой ореол рассеяния кассiterита в бассейне р. Лев. Сети (III-3-12) установлен на плоскости распространения итнекоритов и туфов липарито-дацитового состава. Содержание кассiterита колеблется от единичных знаков до 60 зерен на 0,01 м<sup>3</sup> промытой породы.

### Р е п л и е м е т а л л и

#### Молибден

На территории листа установлено 19 проявлений молибдена и 4 шлиховых ореола рассеяния молибдениита.

Проявления молибдита Тонум-Торомского участка, известные с 1930 г. по находке охотниками – звенками обломка породы с включением молибдениита и в 1949 г. обна-

руженные В.А.Ярмоловом /43/, по результатам поисковых работ масштаба 1:50 000 /12/ размещены на площасти развития верхнемеловых аплезитовых вулканитов, прорванных гранитами и лайками среднего и кислого состава. Оруденение приурочено к апикальной части интрузии и локализуется в зоне дробленых, пиритизированных, обожженных и частично греизенизированных гранитов, прорванных лайками и жилами диоритов, аplitов, реже пегматитов и кварца. Зона мощностью 10–100 м прослежена в северо-восточном направлении на 2,5 км. Мolibденитовое оруденение в зоне крайне неравномерное и концентрируется, главным образом, в местах пересечения зоны юго-восточными разрывами. Наиболее интересные проявления расположены по правым притокам верхнего течения р.Тонум (П-3-6,8) и в верховье р.Моренной (П-3-2).

На проявлении П-3-6 установлены пегматитовые и кварцевые жили с редкой вкрапленностью и прожилками молибденита и три участка дробленых гранитов мощностью 0,3; 1,5 и 2,5 м и протяженностью 28–40 м, приуроченных к небольшим юго-восточным разрывам. Граниты в зонах катаклизированы, местами превращены в греизены, пронизаны маломощными (0,1–0,05 м) кварцевыми жилами, содержат красновато-бурые охры, примазки малахита, зурига, туфту вкрапленность пирита и наиболее богатые концентрации молибдениита. На проявлении П-3-8 катаклизированные граниты с молибденитом прослежены на 500 м при ширине зоны 10–45 м. Наиболее богатые руды встречены вблизи контакта катаклизированных гранитов с эффузивами. Руды вкрапленные и прожилковые. Первые обычно содержат средне- и крупночешуйчатый молибденит, образующий неравномерную, участками сгущенную вкрапленность в измененных гранитах, реже трещинках и петматитах. Размер чешуек молибденита колеблется от 0,05 до 8 мм, иногда достигает 5–10 см. В прожилковых рудах прожилки молибденита мощностью 1–3 см обычно редки, приурочены к крутонасажденным трещинам отдельности или залегают в кварцевых жилах. За прелелами минерализованной зоны молибденит устанавливается в виде редкой рассеянной вкрапленности в крупнозернистых и аплитовых гранитах. В истоках р.Тором А.Ф.Американцем /12/ среди эффузивов обнаружены обломки мелкозернистых гранитов с включениями кристаллов молибденита весом до 670 г. В бороздовых пробах минерализованных гранитов, пегматитов и кварцевых жил содержание молибдена составляет в основном 0,001–0,01% и лишь в 12 пробах достигает 0,1–0,97% /12,26/. Кроме молибдена, выявлены медь (0,01%), цинк (0,01%) и серебро (0,001%). Низкое и неравномерное содержание молибдена и недостаточное количество апатита в зоне оруденения не позволяют выделить зону юго-восточного разрыва в качестве зоны молибденита.

части интрузии и локализуется в зоне дробленых, пиритизированных, обожженных и частично греизенизированных гранитов, прорванных лайками и жилами диоритов, аplitов, реже пегматитов и кварца.

Зона мощностью 10–100 м прослежена в северо-восточном направлении на 2,5 км. Молибденитовое оруденение в зоне крайне неравномерное и концентрируется, главным образом, в местах пересечения зоны юго-восточными разрывами. Наиболее интересные проявления расположены по правым притокам верхнего течения р.Тонум (П-3-6,8) и в верховье р.Моренной (П-3-2).

На проявлении П-3-6 установлены пегматитовые и кварцевые жили с редкой вкрапленностью и прожилками молибденита и три участка дробленых гранитов мощностью 0,3; 1,5 и 2,5 м и протяженностью 28–40 м, приуроченных к небольшим юго-восточным разрывам. Граниты в зонах катаклизированы, местами превращены в греизены, пронизаны маломощными (0,1–0,05 м) кварцевыми жилами, содержат красновато-бурые охры, примазки малахита, зурига, туфту вкрапленность пирита и наиболее богатые концентрации молибдениита. На проявлении П-3-8 катаклизированные граниты с молибденитом прослежены на 500 м при ширине зоны 10–45 м. Наиболее богатые руды встречены вблизи контакта катаклизированных гранитов с эффузивами. Руды вкрапленные и прожилковые. Первые обычно содержат средне- и крупночешуйчатый молибденит, образующий неравномерную, участками сгущенную вкрапленность в измененных гранитах, реже трещинках и петматитах. Размер чешуек молибденита колеблется от 0,05 до 8 мм, иногда достигает 5–10 см. В прожилковых рудах прожилки молибденита мощностью 1–3 см обычно редки, приурочены к крутонасажденным трещинам отдельности или залегают в кварцевых жилах. За прелелами минерализованной зоны молибденит устанавливается в виде редкой рассеянной вкрапленности в крупнозернистых и аплитовых гранитах. В истоках р.Тором А.Ф.Американцем /12/ среди эффузивов обнаружены обломки мелкозернистых гранитов с включениями кристаллов молибденита весом до 670 г. В бороздовых пробах минерализованных гранитов, пегматитов и кварцевых жил содержание молибдена составляет в основном 0,001–0,01% и лишь в 12 пробах достигает 0,1–0,97% /12,26/. Кроме молибдена, выявлены медь (0,01%), цинк (0,01%) и серебро (0,001%). Низкое и неравномерное содержание молибдена и недостаточное количество апатита в зоне оруденения не позволяют выделить зону юго-восточного разрыва в качестве зоны молибденита.

Появления участка Лапкала (1-4-7,8,9,10), расположенные в верховых рек Ними и Ними-Макит /26/, размещены среди порфировидных биотит-роговообманковых гранитов в двух зонах – близ меридионального ( $0-10^{\circ}$ ) и северо-восточного ( $60^{\circ}$ ) простираний шириной 300–500 м. Зоны прослежены на 3 км, вскрыты тремя пересечениями канав через 500–800 м. Граниты в зонах катаклизированы, оквартированы, обожжены, сульфицированы, участками сертифицированы, пронизаны немногодисперсными (4–5 на 1 м) кварц-диорит-халькопиритовыми, кварц-молибденитовыми и кварцевыми прожилками мощностью от 0,5 до 15 мм, редко до 10–15 см. Кроме кварца и молибденита, в рудных прожилках присутствуют пирит, магнетит, реже халькопирит, арсенопирит и постоянно – гипроокисль железа. По зоне меридионального направления наиболее минерализация и наиболее интенсивное изменение гранитов наблюдается вблизи контакта их с франодоритами, где граниты с сильно трещиноваты, разбиты вертикальными трещинами отдельности, с простиранием которых (СВ  $20^{\circ}$ ) совпадает преобладающее количеством кварцевых, кварц-сульфидных, кварц-молибденитовых и кварц-сульфидно-молибденитовых прожилков. В северо-восточной зоне наблюдаются отдельные обогащенные рудные участки мощностью 1–5 до 10 м с более интенсивным окварцевыванием, сульфидизация и с большим количеством (до 10–20 на 1 м) кварцевых (рудных) прожилков. Количество обогашенных участков и их мощность увеличивается в юго-западном направлении, от водораздела рек Ними – Ними-Макит к длине долины ручья, то есть с увеличением глубины эрозионного вреза.

Молибденит в зонах средне-, мелкочешуйчатый, тонкодисперсный, реже крупночешуйчатый. Среднечешуйчатый молибденит обычно образует неравномерную вкрапленность размером 0,01–1 мм, а ассоциирующие с ним пирит и магнетит концентрируются в виде тонкой вкрапленности, линз и гнезд неправильной формы размером до 2–3 см, либо образуют прожилки мощностью 0,01–2 мм. Мелкочешуйчатый и тонкодисперсный молибденит присутствует в залежаниях кварцевых жилок, реже встречается в их центральных частях, образуя тонкорассеянную неравномерную вкрапленность или тончайшие (0,01–0,4 мм) быстро выполняющиеся прожилки. Крупночешуйчатый молибденит встречается редко, образуя чешуйки и розетки диаметром до 1 см. По данным спектрального анализа, 25 бороздовых и

и 692 штучных проб содержание молибдена в 328 пробах составляет 0,0003–0,005%, в 95–0,01–0,07%, в 13–0,1–0,3%. Кроме молибдена, в пробах (в %) присутствуют вольфрам – 0,007–0,07, никель – 0,01–0,1, медь – 0,001–0,30, свинец – 0,001–0,2, серебро – 0,0001. Большинство проб с повышенным содержанием молибдена приурочено к нижним частям склонов водораздела, где глубина аэрозионного вреза наибольшая. По талии орудение относится к кварц–молибденитовому и кварц–молибденит–серпентитовому со средней и мелкочешуйчатым, реже дисперсным молибденитом и имеет значительные параметры. Содержание молибдена на поверхности рудоизвлечения неприменимое, но учитывая тенденцию увеличения содержания металла с глубиной, можно, видимо, предполагать наличие промышленных руд на более глубоких горизонтах, не вскрытых аэрозией.

П р о я в л е н и е р. Лев. Лапкалак (I–4–4) расположено в пределах Тонум–Онганской интрузии порфироидных гранитов. Здесь в деловии обнаружена глиса (Iх1,5 м) катаклизированных субдиаметровых биотитовых гранитов с перикономерной вкрапленностью щелчек молибденита размером 3–7 мм. Содержание молибдена в штучной пробе 1–3%.

Л е в о – М у н и к а н с к о е проявление (Ш–3–2) в верховье р. Лев. Муникан приурочено к андезитовым автомагматическим обректиям и агматитовым турам, выполняющим жерловину палеовулкана размером 450×250 м. Породы жерловины окваркованы, хлоритизированы, сернистизированы, пиритизированы. В брекчиях центральной и северо–восточной частей жерловины наблюдается редкая сеть маломощных (0,2–1 см) кварцевых, кварц–сульфидных и кварц–сульфидно–молибденитовых прожилков с мелко– и среднечешуйчатым (до 2–3 мм) молибденитом. Содержание молибдена в штучных пробах – 0,0003–0,005%, редко достигает 0,03%.

П р о я в л е н и я бассейна р. Имератра (Ш–2–3,5,6,7), по данным А.Ф.Американдея /12/, приурочены к зонам брекчированных в эзос– и эндоконтактовой частях гранитной интрузии, прорваншей андезиты, и представлены кварц–молибденитовыми прожилками протяженностью от 1–2 до 4 м при мощности от 5 до 20 мм. Прожилки состоят из белого кварца, молибденита, пирита. Молибденит обычно приурочен к залобникам прожилков, либо образует в них неравномерную вкрашенность кристаллов размером 4–5 мм. Содержание молибдена в прожилках колеблется от 0,01 до 0,1%, редко достигая 1%. Рудоизвлечение практического интереса не представляет.

М о л и б д е н и в 328 пробах составляет молибдена в 328 пробах составляет 0,0003–0,005%, в 95–0,01–0,07%, в 13–0,1–0,3%. Кроме молибдена, в пробах (в %) присутствуют вольфрам – 0,007–0,07, никель – 0,01–0,1, медь – 0,001–0,30, свинец – 0,001–0,2, серебро – 0,0001. Большинство проб с повышенным содержанием молибдена приурочено к нижним частям склонов водораздела, где глубина аэрозионного вреза наибольшая. По талии орудение относится к кварц–молибденитовому и кварц–молибденит–серпентитовому со средней и мелкочешуйчатым, реже дисперсным молибденитом и имеет значительные параметры. Содержание молибдена на поверхности рудоизвлечения неприменимое, но учитывая тенденцию увеличения содержания металла с глубиной, можно, видимо, предполагать наличие промышленных руд на более глубоких горизонтах, не вскрытых аэрозией.

#### П р о я в л е н и е

р. Лев. Лапкалак (I–4–4) расположено в пределах Тонум–Онганской интрузии порфироидных гранитов. Здесь в деловии обнаружена глиса (Iх1,5 м) катаклизированных субдиаметровых биотитовых гранитов с перикономерной вкрапленностью щелчек молибденита размером 3–7 мм. Содержание молибдена в штучной пробе 1–3%.

Л е в о – М у н и к а н с к о е проявление (Ш–3–2) в верховье р. Лев. Муникан приурочено к андезитовым автомагматическим обректиям и агматитовым турам, выполняющим жерловину палеовулкана размером 450×250 м. Породы жерловины окваркованы, хлоритизированы, сернистизированы, пиритизированы. В брекчиях центральной и северо–восточной частей жерловины наблюдается редкая сеть маломощных (0,2–1 см) кварцевых, кварц–сульфидных и кварц–сульфидно–молибденитовых прожилков с мелко– и среднечешуйчатым (до 2–3 мм) молибденитом. Содержание молибдена в штучных пробах – 0,0003–0,005%, редко достигает 0,03%.

При проведении рекогносцирующе–увязочных маршрутов в верховые руч. Моренного, где развиты субвуликанические липариты, андезиты и их туры, зерновые образования среднего состава и прорывающие их породированные граниты, установлены зоны сквартования, хлоритизации, амфиболизации, содержащие кварцевые прожилки (1–2 см) с вкрапленностью магнетита и молибденита (Ш–2–4). Одна из зон мощностью 5 м прослежена по простиранию на 700 м. Наиболее мощная зона имеет ширину выхода 50–60 м. Содержание молибдена в зонах по бороздовым и штучным пробам равно 0,001–0,05% и лишь в 22 пробах составляет 0,01–0,07%. Кроме молибдена, установлены олово (0,001–0,07%), медь (0,01–0,05%), свинец (0,01–0,05–0,1–3%), цинк (0,01–0,2%), серебро (0,001–0,005%) и в 4 пробах золото (0,01–0,1 г/т).

Кроме вышеисписанных рудоизвлечений, по р. Лапкалак (I–4–8), в истоках р. Тонум (П–3–10), по р. Моренной (П–3–1,2,3,5), по р. Тором (П–4–3) в деловии установлены порфироидные, мелкозернистые биотит–ротовоизмкогенные и биотитовые окварцованные граниты с вкрапленностью пирита, халькопирита, гнездами, реже тонкими прожилками молибденита. Содержание молибдена в штучных пробах колеблется от 0,005 до 0,05%, редко достигая 0,3% (I–4–8). В гидротермально–измененных эфузивах с вкрапленностью и линзовидными прожилками пирита и халькопирита по р. Тором установлено 0,002%, молибдена (П–4–4).

Шлиховые опробованием ореолы рассеяния молибденита площадью от 7 до 17 км<sup>2</sup> установлены в бассейне правых притоков р. Тонум (П–3–7), в истоках р. Тором (П–4–1), в верховых рек Ними и Лапкалак (I–4–1) и в верховье р. Лев. Лапкалак (I–4–4). Содержание молибденита в шлихах колеблется от 1 до 15 знаков.

#### Вольфрам

Шлиховые опробованием рассеяния шеелита площадью от 3 до 80 км<sup>2</sup> выявлены в верховье р. Лагап (I–2–16), по первому правому притоку р. Эльга (П–1–5), по рекам Галам–Макат (П–1–9), Верх. Тонум (П–3–12), в верховье р. Имератра (I–2–7), в истоках р. Ними (I–4–6) в бассейнах рек Лев. Лапкалак (I–4–2), Коврика и Коврика–Макат (П–4–4). Содержание шеелита в пределах ореолов колеблется от единичных зерен до 10–40 г/м<sup>3</sup>. Большинство ореолов шеелита строительно приурочены к эзос– и эндоконтактам биотитовых и роговообманковых гранитов и гранодiorитов.

## Ртуть

Шлиховым опробованием выявлены ореолы рассеяния киновари с содержанием до 10 знаков на  $0,01 \text{ м}^3$  аллювия в верховых р. Айлан (П-4-2), в бассейне р. Хетвага (ГУ-3-1) и в среднем течении р. Коврика-Макит (ГУ-4-2). Ореолы пространственно тяготеют к зонам крупных логообразных разломов, окаймляющих вулкано-тектоническую структуру.

## Висмут

Шлиховые ореолы базовисмутита установлены в верховье р. Тором (П-4-2,6) в бассейнах рр. Лев. Онган (Г-4-1), Муникан (П-4-1) и Тонум (П-3-9). В бассейнах рр. Большой и Нижний Тонум выявлен ореол рассеяния площадью  $72 \text{ км}^2$  (П-2-1). Содержание висмутита в базовисмутите изменяется от 1-3 до 20 зерен на  $0,01 \text{ м}^3$  промышленного аллювия.

## Благородные металлы

### Золото

Проявление по р. Тонум-Макит (П-3-11) расположено в зоне проблемных, обогащенных, окварцованных, хлоритизированных и эпидотизированных верхнегелевых тuffов среднего состава с неравномерной, участками густой, вкрапленностью и прожилками (1-2 мм) циркона и халькопирита. Простирание зоны северо-западное, мощность около 120 м. Спектральным анализом золото установлено в 15 штурмовых пробах в количестве от 0,01-0,05 до 0,2-0,5 г/т. По р. Лев. Муникан зона фрактированных, окваркованных и сульфидизированных липарито-дацитовых и гнейсовых прослоек прослежена на 300 м при мощности 50 м. Золото, по данным спектрального анализа штурмовых проб, содержит в количестве 0,01 г/т (П-3-7). На правобережье р. Тонум Макит в зоне окварцованных, лимонитизированных, сульфидизированных андезитов мощностью 40 м золото установлено в количестве  $0,03-0,7 \text{ г/т}$  (П-4-5). По левобережью р. Ишаратда в экструзивном куполе, сложенном интенсивно окварцованными липаритами и афогитами липаритов, в одной из склоновых проб содержание золота, по данным спектрального анализа, составляет  $2-5 \text{ г/т}$  (ГУ-2-1). Кроме того, золото в количестве 0,01-1 г/т установлено в штурмовых пробах из гидротермально-измененных залежей зирконов и гранитоидов в верховых рек Артик (ГУ-1-1), Лев. Джалак, Нами и в истоках р. Тором. Шлиховой ореол золота с содержанием металла от 1 до 6 зерен, выявлен на правобережье р. Нами (Г-3-2). Пространствен-

## Минеральные улочения

### Фосфориты

В бассейне правых притоков р. Ир поисковыми работами /38/ среди вулканогенно-кремнистых пород Улитданской свиты выявлены три фосфатоносных горизонта микрокварцитов, расположенных на различных стратиграфических уровнях. В пределах одного из горизонтов, прослеженного по простиранию на 8,2 км, вскрыт нефровый пласт фосфоритов мощностью 13-14 м и протяженностью 700 м. Два других фосфатоносных горизонта расположаются в 150 и 230 м северо-западнее от описанного и прослежены поисковыми маркирующими на расстояние соответственно 9 и 9,7 м при мощности 15 и 20 м (1-2-1,2,3,4,6,8,II). Руды вскрытого пласта представлены седиментационными фракциями, состоящими из утловатых обломков микрокварцитов, яшмы и первичных тонко зернистых до аморфных, иногда слоистых фосфоритов. Обломки фосфоритов размером от 1 до 5 см в поперечнике составляют 10-90% объема породы. Содержание фосфорного антидигита в пласте изменяется от 15,91 до 18,33%, средневзвешенное — 17,12%. Вероятные запасы фосфоритов по пласту до глубины 200 м оцениваются в 5,73 млн.т, а перспективные запасы по трем фосфатоносным горизонтам в 241 млн.т. Проявление требует дальнейшего изучения.

При средней и крупномасштабной геологической съемке установлено еще также 16 проявлений фосфоритов /32,39,42/. По правым притокам р. Эльга и в Межуречье Верх. Лагап-Ир-Макит, в пределах полосы выхода вулканогенно-кремнистых образований улитданской свиты в пельвильных сланцах обнаружены обломки и глины (до 1 м) седиментационных фосфатоносных фракций и фракций фосфоритов с содержанием пятютических фосфора в штурмовых пробах соответственно от 4,3 до 13,7% (1-18,21,25,26,27) и от 8,6 до 15,4% (1-2,19,20,23,24). На правобережье р. Эльга и на левобережье р. Ир среди улитданской свиты установлены урано-фосфатные проявления,

но ореол приурочен к нижнекемеловым осадочным отложениям, прорваным позднекемеловыми гранитоидами. Золото в количестве 1-5 зерен содержится в единичных шлихах из аллювия рек Митакан, Лагап, Эльга, Ишакан, Онган, Тором, Тонум и др.

## НЕМЕТАЛЛИЧЕСКИЕ ИСКОПАЕМЫЕ

приурочение к прослоям селенитационных брекций и линзам известняков (I-1-2,4; I-2-10,13,15). Содержание Р<sub>2</sub>O<sub>3</sub> в штучных пробах достигает 7%, урана - 0,004-0,006%. Шлихами опробованы выявлена зона повышенной фосфатоносности, распространительно совпадающая с выходами улитланской свинц. В пределах зоны опробования фосфорные минералы установлены в истоках р. Митакан (I-2-12), в бассейнах рек Ними (I-3-1, I-4-5), Ир-Макит (I-1-2), Верх. и Лев. Илкан (I-1-19) и на правобережье р. Эльта (I-1-1). Фосфорные минералы содержатся от единичных до 100 зерен на шлиховую пробу, в редких случаях до 56 г/м<sup>3</sup> промытой породы.

В бассейне р. Дагап (I-1-1,16) глины фосфатоносных селенитационных брекций с содержанием Р<sub>2</sub>O<sub>3</sub> до 9% встречены в ледовии среди никелевоносных сероцветных яшм.

#### СТРОИТЕЛЬНЫЕ МАТЕРИАЛЫ

Для получения щебня и бутового камня при строительстве дорог могут использоваться интрузивные и эфузивные породы, имеющие широкое распространение. Они могут добываться открытым способом и имеет практическое неограниченное запасы. В долинах рек имеются значительные запасы гальчики и гравия, пригодных, видимо, в качестве инертного материала в бетоне и для других технических целей.

Органогенные известняки нижнего камбрия, судя по химическим анализам их с соседней территории /41/, могут оказаться пригодными в качестве флюсов в металлургической промышленности. Известняки светло-серые, серые, обычно массивные, характеризуются высоким содержанием кальция (до 54%) и низким - матния и железа. В бассейне р. Ир они образуют гало размером 1x2 км; длина их может вестись открытым способом.

В качестве облицовочного материала и поделочных камней могут быть использованы оранжевые, черные, коричневые, фиолетовые и синие яшмы, встречающиеся в составе отложений нижнего камбрия и среднего палеозоя. Величина отдельных нетрещиноватых монолитных блоков 0,3-0,5 м и редко достигает 0,5-1 м. Наиболее красивую цветовую гамму имеют редко встречающиеся синие яшмы. Обычно они ассоциируют с марганцевыми рудами. По данным лаборатории ВСЕГЕИ, синий цвет их обусловлен присутствием марганцевого амфибола, представленного плаукофаном /41/. Часто в яшмах наблюдаются линзочки черного браунита. Южковые работы на поделочные камни не проводились. Из-за экономической несвоен-

ности района строительные материалы в настоящее время практического значения не имеют.

#### ПОДЗЕМНЫЕ ВОДЫ

Изучение гидрогеологических условий на территории листа произошло в процессе геологической съемки и поисков, поэтому данных о подземных водах сравнительно немного. Почти повсеместно развитая в районе многолетняя мерзлота и горный рельеф определяет специфические условия формирования, накопления, питания и циркуляции полезных вод. Мощность криолитозоны в районе составляет не менее 70 м /14/. В зависимости от геолого-структурных и литологических особенностей, гидродинамических и климатических условий на площади листа выделяются пластово-пороевые воды альпийских и эоловально-делювиальных отложений, трещинные и трещинно-жильные воды позднеплейстоценового вулкано-плутонического комплекса, преско-нижнемеловых и палеозойских образований. В свою очередь, в каждом водномном комплексе встречаются надмерзлотные, мерзлотные и подмерзлотные воды.

Пластово-пороевые воды аллювиальных отложений распространены в долинах наиболее крупных рек - Тому, Ними, Тором, Мункан, Селикан. Водоодержащие породы представлены гальчиками с песком и существенным заполнителем, степень сортированности которых весьма неравномерная. Наибольшая мощность аллювия (до 20 м) отмечена в долине р. Селикан; в долинах других рек она значительно меньше (5-10 м). В этих отложениях выделяются надмерзлотные, подмерзлотные воды и воды таликовых зон, гидравлически связанные между собой. Уровень аллювиальных вод в течение года изменяется в пределах 1,5-2 м. В летнее время, в период максимума, он находится почти на уровне с водой реки, а с октября начинается снижение и в марте - апреле достигает минимума. Водообильность аллювия летом достаточно большая и резко сокращается зимой за счет промерзания аллювиальных отложений русел и долин рек.

Пластово-пороевые воды эоловально-делювиальных отложений приурочены к ленточному слою. Водоупором для них служит верхняя граница многолетней мерзлоты и коренные породы, а водоизмещающие породы представлены щебнем с примесью супесей и суглинков мощностью до 3 м. Выход вод на поверхность приурочен к подножиям и перегибам склонов. Небольшие родники пластово-пороевых вод в уступах террас и у подножий склонов обычно имеют дебит 0,1-0,5 л/сек. Вода холодная бесцветная прозрачная, без запаха и

вкуса, очень мягкая (жесткость 0,1 мг·экв/л), ультрапресная (сухой остаток 12,8 мг/л), слабокислая ( $\text{pH}=5,6$ ). По химическому составу гидрокарбонатная натриево-кальциевая.

Трещинные и трещинно-кильные воды связаны с зонами региональной и локальной трещиноватости в позднемеловых образованиях Тылского вулкано-плутонического комплекса и юрско-нижнемеловых и палеозойских территорий и кремнисто-территорий отложений. В большинстве мест, исключая талиевые участки, породы этих отложений проморожены на значительные глубины, ниже которых вскрываются водоносные трещиноватые зоны с напорными водами. Для таких участков характерны безнапорные трещинные воды, залегающие до глубины 50–70 м. Встречены источники этих вод висходящие, по характеру сезонные, с значительным дебитом (0,01–0,5 л/сек). Вода бесцветная прозрачная, без запаха, очень мягкая (0,1 мг·экв/л), ультрапресная (остаток 9–15 мг/л), слабокислая, почти нейтральная ( $\text{pH}=6,6,5$ ). По химическому составу гидрокарбонатная, реже хлорит-гидрокарбонатная магниево-натриево-кальциевая и магниево-кальциевая.

Трещинно-кильные воды разрывных нарушений наблюдаются в зонах проявления различной мощности, к опередили трещинам которых приурочены низкородные источники по рекам Топум, Эльга и Другим, с дебитом не более 1 л/сек. Вода прозрачная бесцветная холодная, без запаха, мягкая, ультрапресная, слабокислая ( $\text{pH}=7,2$ ). По химическому составу гидрокарбонатная натриево-кальциевая.

Рассмотренные подземные воды имеют ограниченные ресурсы и не могут быть источником промышленного водоснабжения. Водоснабжение, особенно в зимнее время, могут быть решены путем проведения специальных гидрогеологических исследований. В летнее время для водоснабжения могут использоваться поверхностные воды рек, а также, возможно, подземные воды рыхлых отложений в долинах наиболее крупных рек, где возможность отбора большого количества воды обеспечивается сравнительно большой мощностью аллювия и его значительным площадным развитием.

## ОЦЕНКА ПЕРСПЕКТИВ РАЙОНА

На территории листа установлены проявления палеозойской и мезозойской металлогенических эпох.

Палеозойский геосинклинальный этап развития района характеризуется полидиакличностью, выраженной в формировании разновозрастных (нижний камбр, нижний и средний девон), но близких по

литологическому составу кремнисто-вулканогенно-карбонатных и кремнисто-территориальных формаций, с которыми связано железо, марганцевые руды и фосфориты. На вулканогенно-осадочный генетический тип руд указывает пластовая форма рудных тел их сложение строение, генетическая связь с вулканогенными и кремнистыми породами, в которых устанавливаются повышенные содержания железа, марганца и фосфора. В раннекембрийских отложениях наиболее протяжение (1,5 км) и мощные (до 46 м) пласти железных руд приурочены к участкам развития кремнистых и кремнисто-глинистых пород Ультранской свиты (бассейн р. Лагап), формировавшихся в относительно спокойной обстановке, на некотором удалении от очагов вулканизма. В литологических пестрот по составу иной полосе Ультранской свиты, характеризующейся неустойчивым режимом осадконакопления, рудные тела в большинстве случаев имеют небольшие параметры (группа Ир-Галамских проявлений) и практического интереса не представляют.

В среднедевонское время происходило формирование мощных терригенных толщ с отдельными пачками яшм и вулканитов, включавших крупные железорудные тела (Галамское месторождение). Относительно небольшое количество вулканитов в разрезе позволяет предполагать, что поступление основной массы железа связано, вероятно, не с экспозициями, а с газовыми экстазиями и гидротермами в пост-вулканический этап. Перспективы среднедевонских отложений на железо на территории листа, в связи с небольшой площадью их распространения, ограничиваются лишь Галамским месторождением, для окончательной оценки которого необходимо изучение второй рудной пачки и четырех рудных пластов, не выходящих на поверхность. Возможность обнаружения в ранне- и среднепалеозойских отложениях новых более значительных железорудных тел однозначно отрицательно, так как все имеющиеся крупные аэромагнитные аномалии проверены наземными работами.

Большая часть проявлений марганца приурочена к южной половине Ультранской свиты, расположаясь преимущественно среди кремнистых пород вблизи рифтовых известников. В среднедевонских отложениях отмечена лишь пленочная и прожилковая минерализация в кремнистых породах. Тела марганцевых руд, установленные на рассматриваемой и сопредельной к северо-востоку территории /39/, рассредоточены по площади и имеют небольшие размеры (мощность 2–5, реже 10 м, протяженность до первых сотен метров). Для них характерно сложное строение, невыдержанность мощности по простиранию.

Поэтому, несмотря на общую повышенную марганцевоносность раннепалеозойских отложений, перспективы обнаружения в них рудных тел с промышленными параметрами оцениваются отрицательно.

Фосфориты района тесно связаны с органогенными (рифовыми известняками и микрокварцитами (окремененными известняками), известниками и карбонатами осадочными брекчиями, содержащими различное количество обломков органогенных фосфоритов. Последние почти на-  
дело состоят из раковин простейших оракипод, накаливающихся, вероятно, в лагунах рифовых построек. Образование фосфатных брек-  
чий происходило при об разложении разрушении рифовых островов. Мень-  
шая часть фосфоритов образовалась хемогенным путем. Об этом сви-  
детельствуют встречающиеся в районе кремнистый тип фосфоритов и  
наличие в брекчиях кремнисто-фосфатного пемита. Широкое распро-  
странение в южной полосе ульгансской свиты органогенных извест-  
няков (левобережье р.Ир., верховье р.Ир.-Макит, р.Эльга и т.д.) и  
микрокварцитов (бассейн р.Ир.), наличие проявленных фосфоритов и  
крупных шлиховых ореолов фосфатных минералов (I-2-I2, I-1-I19,  
20) позволяют высокую оценку перспективы инженерных от-  
ложений на это сырье. Наибольший интерес для поисков предостав-  
ляют площади в междууречье Ир-Лагал, в бассейне р.Ир и на право-  
бережье р.Эльга, где в настоящее время выявлены и изучаются круп-  
ные пласти фосфоритов /ЗI, 4I/.

Все проявления молибденовой минерализации (I-4-7, 8, 9, 10, II;  
I-4-3, II) генетически связаны с Тогум-Онтанской интрузией гра-  
нитов, локализующаяся в краевых или апикальных частях ее, в зонах  
северо-восточных и меридиональных разрывов. Большая часть про-  
явлений виду низких и неравномерных содержаний металла в про-  
бах и недобогорийского типа оруденения (пегматитового, кварц-  
молибденитового) практического значения не имеет. На участке  
Лапкалаак оруденение относится к кварц-молибденитовому и кварц-  
молибденит-серпентиновому типам со средним, мелким, реже листерным  
молибденитом и имеет значительные параметры. Содержание метал-  
ла на поверхности непропильное (0,05%), но с глубиной увели-  
чивается, что позволяет наложить на обнаружение промышленных  
руд на более глубоких горизонтах. Учитывая широкое распростране-  
ние молибденовой минерализации, наличие мощных минерализованных  
зон с относительно большой глубиной оруденения (участок Лап-  
калаак) и возможность благоприятных типов оруденения (кварц-се-  
рпент-молибденитового, серпент-молибденитового), площадь выхо-

да интрузии в бассейнах рек Инарагда и Ними рекомендуется для постановки геологоподробных работ масштаба 1:50 000.

Проведение олова, мели, смыча и шника связана с роговооб-  
манковыми гранитами (Ш-3-1, 4, 5, 6, 9, II) и тяготят к их андо- и  
эксигенитам. Рудоисконтролирующими для этих проявлений являются  
разрывных нарушений, породы в которых раздроблены, окварци-  
рованы, хлоритизированы и амфиболизированы. При значительных пара-  
метрах минерализованных зон, содержания металлов в рудах на дан-  
ном уровне зернистого среза низкие, в связи с чем рудопровле-  
ниям не требуется отрицательная оценка. Вместе с тем, широкое проявле-  
ние рудной минерализации и большие площади развития гидроге-  
мально-измененных зонулов типа проиллов и вторичных кварци-  
тов позволяют считать верховьев рек Сэги и Мунikan пер-  
спективной на поиски олова и полиметаллов, а верховьев рек То-  
до-Уряк и Инарагда – на выявление медно-порфировых руд. Благо-  
приятным фактором является установление на проявлении олова  
(Ш-3-6) в верховьях р.Мунikan увеличение содержания металла с  
глубиной.

Таким образом, на основании анализа геологических структур,  
особенностей размещения и генезиса месторождений и рудопровле-  
ний, на территории листа могут быть выделены следующие рудно-  
ные площади (рис.4). Рудоносная площадь А-II в бассейне рек Ир-  
гата, Галам-Макит, Лагал и Тогум перспективна на железо и фосро-  
риты. На Галамском месторождении и проявлениях фосфоритов требу-  
ется постановка детальных поисковых работ с поверхностными гор-  
ными выработками, геофизической разведкой и сурением. Площади  
А-III, на которых в благоприятной геологической обстановке имеют-  
ся признаки рудной минерализации, выделены в верховьях рек Лап-  
калаак и Ними (на молибденовые руды), Сэги и Мунikan (на олово и  
полиметаллы), Тодо-Уряк и Инарагда (на медно-порфировые руды).  
Они рекомендуются для постановки поисково-исследовательских работ масшта-  
ба 1:50 000 с применением детального шлихового и геохимического  
исследования и поверхностных горных выработок. На недостаточно  
изученной площади А-IU рекомендуется проведение геологической  
съемки масштаба 1:50 000 второй очереди. Остальная часть терри-  
тории листа отнесена к площахи Б-I, геологическое строение ко-  
торой, по известным в настоящее время данным, недобогорийто для  
промышленной концентрации рудных элементов, и к уже обследован-  
ной, с недропыленным оруденением площахи Б-II.

## ЛИТЕРАТУРА

### ОПУБЛИКОВАННАЯ

Бельтев Е.Е., Лебедев Е.Л. Новые данные о возрасте вулканических образований Западного Приохотья. Докл. АН СССР, т.182, № 2, 1968.

Торхов С.И., Каравулов В.Б. К стратиграфии палеозойских отложений Тугурского полуострова и смежных районов Западного Приохотья. Сб. статей по геологии и гидрогеологии, вып. 7, 1969.

Кардюлов В.Б. Стратиграфия и тектоника среднего палеозоя Западного Приохотья. Автореферат дисс. на соиск. уч. степ. канд. геол.-минер. наук, 1969.

Кардюлов В.Б. Палеозойские структуры Западного Приохотья (Уссурийско-Шантарский и Тугурский районы). Геотектоника, № 1, 1970.

Лебедев Е.Л. Стратиграфия нижнемеловых отложений Тугурского прорыва (Западное Приохотье). – Советская геология, № 8, 1969.

Сперанская И.М. Вопросы геологического изучения и картирования рудноносных вулканических и вулкано-плутонических формаций. Рудоносность вулканических образований Северо-Востока СССР (Материалы кустового совещания в г. Магадане в апреле 1965 г.). Магадан, 1967.

Чемеков Ю.Ф. Основные этапы развития рельефа Приморья и Западного Приохотья. Материалы второго геоморфологического совещания, 1960.

Чемеков Ю.Ф. Четвертичные селенamenti Дальнего Востока. – Природа, № 7, 1959.

Чемеков Ю.Ф. Стратиграфия четвертичных отложений Нижнего Приамура, Западного Приохотья и Охотского моря. Информационный сборник № 38. Геология и полезные ископаемые Дальнего Востока и Забайкалья, 1960.

Чемеков Ю.Ф. Четвертичная система Хабаровского края и Амурской области. Материалы ВСЕГЕИ. Нов. серия. Материал для дополнительного опровержения с применением горных выработок; 10 – незначительные проявления

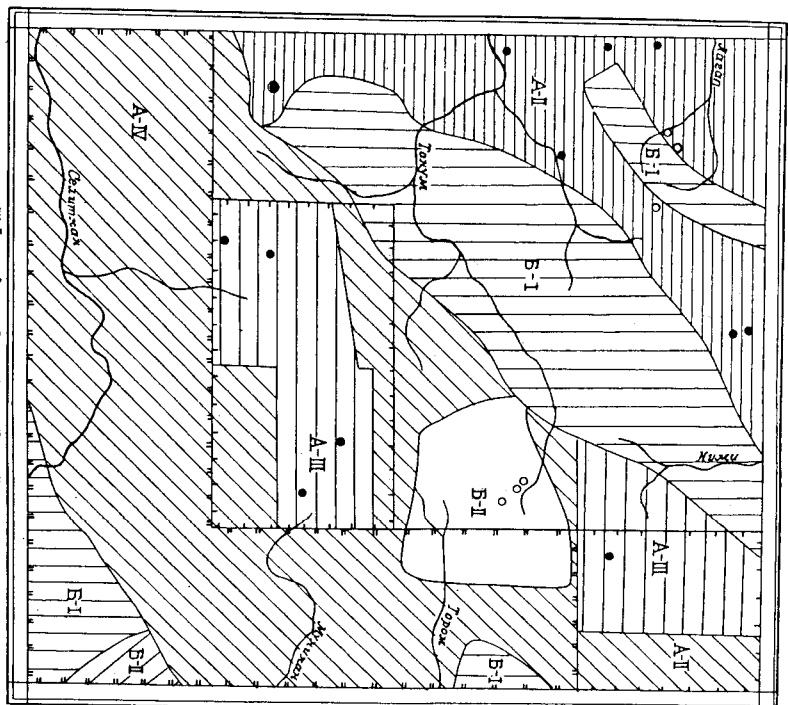


Рис. 4. Прогнозная карта. Масштаб 1:500 000

Площади, рекомендемые для постановки геологической съемки масштаба 1:500 000: 1 – первая очередь, 2 – вторая очередь.

Площади, рекомендемые для выявления месторождений полезных ископаемых: 3 – площади (А-II) выхода рудоносивших пород и благоприятных структур с прямыми рудоискательными признаками и выявленными руководствами; 4 – площади (А-III) выхода рудоносивших пород и благоприятных структур с широким развитием рудной минерализации. Площади (А-I) частично изучены для определения их промышленных перспектив: 5 – рекомендации для геологической съемки более крупного масштаба и дополнительного глинистого и геоморфологического опробования. Площади, не требующие постановки поисковых работ: 6 – площади (Б-I), геологическое строение которых, по известным в настоящее время данным, неблагоприятно для промышленной концентрации рудных элементов; 7 – площади (Б-II), уже обследованы, на которых руководствия изучены и получены отрицательные результаты. Прочие знаки: 8 – перспективные рудообразования, требующие дальнего изучения; 9 – недоказанные проявления, рекомендующие для дополнительного опровергания с применением горных выработок; 10 – незначительные проявления

по четвертичной геологии и геоморфологии СССР, вып.2, Госгеолтехиздат, 1959.

Фондохр/

Американцев А.Ф. Отчет о геологопоисковых работах на моряклен на водоразделах рр.Тонум-Тором и Толо-Ургарлага в 1950-1951 гг. (Листовая партия № 243), 1952, № 03757.

Аноткин В.И., Переэрзев Л.Р., Девятин М.И. Промежуточный отчет о геологосъемочных работах масштаба 1:200 000 Кумусунской партии, проведенных в бассейнах рек Кумусун, Селиктан, Ассини в 1969 г. 1970, № 013860.

Ботатков Н.М. Гидрогеология Токурского месторождения, 1961, № 8857.

Борнштейн А.И. Отчет о работах Амтунской партии за 1962-1963 гг. 1964, № 010740.

Гулляев Б.И. Отчет Прибрежной партии за 1966 г. 1967, № 012246.

Костанин С.Г. Отчет о результатах аэрогеофизических и поисковых работ на железные, марганцевые руды и фосфориты в Улко-Селемдинском месторождении в 1965 г. (Мильканский отряд, Ирская и Оннетокская партии), 1966, № 012024.

Горюхов С.И., Карапулов В.Е., Демьянин В.М. Теологическое строение и полезные ископаемые верховьев р.Тором и бассейна р.Мунikan, лист № 53-ХХ. Окончательный отчет партии № 1226 о геологической съемке масштаба 1:200 000, проведенной в 1967-1969 гг., 1970, № 014071.

Зайцев Д.С., Чухарев В.А., Стариков В.Г. Теологическое строение и полезные ископаемые бассейнов верхних течений рр.Тонум, Коржика, Мунikan. Промежуточный отчет Верхне-Тонумской партии за 1969 г., 1970, № 013886.

Зайцев Д.С., Чухарев В.А., Мамон - Тюв Ю.А., Шаров Л.А., Смирнов И.С. Геологическое строение и полезные ископаемые бассейнов верхних течений рр.Тонум, Нами, Тором, Селиктан и Мунikan. Окончательный от-

х/ Работы, для которых не указано место хранения, находятся в фондах Дальневосточного территориального геологического управления.

чет по геологосъемочным работам масштаба 1:200 000 за 1967-1970 гг. Верхне-Тонумская партия. 1971, № 014605.

Козюра В.Ф., Денисов Е.П., Молостов С.А. Геологическое строение бассейна среднего течения р.Селиктан, 1955, № 04621.

Красный Л.И., Чемеков Ю.Ф. Геология, геоморфология и полезные ископаемые бассейнов рр.Шевли, Галам и Герман, 1950, № 03555.

Майборода А.Ф., Пестов Ю.А. Геологическое строение и полезные ископаемые бассейнов рр.Мунikan, Ассини, Селиктан Тугур-Чумиканского района Нижне-Амурской области (Верхне-Торомская партия № 509), 1954, № 04365.

Мамонтов Ю.А. Геологическая карта СССР масштаба 1:200 000, лист № 53-ХХ. Объяснительная записка, 1965, № 011407.

Мамонтов Ю.А., Зайцев Д.С., Зинин В.Н., Великанов Ю.Ф. Геологическое строение и полезные ископаемые бассейна среднего течения р.Тонум. Промежуточный отчет Верхне-Тонумской партии за 1967 г. 1968, № 012741.

Мамонтов Ю.А., Зайцев Д.С., Зинин В.Н., Великанов Ю.Ф. Геологическое строение и полезные ископаемые бассейнов верхних течений рр.Тонум, Тором, Нами. Промежуточный отчет Верхне-Тонумской партии за 1968 г. 1969, № 01330. Пагачев А.А., Саломирский А.Я. Отчет о геолого-геохимических работах партии № 10 за 1966 г., 1967, № 012422.

Роганов Г.В., Григорьев В.Б., Белоуз Ю.И. Отчет Нельканской партии о результатах геологосъемочных и поисковых работ масштаба 1:50 000, проведенных в бассейнах рр.Нелькан, Эльтая, Амни и Каструнт. 1971, № 012422.

Седи И.И. Материалы по стратиграфии и литологии мезозойских отложений правобережья Тутурского залива. Отчет по работе 1960 г. 1961, № 09098.

Филиппов П.П. Отчет о результатах аэрогеофизических работ Хабаровской партии за 1968 г., 1969, № 013260.

Фомин Д.Ф., Кисляков С.Г., Чирешев А.И. и др. Геологическое строение и полезные ископаемые бассейнов рр.Токи, Йылак и Бугале. Отчет Токинской партии по работам за 1967-1968 гг. 1969, № 013424.

Ф о м и н Д.Ф., К и с л я к о в С.Т. и др. Промежуточный отчет Галамской партии о результатах геологосъемочных работ масштаба 1:50 000, проведенных в 1969 г. в бассейне верхнего течения р.Галам, 1970, № 013899.

Ч е р н я в с к и й В.И., К а р а у л о в В.В. Геологи, подземные воды и полезные ископаемые западного и северо-западного побережья Удской губы. Лист №-53-Х. (Отчет партии № 430 по результатам комплексных геологосъемочных работ масштаба 1:200 000 за 1960 г.), 1960, № 08960.

Ш а п о ч к а И.И. и др. Отчет о результатах аэромагнитных работ Амгунской партии за 1958-1960 гг., 1960, № 8666.

Ш к л я е в П.Д. Отчет о поисковых и поисково-разведочных работах на олово в бассейнах верхних течений рр.Кумустун, Селиктан, Отлонь, Ассыни и Муникан. Отчет по поискам и поисково-разведочным работам Селиктанской партии № 504 за 1953-1954 гг. 1955, № 04752.

Ш к о л ь н и к М.Л., К о с т а н ь я н С.Г., Р я с-к о в В.Я. Отчет о результатах аэрогеофизических и поисковых работ на железные, марганцевые руды и фосфориты в Удско-Селемдинском междуречье в 1965 г. (Мильканский отряд, Исканд и Оннектская партия), 1966, № 012192.

Ш к о л ь н и к М.Л., Б о р и с о в В.В., К р о т В.Е. Промежуточный отчет о результатах поисковых работ на фосфориты в бассейне рр.Уда и Селемда в 1966 г. (Верхне-Селиктанская партия), 1967, № 012561.

Ш к о л ь н и к М.Л., Б о р и с о в В.Н. и др. Промежуточный отчет о результатах поисковых работ на фосфориты и марганцевые руды по правобережью р.Уды, на с-ве Шантар и в Западном Приохотье в 1967 г. (Тайканская и Нимитская партии). 1968, № 012894.

Ш к о л ь н и к М.Л., С т е п а н о в О.А. Отчет по теме "Закономерности размещения и прогнозная оценка железных, марганцевых руд и фосфоритов Удско-Шантарского района (темы № 40 и 76, 1970, № 014086).  
Ш е р б о н а Ю.И. Геологическая карта СССР масштаба 1:200 000, лист №-53-Х. Объяснительная записка. 1966, № 012169.

Ш е р б о н а Ю.И., П о л и н ц е в Ю.М. и др. Геологическое строение и полезные ископаемые бассейна среднего течения рр.Ир и Ними .Отчет Ирской партии по работам 1967-1968гг., 1969, № 13381.

Ш е р б о н а Ю.И., П о л и н ц е в Ю.М. и др. Промежуточный отчет Лагапской партии о результатах геологосъемочных работ масштаба 1:50 000, проведенных в 1969 г. в междуречье Ир-Лагап, 1970, № 013864.  
Б р м о л ю к В.А. Отчет о геологосъемочных работах Торомской партии в 1949 г., 1950, № 02483.

Приложение 2

СИСТОМЫ ПРОДВИЖЕНИЯ ПОЛЕЗНЫХ ИСКОПАЕМЫХ, ПОКАЗАННЫХ  
НА ЛИСТЕ №-53-ХХI КАРТЫ ПОЛЕЗНЫХ ИСКОПАЕМЫХ  
МАСШТАБА 1:200 000

Приложение I

СИСТОМЫ ПРОДВИЖЕНИЯ ПОЛЕЗНЫХ ИСКОПАЕМЫХ,  
ПОКАЗАННЫХ НА ЛИСТЕ №-53-ХХI КАРТЫ ПОЛЕЗНЫХ ИСКОПАЕМЫХ  
МАСШТАБА 1:200 000

Индекс клетки на карте	№ на карте	Вид полезного иско- паемого и название (местонахождение проявления)	Ссылка на ли- тературу (номер по списку)	Примечание
1	2	3	4	5

Ч е р н ы е м е т а л л и

Железо

III-1 5 Таламское месторождение 37

I-1	4	Река р.Лагап	42	Глины гематит- магнетитовых руд
I-1	10	Река Верх.Лагап в 4,8 км выше устья	42	Пласт гематит- магнетитовых руд
I-1	14	Бассейн р.Верх.Ла- гап	42	Пласт гематит- магнетитовых руд и оруденение по- рода
I-1	15	Правобережье р.Верх. Иликан	42	Пласт гематит- магнетитовых руд (13 м)

Ч е р н ы е м е т а л л и

Железо

I-1	17	Истоки р.Верх.Лагап	42	Пласт гематит- магнетитовых руд (1,7 м)
I-1	23	Истоки р.Третьего	42	Пласт гематит- магнетитовых руд (15 м) протяжен- ность до 2 км
I-1	24	Руч.Лев.Иликан	42	Дельвильевые об- ломки гематито- вых руд

I	2	3	4	5
I-2	10	Верховье р.Лагап	42	Пласт гематит-магнитовых руд мощностью 1,5 м
I-1	9	Правобережье р.Верх.Лагап	20	Дельвиальные обломки с прожилково-вкрашенной и пленочной минерализацией марганца
I-1	II	Левобережье р.Верх.Лагап	20	Дельвиальные глыбы седиментационных срекций с прожилковой марганцевой минерализацией
I-1	12	Левобережье р.Верх.Лагап	20	Дельвиальные обломки яшм с марганцевой минерализацией
I-1	13	Левобережье р.Верх.Лагап	20	Дельвиальные овальныя яшмы с марганцевой минерализацией
I-2	5	Левобережье р.Ир	42	В дельвии глыбы яшм с марганцевой минерализацией
I-2	9	Истоки р.Митакан	42	Дельвиальные обломки редкозернистых руд
I-2	22	Река Ир-Макит	42	Шлиховой ореол
I-2	25	Бассейн р.Ир-Макит	42	Дельвиальные обломки марганцевых руд
II-1	3	Среднее течение р.Эльга	20	Пласт редкозернистых руд (2 м)
II-1	4	Река Тонум, в 1,5 км выше устья р.Эльга	20	В пласте яшм линзовидные прослои марганцевых руд

I	2	3	4	5
II-1	6	Левобережье р.Эльга	20	В седиментационных бректиях 4 прослоя марганцевых руд
II-2	14	Верховье р.Лагап	42	Два пласта гематит-магнитовых руд мощностью 0,8 и 1 м
II-2	17	Водораздел рр.Лагап и Ир-Макит	42	Пласт гематит-магнитовых руд мощностью 36,5 м
II-2	21	Левобережье р.Ир-Макит	42	Пласт железных руд мощностью 6 м
II-1	7	Правобережье р.Тонум	20	Альтерниальные обломки магнетитовых руд
		Марганец		
I-1	2	Река Лагап, 0,6 км выше устья р.Кра-килак	42	Дельвиальные обломки яшм с марганцевой минерализацией
I-1	3	Река Лагап, ниже устья р.Верх.Лагап	42	Дельвиальные обломки кремнисто-глинистых сланцев с марганцевой минерализацией
I-1	5	Река Лагап, ниже устья р.Верх.Лагап	20	Шлиховой ореол
I-1	6	Правобережье р.Верх.Лагап	20	Дельвиальные обломки яшм с марганцевой минерализацией
I-1	7	Правобережье р.Верх.Лагап	20	То же
I-1	8	Левобережье р.Верх.Лагап	20	"

1	2	3	4	5
II-	8	Река Талам-Макит, в 5 км выше устья	20	Цементиальные обломки кремнисто-глинистых сланцев с марганцовистой минерализацией
III-1	1	Водораздел рр.Талам-Макит и Иркнгда	20	В яшмах прослои и линзы марганцевых руд
III-1	2	Верховье р.Талам-Макит	20	В яшмах прослои и линзы марганцевой руды
III-1	3	Правый приток р.Иркнга, вблизи устья	20	В песчаниках пленочная минерализация марганца
III-1	4	Река Иркнга, вблизи устья	20	Делювиальные глыбы омарганцеванных яшм
<b>Ц в е т н ы е м е т а л л и</b>				
Медь				
III-3	3	Р.Лев.Мунikan	20	Зоны окварцованных, серicitизированных и пиритизированных андезитов их туфов
III-3	6	Верховье р.Мунikan	20	Зона гидротермально-измененных пород с кварцевыми, кварц-амфиболовыми и кварц-сульфидными прожилками
III-3	8	Верховье р.Мунikan	20	Зона катаклазированных окварцованных роговообманковых гранитов с сульфидами

1	2	3	4	5
		Свинец		
III-3	4	Верховье р.Тонум	12	Цементиальные обломки кварца с вкрапленностью галенита
III-3	1	Верховье р.Лев.Мунikan	20	Зона окварцованных, серicitизированных и пиритизированных пород
III-3	4	Верховье р.Лев.Мунikan	20	Зона окварцованных, серicitизированных и пиритизированных пород
III-3	5	Верховье р.Мунikan	20	Зона катаклизированных окварцованных роговообманковых гранитов с сульфидами
III-3	10	Верховье р.Мунikan	20	Шлиховой ореол галенита
III-3	11	Истоки р.Сети	20	Зона катаклазированных и дробленых пород
I-U-4	1	Истоки р.Коярикка-Макит	20	Зона фрекутированных и карсонатизированных андезитов
		Олово		
III-3	5	Верховье р.Мунikan	20	Зона катаклазированных окварцованных роговообманковых гранитов с сульфидами
III-3	6	Верховье р.Мунikan	20	Зона катаклазированных гранитов с касситеритом

1	2	3	4	5
1	2	3	4	5
III-3	9	Верховье р.Мункан	20	Зона катаклизирован- ных окварцованных гранитов с сульфи- дами
III-3	12	Река Левая Саги	20	Шлиховой ореол кас- ситерита
IV-4	3	Верховье р.Коркина- Макит	20	Шлиховой ореол кас- ситерита
Р е л к и е м е т а л л и				
Молибден				
I-4	3	Верховье р.Лев.Лап- кала	20	Шлиховой ореол мо- либденита
I-4	4	Верховье р.Лев.Лап- кала	20	В аллювиальных ка- таклизированных сульфидизированных гранитов с молибде- нитом
I-4	7	Верховье р.Лев.Лап- кала	20	Зоны гидротермаль- но-измененных гра- нитов с молибдени- том
I-4	8	Верховье р.Лев.Лап- кала	20	Дельвиальные облом- ки катаклизирован- ных окварцованных гранитов с пиритом, халькопиритом и мо- либденитом
I-4	9	Верховье р.Ними	20	Дельвиальные облом- ки катаклизирован- ных окварцованных гранитов с пиритом, халькопиритом и мо- либденитом
I-4	10	Верховье р.Ними	20	Дельвиальные облом- ки катаклизирован- ных окварцованных гранитов с пиритом, халькопиритом и мо- либденитом
II-3	1	Междуречье Ними и Лапкала	20	Шлиховой ореол мо- либденита
II-3	1	Река Моренная	20	Дельвиальные облом- ки катаклизирован- ных окварцованных и эпилогтизированных гранитов с молибде- нитом
II-3	2	Верховье р.Моренная	20	Зоны гидротермально- измененных гранитов с молибденитом
II-3	3	Верховье р.Моренная	20	Зоны гидротермально- измененных гранитов с молибденитом
II-3	5	Водораздел рр.Мо- ренная и Лев.Тором	20	Дельвиальные облом- ки катаклизирован- ных гранитов с сульфидами железа
II-3	6	Правый приток р.То- рум в верхнем тече- нии	20	Зона дробленых сульфидизированных гранитов с молиоб- денитом
II-3	7	Правый верхний при- ток р.Тонум	20	Шлиховой ореол мо- либденита
II-3	8	Правый верхний при- ток р.Тонум	20	Зона катаклизиро- ванных гранитов с молибденитом

I	II	III	IV	V
III-3	10	Истоки р.Тонум	20	Цементальные обломки катаклизированных окварцованных гранитов с молибденитом
III-4	1	Истоки р.Тором	20	Шлиховой ореол молибдита
III-4	3	Истоки р.Тором	20	Глины катаклизированных обожженных гранитов с вкрапленностью сульфидов и кварц-сульфидными прожилками
III-4	4	Правобережье р.Тором	20	Делювиальные обломки окварцованных аффузивов с пиритом и халькопиритом
III-2	3	Верховье р.Инагада	20	Окварцованные, серicitизированные, дигритализированные вулканогенные породы с кварц-молибдитовыми прожилками
III-2	4	Там же	12	То же
III-2	5	"	12	"
III-2	6	Верховье р.Инагада	12	Окварцованные, серicitизированные, дигритализированные вулканогенные породы с кварц-молибдитовыми прожилками
III-3	2	Верховье р.Лев.Мункан	20	Соны гидротермально-измененных город

I	2	3	4	5
		Больфрам		
I-2	7	Истоки р.Митакан	20	Шлиховой ореол шебелия
I-2	16	Истоки р.Лагап	20	To же
I-4	2	Река Лев.Лапкалах	20	"
I-4	6	Истоки р.Неми	20	"
II-1	5	Нижнее течение р.Эльга	20	"
II-1	9	Среднее течение р.Галам	20	"
II-3	12	Река Верх.Тонум	20	"
II-4	4	Всесейны рек Коврик- ка и Коврикка-Макит	20	"
		Ртуть		
III-4	2	Верховье р.Авиан	20	Шлиховой ореол киновари
IV-3	1	Река Хетвата	20	To же
IV-4	2	Река Коврикка-Макит	20	"
		Висмут		
I-4	1	Река Лев.Онгтан	20	Шлиховой ореол базовисмутита
I-3	9	Верховье р.Тонум	20	To же
I-4	2	Верховье р.Тором	20	"
I-4	6	Верховье р.Тонум- Макит	20	"
III-2	1	Реки Гол.Тонум и Низ.Тонум	20	"
III-4	1	р.Мунинан	20	"

I	2	3	4	5
<b>Благородные металлы</b>				
Золото				
I-3	2	Правобережье р.Нимы	Шлиховой ореол золота	I-4
II	21	Истоки р.Тонум-Макит	Зона обогащенных окварцовых туфов с пиритом и халькопиритом	I-1
III	20	Река Тонум-Макит	Типотермально-измененные породы	22
IV	7	Река Лев.Мунikan	Зона обрекчированых сульфицированных, окварцованных пород в агломератах	I-1
V	20	Верховье р.Артык	Измененные туфы кварцевых породированных, окварцово-термально измененные автобрекции липаритов	25
VI	20	Река Инарагла	Правобережье р.Ир	I-1
<b>Минеральные упоминания</b>				
I	1	Фосфориты	Там же	26
I-1	42	Бассейн р.Лаган	Пласт фосфатоносных седиментационных брекций	I-2
I-1	42	Бассейн р.Лаган	Глины фосфатоносных седиментационных брекций	I-1
I-1	42	Истоки р.Верх.Лагап	Левобережье р.Ир	I-2
I-1	19	Рассейны рек Верх.И	Правобережье р.Ир, ниже устья р.Миня	11
	20	Лев.Иликан	Шлиховой ореол минералов фосфорита	36

1	2	3	4	5
I-2	12	Истоки р.Митакан р.Миня	20	Шиховой ореол
I-2	13	Река Ир, ниже устья р.Миня	36	Фосфатоносные сел- ментационные брекчии
I-2	15	Река Ир, напротив устья р.Миня	36	Фосфатоносные седи- ментационные брекчии
I-2	18	Река Ир-Макит	42	Детриалиные обломки фосфатоносных седи- ментационных брекчий
I-2	19	Там же	42	Глины фосфатоносных седиментационных брекчий
I-2	20	"	42	Блуждающие глины фос- фатоносных седимен- тационных брекчий
I-2	23	"	42	Блуждающие обломки фосфоритов
I-2	24	"	42	Глины фосфатоносных седиментационных брекчий
I-3	1	Левобережье р.Нами	20	Шлиховой ореол
I-4	5	Правый верхний при- ток р.Нами	20	То же
II-1	1	Правобережье р.Эльга	20	Линза фосфатоносных известников среди диабазов
II-1	2	Там же	20	Простой фосфатонос- ных седиментацион- ных брекций среди диабазов
II-1	4	"	20	Сдано в печать 20/XI 1978 г.      Полисано к печати 23/V 1981г. формат 60x90/16      Печ.л. 6,75      Заказ 317 с тираж 198 экз.

В сюжете пронумеровано 105 стр.

Редактор Р.Н.Ларченко  
Технический редактор Е.М.Павлова  
Корректор Л.Е.Иванова

Производственное хозрасчетное предприятие  
ООО "Союзгеодон"

1